

UNIVERSITÄT BONN

Physikalisches Institut

Bounds on Leptoquark and Supersymmetric, R -parity violating Interactions from Meson Decays

von
Margarete Herz

We present constraints on products of two leptoquark (LQ) coupling constants. The bounds are obtained from meson decays, in particular leptonic π , K , D , D_s , B , B_s decays. Furthermore semileptonic meson decays and mixing in neutral meson systems are discussed. We use the Buchmüller-Rückl-Wyler-model for scalar and vector LQs. Bounds on R -parity violation can be extracted directly from the corresponding LQ bounds. Our results are listed in the Tables 6 (for LQs) and 7 (for SUSY particles) with english captions. The bounds of Davidson/Bailey/Campbell were updated. The SUSY-bounds of Dreiner/Polesello/Thormeier were reproduced.

Post address:
Nussallee 12
53115 Bonn
Germany



BONN-IB-2003-01
Bonn University
Januar 2002

**Schranken an die supersymmetrische
R-Paritätsverletzung aus Mesonenzerfällen durch
Leptoquark-Wechselwirkungen**

von
Margarete Herz

Diplomarbeit in Physik
angefertigt im
Physikalischen Institut

vorgelegt der
Mathematisch-Naturwissenschaftlichen Fakultät
der
Rheinischen Friedrich-Wilhelms-Universität
Bonn

im November 2002

Ich versichere, dass ich diese Arbeit selbständig verfasst und keine anderen als die angegebenen Quellen und Hilfsmittel benutzt sowie die Zitate kenntlich gemacht habe.

Referent: Prof. Dr. Herbert K. Dreiner
Korreferent: Prof. Dr. Hans-Peter Nilles

Dank

Zunächst möchte ich Prof. Herbert K. Dreiner für die vielfältige Unterstützung und Hilfe während meiner Diplomarbeit danken. Prof. Hans-Peter Nilles hat sich als Korreferent zur Verfügung gestellt. Desweiteren danke ich den Mitgliedern meiner Gruppe (insbesondere Ulrich Langenfeld, Christoph Luhn, Marc Thormeier, Akin Wingerter) für ihre Unterstützung. Meinen Eltern danke ich, dass sie mir das Studium ermöglicht haben. Nicht zuletzt danke ich Jörg Neuhaus für Rücksichtnahme, Unterstützung und Hilfe in meiner Diplomarbeitszeit.

Inhaltsverzeichnis

Überblick	1
1 Einleitung	2
1.1 Die Supersymmetrie	4
1.1.1 Das Superpotential	5
1.1.2 Der Protonenzerfall	6
1.1.3 Die R -Parität	7
1.2 Leptoquarks	8
1.2.1 Leptoquarkmodelle	9
1.2.2 Suche nach Leptoquarks	9
2 Leptonische Mesonenzerfälle	10
2.1 Die LQ-Lagrangefunktion	10
2.2 Konventionen und Näherungen	13
2.3 Nebenrechnungen	14
2.3.1 Die Fierz-Transformation	14
2.3.2 Berechnung der Quarkströme	15
2.3.3 Die Zerfallsrate Γ	16
2.4 Berechnung der Zerfallsrate $\Gamma(M \rightarrow \ell^i \bar{\ell}^m)$	17
3 Das Pion	20
3.1 Das Verhältnis R	20
3.2 LQ-Wechselwirkungen	21
3.2.1 $\pi^+ \rightarrow \bar{e}\nu_e$ und $\pi^+ \rightarrow \bar{\mu}\nu_\mu$	21
3.2.2 $\pi^+ \rightarrow \bar{\mu}\nu_e$	23
3.3 Squark- und Slepton- Wechselwirkungen	25
4 Der K-Mesonenzerfall	27
4.1 Zerfälle geladener Kaonen	27
4.1.1 Leptonische Zerfälle	27
4.1.2 Semileptonische Zerfälle	29
4.2 Zerfälle neutraler Kaonen	34

5	Der D-Mesonenzerfall	36
5.1	Zerfälle geladener D -Mesonen	36
5.2	semileptonische D^+ -Zerfälle	39
5.3	Zerfälle neutraler D -Mesonen	40
6	Der B-Mesonenzerfall	41
6.1	Zerfälle geladener B -Mesonen	41
6.1.1	Leptonische B^+ -Zerfälle	41
6.1.2	Semileptonische B^+ -Zerfälle	42
6.2	Zerfälle neutraler B -Mesonen	46
7	$K^0 - \bar{K}^0$-, $D^0 - \bar{D}^0$- und $B^0 - \bar{B}^0$- Mischzustände	48
7.1	LQ- $(V \pm A)$ -Wechselwirkungen	49
7.2	LQ- $(S \pm P)$ -Wechselwirkungen	50
8	Diskussion	51
8.1	Schranken aus R -Werten	51
8.2	Schranken aus semileptonischen Zerfällen	51
8.3	Schranken aus Zerfällen schwerer Mesonen	52
8.4	Sonstige Mesonenzerfälle	52
8.5	Alternative Methoden	52
	Tabellen	56
	Literaturverzeichnis	69

Abbildungsverzeichnis

1.1	Protonenzerfall über R -Paritätsverletzung	6
1.2	Leptoquark- und Squark-Wechselwirkung	8
3.1	Squark- und Slepton-Wechselwirkung im Pionenzerfall	25
4.1	s -Quarkzerfall via LQ-Austausch	29
4.2	Semileptonischer K-Zerfall im Modell der Mesonendominanz	33
7.1	$K^0 - \bar{K}^0$ -Mischung im SM	48
8.1	τ -Zerfall über Squark- oder Slepton-Austausch	53

Tabellenverzeichnis

1.1	Superfelder im MSSM	5
2.1	Eigenschaften der Leptoquarks	12
1	Liste der verwendeten Symbole	56
2	Werte der verwendeten Größen	57
3	Zusammenfassung der verwendeten Matrizen	58
4	4-Fermionen-Vertizes für vektorielle Leptoquarks	59
5	4-Fermionen-Vertizes für skalare Leptoquarks	60
6	Schranken an Kopplungskonstantenprodukte für vektorielle LQs	61
7	Schranken an SUSY-Kopplungskonstantenprodukte	66

Überblick

Das Ziel dieser Arbeit ist eine Übersicht über die wichtigsten R -paritätsverletzenden Prozesse in Mesonenzerfällen. Dies geschieht in einem allgemeineren Rahmen: Es werden Mesonenzerfälle durch die sog. Leptoquarks¹ (LQ) betrachtet und Schranken an LQ-Kopplungskonstantenprodukte in der Form

$$\lambda_{LQ}\lambda_{LQ}^* < \text{Zahl} \left(\frac{m_{LQ}}{100\text{GeV}} \right)^2 ,$$

berechnet. Aus diesen Schranken können dann direkt die entsprechenden Schranken an SUSY (**S**Uper**S**Ymmetrie)-Kopplungskonstantenprodukte extrahiert werden.

Kapitel 1 führt in die Themenstellung ein. Ausgehend von der in Kapitel 2 berechneten leptonischen Mesonenzerfallsrate Γ_M werden sowohl Zerfälle durch LQs, als auch Zerfälle durch SUSY-Teilchen, betrachtet. Soweit möglich werden auch semileptonische Zerfälle miteinbezogen, die dazu notwendigen Formeln befinden sich in den jeweiligen Kapiteln.

Ausgangspunkt meiner Überlegungen ist die LQ-Lagrangefunktion (Buchmüller-Rückl-Wyler-Modell), Kapitel 2.1 . In Kapitel 2.2 und 2.3 werden die verwendeten Konventionen sowie benutzte Näherungen und Nebenrechnungen kurz zusammengefasst. Für Zerfälle der Art $M \rightarrow \ell^i \bar{\ell}^m$ (M ist ein Meson, die ℓ^i sind Leptonen) wird in Kapitel 2.4 die Zerfallsrate Γ_M für nicht verschwindende LQ-Kopplungen berechnet. In den Kapiteln 3, 4, 5 und 6 werden π -, K -, D - und B -Meson im Hinblick auf mögliche LQ-Wechselwirkungen untersucht. Ergänzend dazu wird in Kapitel 7 auf die Systeme der neutralen Mesonen $K^0 - \bar{K}^0$, $D^0 - \bar{D}^0$ und $B^0 - \bar{B}^0$ eingegangen. In den jeweiligen Kapiteln werden neben Schranken an LQ-Kopplungskonstantenprodukte auch die Schranken an die entsprechenden SUSY-Kopplungskonstantenprodukte aufgeführt. Abschließend werden die berechneten Schranken nochmals auf ihre Aussagekraft hin überprüft (Kapitel 8).

Im Anhang befinden sich Tabellen mit den verwendeten Bezeichnungen (Tabelle 1), benutzten Werten (Tabelle 2), in die Berechnungen eingehenden Pauli-,Dirac- und γ -Matrizen (Tabelle 3), sämtlichen LQ-4-Fermionenvertizes (Tabelle 4 und 5) sowie eine Zusammenfassung der berechneten Kopplungskonstantenprodukte (Tabelle 6 und 7).

¹Da LQs bisher noch nicht an Hochenergiebeschleunigern über Kollisionen nachgewiesen worden sind, wird damit der Möglichkeit nachgegangen, zumindest aus indirekten Quellen (wie Mesonenzerfälle, Leptonenzerfälle u. A.) Bedingungen an ihre Existenz zu stellen.

Kapitel 1

Einleitung

Im Standardmodell (kurz SM) der Teilchenphysik können fast alle bisherigen experimentellen Resultate [4] (Ausnahmen: siehe Seite 3) mit sehr hoher Genauigkeit theoretisch berechnet werden. Dies gewährleisten die Quantenchromodynamik (QCD), die Quantenelektrodynamik (QED) und die Theorie der schwachen Wechselwirkung, die Bestandteile des SM sind. Die Schwächste der vier fundamentalen Wechselwirkungen, die Gravitation, wird durch die allgemeine Relativitätstheorie beschrieben. Trotzdem bleiben einige theoretische Fragen und Probleme unbeantwortet bzw. ungelöst; z.B.:

- Warum gibt es drei Generationen von Fermionen?
- Wie kann man sich die experimentell bestimmten Massen der Elementarteilchen erklären? Im SM sind dies freie Parameter.
- Das SM selbst beinhaltet keine Quantenfeldtheorie für die Gravitation. Bei heute in Beschleunigern erreichbaren Energien sind die durch die Gravitation verursachten Effekte aufgrund ihrer relativen Schwäche im Vergleich mit den drei anderen fundamentalen Wechselwirkungen komplett vernachlässigbar. Trotzdem bleibt die Frage nach einer Quantentheorie der Gravitation ein interessantes Problem.
- **Das Hierarchieproblem:** Die im Experiment messbare Higgsmasse setzt sich aus der „reinen“ Higgsmasse und einem δM_H^2 -Term zusammen, der aus Schleifenkorrekturen resultiert:

$$M_H^2 = M_{Hbare}^2 + \delta M_{Hf}^2 . \quad (1.1)$$

Die Ein-Schleifen-Korrekturen der (Higgsmasse)² zeigen eine quadratische Abhängigkeit vom Cut-off Λ ¹:

$$\delta M_{Hf}^2 = \frac{|g_f|^2}{16\pi^2} [-2\Lambda^2 + 6m_f^2 \ln(\Lambda/m_f)] . \quad (1.2)$$

¹Aus [9], für eine detailliertere Beschreibung siehe [23]. Hier wurde nur die Korrektur für Fermionenschleifen (Index f) betrachtet, m_f ist die Fermionenmasse.

Dabei wurden beim Übergang $\Lambda \rightarrow \infty$ endlich bleibende Terme vernachlässigt. g_f ist die Kopplung des Fermions an das Higgsfeld.

Diese Abhängigkeit stellt noch kein Problem dar, da die Theorie renormierbar ist. Man nimmt allerdings an, dass das SM nur eine bei niedrigerer Energie als der GUT²- oder Planck-Skala effektive Theorie ist. Ab dieser Skala werden neue physikalische Effekte erwartet, der Cut-off sollte also in diesem Bereich liegen. Dadurch erwartet man (aufgrund des Cut-offs), dass die Higgsmasse bei $10^{14} - 10^{17} \text{ GeV}$ liegt. Dies ist jedoch weit entfernt von einer oberen Grenze der Higgsmasse bei 196 GeV, wie sie sich aus elektroschwachen Strahlungskorrekturen ergibt [40]³. Dadurch muss, um eine dem SM entsprechende Higgsmasse unter 196 GeV zu erhalten, eine enorme Feinabstimmung zwischen M_{Hbare}^2 und δM_{Hf}^2 existieren, was eine entsprechende Feinabstimmung der Parameter in der Lagrange-funktion bedeutet. Dies entzieht sich jedoch dem theoretischen Verständnis.

Eine Ausnahme zur theoretischen Vorhersagekraft des Standardmodells stellen die Experimente zu solaren und atmosphärischen Neutrinooszillationen dar⁴. Insbesondere die Resultate der SNO-Kollaboration [21] können innerhalb des Standardmodells nicht erklärt werden. Es bedarf damit auch aus experimenteller Sicht der Suche nach einer umfassenderen theoretischen Beschreibung, die das SM als Spezialfall beinhaltet.

Als eine mögliche Erweiterung des SM hat die Supersymmetrie (SUSY), die bisher noch nicht experimentell bestätigt wurde, einige interessante Vorteile:

- Nach dem Coleman-Mandula-Theorem [2] ist eine Erweiterung der Poincaré-Gruppe durch neue bosonische Generatoren verboten, da diese zu einer trivialen S-Matrix führen. Die Gruppe kann allerdings durch Generatoren, die sich wie Fermionen transformieren, erweitert werden. Wie in [3] gezeigt wurde, ist die Supersymmetrie die einzige mögliche derartige Erweiterung der Poincaré-Gruppe, die nicht zu einer trivialen S-Matrix führt.
- Die SUSY kann das Hierarchieproblem lösen: Man erhält eine weitere Ein-Schleifen-Korrektur zum Quadrat der Higgsmasse durch ein neues skalares Feld (S), das mit dem Higgsboson wechselwirkt [9] :

$$\delta M_{HS}^2 = \frac{\lambda_S}{16\pi^2} (\Lambda^2 - 2M_S^2 \ln(\Lambda/M_S)). \quad (1.3)$$

Es wurden wieder alle endlichen Terme im Grenzübergang $\Lambda \rightarrow \infty$ vernachlässigt. λ_S ist die Kopplung des skalaren Feldes an das Higgsfeld ($\mathcal{L} = -\lambda_S |H|^2 |S|^2$, siehe [23]), M_S ist die Masse des skalaren Feldes.

Dieser Bosonenschleifen- und der Fermionenschleifenbeitrag löschen sich gegenseitig aus, falls $\lambda_S = |g_f|^2$ (in der SUSY hat man für jedes Dirac-Fermion zwei komplexe skalare Felder, sodass Gl. (1.3) mit zwei zu multiplizieren ist). Dies gilt, solange die SUSY ungebrochen ist.

²Grand Unified Theorie.

³Eine kurze Übersicht der Resultate der LEP-Kollaboration befindet sich auf deren Webseite [40].

⁴Für einen Überblick: siehe [21].

Auch wenn bislang keine experimentellen Resultate eindeutig darauf hindeuten, dass die Supersymmetrie in der Natur realisiert ist, lohnen sich daher weitere Studien in dieser Richtung. Zunächst sollen die Grundzüge der Supersymmetrie kurz erläutert werden.

1.1 Die Supersymmetrie

Die Supersymmetrie (SUSY) ordnet jedem Standardmodellteilchen einen supersymmetrischen Partner zu, dessen Spin ganzzahlig (halbzahlig) ist, wenn der Spin des Standardmodellteilchens halbzahlig (ganzzahlig) ist.

Eine SUSY-Transformation Q (Q ist ein fermionischer Operator) macht aus einem fermionischen Zustand einen bosonischen und umgekehrt:

$$Q|\text{Boson}\rangle = |\text{Fermion}\rangle; \quad \bar{Q}|\text{Fermion}\rangle = |\text{Boson}\rangle. \quad (1.4)$$

Die SUSY-Algebra ist [32]:

$$[Q_\alpha, P_\mu] = [\bar{Q}_{\dot{\alpha}}, P_\mu] = 0, \quad (1.5a)$$

$$\{Q_\alpha, Q_\beta\} = \{\bar{Q}_{\dot{\alpha}}, \bar{Q}_{\dot{\beta}}\} = 0, \quad (1.5b)$$

$$\{Q_\alpha, \bar{Q}_{\dot{\beta}}\} = 2\sigma^\mu_{\alpha\dot{\beta}} P_\mu. \quad (1.5c)$$

Die Generatoren Q und \bar{Q} sind zwei-komponentige links- bzw. rechtshändige Weyl-Spinoren und $\sigma_\mu = (\mathbf{1}, \sigma_i)$ (σ_i sind die Pauli-Spinmatrizen). Der Index α bzw. β ($\dot{\alpha}$ bzw. $\dot{\beta}$) gibt die Komponente des linkshändigen (rechtshändigen) Spinors an.

Da der $(Masse)^2$ -Operator ($P_\mu P^\mu$ -Operator) mit Q und \bar{Q} kommutiert, haben ein Standardmodellteilchen und sein SUSY-Partner dieselbe Masse. Aus Experimenten ist klar, dass dies nicht der Fall ist (SUSY-Teilchen wurden bisher noch nicht entdeckt). Daher muss die SUSY eine gebrochene Symmetrie sein, falls sie in der Natur realisiert ist.

Damit die SUSY trotzdem das Hierarchieproblem löst, muss man fordern, dass in der supersymmetrischen Lagrange-funktion nur „softe“ SUSY-brechende Terme auftreten [23]. Die Lagrange-funktion des MSSM ist:

$$\mathcal{L} = \mathcal{L}_{\text{SUSY}} + \mathcal{L}_{\text{soft}}. \quad (1.6)$$

Der Term $\mathcal{L}_{\text{SUSY}}$ verletzt die SUSY nicht. Der Term $\mathcal{L}_{\text{soft}}$ ist im allgemeinen Fall [23] :

$$\mathcal{L}_{\text{soft}} = -\frac{1}{2}(M_\lambda \lambda^a \lambda^a + c.c.) - (m^2)_j^i \phi_j^* \phi_i - \left(\frac{1}{2} b^{ij} \phi_i \phi_j + \frac{1}{6} a^{ijk} \phi_i \phi_j \phi_k + c.c.\right) + h.c. . \quad (1.7)$$

Die λ^a sind Gauginofelder, die ϕ_i sind skalare Felder. M_λ sind Gauginomassen. Diese Lagrange-funktion verletzt die SUSY, ist jedoch in allen Ordnungen frei von quadratischen Divergenzen [33].

In der SUSY hat man ein renormierbares und unter $SU(3)_C \times SU(2)_L \times U(1)_Y$ eichinvariantes Superpotential, aus dem man neue Wechselwirkungen ableiten kann, die über die Möglichkeiten im SM hinausgehen. Im Folgenden soll zunächst das Superpotential dargestellt werden (Kapitel 1.1.1), um dann die Einführung der **R-Parität**, R_P , einer neuen Symmetrie, im Hinblick auf die dadurch im Superpotential verbotenen Terme zu rechtfertigen (Kapitel 1.1.3).

1.1.1 Das Superpotential

Superfelder Feld	Typ	Bosonische Felder	Fermionische Felder	$SU(3)_C$	$SU(2)_L$	Y
Eich-Multiplette						
G^a	Vector	Gluonen	Glunos	Oktett	Singlett	0
W^a	Vector	W	Winos	Singlett	Triplet	0
B^a	Vector	B	Bino	Singlett	Singlett	0
Materie Multiplette						
L_i	linkshändig	$(\tilde{\nu}_L, \tilde{l}_L^-)$	(ν_L, ℓ_L)	Singlett	Doublett	$-1/2$
E_i	rechtshändig	\tilde{l}_R^-	ℓ_R	Singlett	Singlett	-1
Q_i	linkshändig	$(\tilde{u}_L, \tilde{d}_L^-)$	(u_L, d_L)	Triplet	Doublett	$1/6$
U_i	rechtshändig	\tilde{u}_R	u_R	Triplet	Singlett	$2/3$
D_i	rechtshändig	\tilde{d}_R^-	d_R	Triplet	Singlett	$-1/3$
Higgs Multiplette						
H_1	linkshändig	(H_1^1, H_1^2)	$(\tilde{H}_1^0, \tilde{H}_1^-)_L$	Singlett	Doublett	$-1/2$
H_2	linkshändig	(H_2^1, H_2^2)	$(\tilde{H}_2^+, \tilde{H}_2^0)_L$	Singlett	Doublett	$1/2$

Tabelle 1.1: Superfelder im MSSM [9]

Im MSSM (Minimal Supersymmetric Standard Model) ist die R -Parität R_P (Definition: siehe Kapitel 1.1.3) erhalten. Das allgemeinste, renormierbare und unter $SU(3) \times SU(2) \times U(1)$ eichinvariante Superpotential ist [30] :

$$\mathcal{W} = \mathcal{W}_{MSSM} + \mathcal{W}_{R_p} , \quad (1.8)$$

wobei⁵

$$\mathcal{W}_{MSSM} = h_{ij}^E \varepsilon_{ab} L_i^a H_1^b \bar{E}_j + h_{ij}^D \varepsilon_{ab} \delta^{c_1 c_2} Q_{ic_1}^a H_1^b \bar{D}_{jc_2} + h_{ij}^U \varepsilon_{ab} \delta^{c_1 c_2} Q_{ic_1}^a H_2^b \bar{U}_{jc_2} + \mu \varepsilon_{ab} H_1^a H_2^b \quad (1.9)$$

und

$$\mathcal{W}_{R_p} = \frac{1}{2} \lambda_{ijk} \varepsilon^{ab} L_a^i L_b^j \bar{E}^k + \lambda'_{ijk} \varepsilon^{ab} \delta^{c_1 c_2} L_a^i Q_{bc_1}^j \bar{D}_{c_2}^k + \frac{1}{2} \lambda''_{ijk} \varepsilon^{c_1 c_2 c_3} \bar{U}_{c_1}^i \bar{D}_{c_2}^j \bar{D}_{c_3}^k + \kappa_i \varepsilon^{ab} L_a^i H_b^2 . \quad (1.10)$$

Es wurden folgende Konventionen verwendet:

- c_1, c_2 und c_3 sind $SU(3)_c$ Indizes.
- i, j, k sind Generationenindizes.
- a, b sind $SU(2)_L$ -Indizes.
- μ und κ_i sind Massenparameter.

⁵Die benutzten Superfelder sind in Tabelle 1.1 aufgeführt, zu den Konventionen siehe nächste Seite.

- \bar{E} , \bar{D} und \bar{U} sind die hermitesch konjugierten Felder zu E , D , U .
- δ ist das Kronecker-Symbol und $\epsilon^{xy\cdots}$ ein total antisymmetrischer Tensor, der die Werte $+1$, 0 , -1 annehmen kann.
- λ , λ' , λ'' und h_{ij}^E , h_{ij}^D , h_{ij}^U , sind Yukawa-Kopplungen.

1.1.2 Der Protonenzerfall

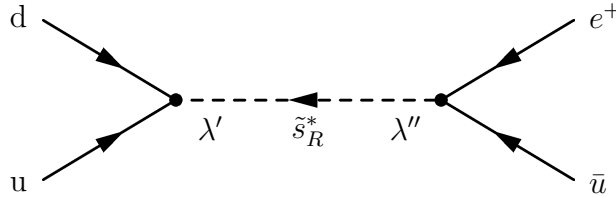


Abbildung 1.1: Protonenzerfall $p \rightarrow \pi_0 e^+$ über R -Paritätsverletzung

Über den zweiten und dritten Term in $\mathcal{W}_{\mathcal{R}P}$ (Gl. 1.10) wird der in Abb. (1.1) dargestellte Protonenzerfall möglich. Experimentell liegt die untere Grenze für die Lebensdauer des Protons bei [4]

$$\tau(p \rightarrow \pi_0 e^+) > 1,6 \cdot 10^{33} y. \quad (1.11)$$

Daraus kann man eine Schranke für das Produkt $\lambda'_{11k} \lambda''_{11k}$ ableiten⁶:

$$|\lambda'_{11k} \lambda''_{11k}| \lesssim 10^{-28} \left(\frac{M_{\tilde{d}_{kR}}}{100 \text{ GeV}} \right)^2. \quad (1.12)$$

Dies ist eine sehr starke Einschränkung. Eine natürliche Erklärung ist daher, dass mindestens eine der Kopplungskonstanten verschwindet. Dies kann durch die Einführung einer neuen Symmetrie, der R -**Parität**, gewährleistet werden.

Es gibt allerdings auch andere Lösungen, die den Protonenzerfall verbieten [25]:

- Die Forderung der Erhaltung der Materie-Parität:

$$(Q_i, \bar{U}_i, \bar{D}_i, L_i, \bar{E}_i) \rightarrow -(Q_i, \bar{U}_i, \bar{D}_i, L_i, \bar{E}_i), \quad (H_1, H_2) \rightarrow (H_1, H_2). \quad (1.13)$$

Die $\mathcal{W}_{\mathcal{R}P}$ -Terme im Superpotential werden dadurch verboten, die MSSM-Terme bleiben erlaubt. Die Materie-Parität ist der R -Parität äquivalent.

- Erhaltung der Baryon-Parität $B_P = (-1)^{B+2S}$: $\lambda''_{ijk} = 0$.
- Erhaltung der Lepton-Parität $L_P = (-1)^{L+2S}$: $\lambda'_{ijk} = 0$ und $\lambda_{ijk} = 0$.

Durch die letzten beiden Möglichkeiten wird zwar der Protonenzerfall verboten, eine Verletzung der R -Parität ist jedoch erlaubt.

⁶Für eine ausführlichere Behandlung des Protonenzerfalls verweise ich auf [25] und [34].

1.1.3 Die R -Parität

Die R -Parität ist eine diskrete, multiplikative Symmetrie und definiert als

$$R_P = (-1)^{3B+L+2S}, \quad (1.14)$$

wobei L die Leptonenzahl, B die Baryonenzahl und S der Teilchenspin ist. R_P ist $+1$ für Standardmodellteilchen und -1 für ihre supersymmetrischen Partner.

Durch die Forderung der R -Paritätserhaltung wird Folgendes gewährleistet:

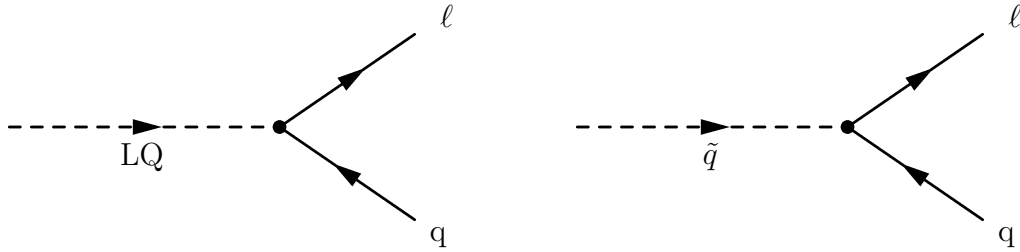
- Der über $p \rightarrow \pi_0 e^+$ mögliche R -paritätsverletzende Protonenzerfall (siehe Kapitel 1.1.2) wird verboten.
- Supersymmetrische Teilchen können nur paarweise produziert werden. Dies ist eine Folge davon, dass der Anfangszustand jedes Beschleunigerexperimentes eine gerade R -Parität hat.
- Das LSP (**L**ightest **S**upersymmetric **P**article) ist stabil. Aus kosmologischen Gründen [22] ist das LSP ein neutrales Farb-Singlett (das Neutralino $\tilde{\chi}^0$), das nur schwach wechselwirkt. Bei Teilchenkollisionen oder durch kaskadenartigen Zerfall instabiler supersymmetrischer Teilchen erzeugte Neutralinos entkommen daher unbeobachtet aus dem Detektor. Fehlende Energie und Impuls in Beschleunigerexperimenten ist somit ein möglicher Hinweis auf das LSP. Zudem ist das LSP damit ein Kandidat für die dunkle Materie.

Ohne die R -paritätsverletzenden Terme in der Lagrangefunktion erhält man das MSSM. Die Betrachtung R -Paritätsverletzender Terme gründet sich in dem Versuch, einige zurzeit ungelöste Probleme zu bearbeiten. Dazu gehören u. A. der Ursprung der Neutrinomassen und die kosmische Baryonenzahlverletzung. Dabei wird versucht, die theoretischen Werte der Kopplungskonstanten möglichst genau vorherzusagen ⁷.

Im Weiteren sollen die R -paritätsverletzenden Beiträge zu Mesonenzerfällen innerhalb eines allgemeineren Rahmens untersucht werden. Wir führen daher eine neue Klasse von Teilchen ein, die in einigen Erweiterungen des Standardmodells, so auch der SUSY, auftreten kann: **Die Leptoquarks** (LQs, siehe Kapitel 1.2 und 2.1).

Der zu Mesonenzerfällen beitragende LQD-Term (siehe Gl. 1.10) im R -paritätsverletzenden Superpotential ist von der gleichen Form, wie der entsprechende LQ-Term (dies wird in Kapitel 3.3 ausführlicher behandelt). Abb. 1.2 zeigt, wie ein LQ-Vertex aussieht. Der ebenfalls abgebildete Squark-Vertex verdeutlicht den Zusammenhang zwischen LQ- und Squark-Wechselwirkungen. LQs zerfallen ausschließlich zu Leptonen und Quarks, während bei Squarks auch R -paritätserhaltende Zerfälle der Art $\tilde{q} \rightarrow q\chi$ (χ ist ein Neutralino oder ein Chargino) möglich sind.

⁷Eine ausführliche Behandlung der R -Parität findet sich in [25].

Abbildung 1.2: *Leptoquark- und Squark-Wechselwirkung*

1.2 Leptoquarks

In der LQ-Lagrangefunktion (Kapitel 2.1) treten neben Termen, die die gleiche Form haben, wie in der supersymmetrischen Lagrangefunktion (Kapitel 3.3) weitere Wechselwirkungen auf (pseudoskalare Wechselwirkungen, siehe Kapitel 2.1). Diese werden in Kapitel 3.2 für das Pion behandelt. Aus den Schranken an die Kopplungskonstantenprodukte der LQs können die entsprechenden Schranken an die Kopplungskonstantenprodukte der R -paritätsverletzenden Wechselwirkungen leicht durch einige Einschränkungen (keine pseudoskalaren Wechselwirkungen) gewonnen werden, wie im Falle des Pions in Kapitel 3.3 explizit gezeigt wird.

LQs sind Teilchen, die an Lepton-Quark-Paare koppeln (siehe Abb. 1.2). Dies ist als eine Definition dieser neuen Klasse von Teilchen zu verstehen. Sie haben ganzzahligen Spin und tragen elektrische Ladung und Farbe. Falls LQs existieren, ergeben sich zahlreiche neue Möglichkeiten, die innerhalb des SM's nicht auftreten ⁸:

- L (Leptonzahl) und/oder B (Baryonzahl) wird verletzt. Da die für B -Verletzung verantwortlichen LQs einen Beitrag zum Protonenzerfall liefern, müssen ihre Massen, aufgrund der Lebensdauer des Protons, sehr hoch sein (bzw. das Kopplungskonstantenprodukt sehr klein), oder diese Zerfallsart muss aufgrund einer neuen Symmetrie (wie schon im Fall der R -Parität) verboten sein.
- Auch können FCNC (**F**lavor **C**hanging **N**eutral **C**urrents - Verletzung der Familiennummer) auftreten, wobei die stärkste Einschränkung aus dem Zerfall $K_L \rightarrow \mu e$ abgeleitet wird (Kapitel 4.2).
- Aus leptonischen Mesonenzerfällen lassen sich relativ starke Schranken an die Kopplungskonstantenprodukte ableiten. Insbesondere gilt dies für LQs, die zu links- und rechtshändigen Quarks koppeln, wie in Kapitel 3.2 für den Pionenzerfall gezeigt wird.
- In Kapitel 7 wird auf Meson-Antimeson-Mischungen ($K^0 - \bar{K}^0$, $D^0 - \bar{D}^0$ und $B^0 - \bar{B}^0$) eingegangen.
- Aus dem Zerfall des Z_0 -Bosons (dies wurde u. A. in [28] behandelt) sowie μ - und τ -Zerfällen [29] lassen sich ebenfalls Einschränkungen gewinnen.

⁸Eine ähnliche Auflistung befindet sich in [8].

- Eine Reihe schwächerer Bedingungen erhält man aus
 - Messungen der atomaren Paritätsverletzung [31],
 - (g-2)-Messungen - Eine ausführliche Behandlung des anomalen magnetischen Momentes des Myons befindet sich in [26],
 - Neutrinooszillationsexperimenten [27]. In [13] wurde gezeigt, wie Neutrinomassen ohne Verletzung der R -Parität durch Erweiterung des MSSM mit chiralen LQ-Multipletts erzeugt werden.

Eine detaillierte Betrachtung der LQs kann [16] entnommen werden.

1.2.1 Leptoquarkmodelle

LQs wurden zum ersten Mal in einem $SU(4)$ -Modell von Pati und Salam [42], in dem L als vierte Farbe behandelt wurde, eingeführt. Der theoretische Rahmen für LQ-Kopplungen und -Quantenzahlen wird in [5] und [6] dargestellt. Einen entsprechenden Überblick der R -paritätsverletzenden Wechselwirkungen liefert [41] (siehe auch [48] und [49]).

1.2.2 Suche nach Leptoquarks

An verschiedenen Beschleunigern wurde nach LQs gesucht. Hier verweise ich insbesondere auf die Daten von HERA [36]. In [37] werden die Ergebnisse von HERA, TEVATRON und LEP zusammengefasst. Eine weitere Übersicht über die TEVATRON-Daten kann [38] entnommen werden.

Die Möglichkeiten der Entdeckung R -paritätsverletzender Wechselwirkungen am TEVATRON (Run II) werden in [45] diskutiert (siehe auch [46]), für die Suche an HERA verweise ich auf [50]. [47] geht auf Hadron-Hadron-Kollisionen und die dabei mögliche Sleptonenproduktion via R -Paritätsverletzung ein, die am TEVATRON (Run II) und am LHC nachgewiesen werden kann.

Kapitel 2

Leptonische Mesonenzerfälle

Ziel: In dieser Arbeit sollen Schranken an LQ- und SUSY- Kopplungskonstantenprodukte berechnet werden. Diese werden in der Form

$$\lambda_1 \lambda_2 < \text{Zahl} \left(\frac{m}{100 \text{ GeV}} \right)^2$$

dargestellt. Mit der Division der LQ/SUSY-Masse m durch 100 GeV folge ich der Notation in der Literatur. Dabei wird angenommen, dass LQ/SUSY-Massen etwa im Bereich von 100 GeV zu erwarten sind.

In den folgenden Kapiteln werden neben leptonischen Mesonenzerfällen der Art $M \rightarrow \ell^i \bar{\ell}^m$ (M ist ein Meson, die ℓ^i sind Leptonen) auch semileptonische Zerfälle der Art $M \rightarrow M' \ell^i \bar{\ell}^m$ betrachtet. Zunächst beschränken wir uns auf leptonische Zweikörperzerfälle, da die Zerfallsrate dann aufgrund der Kinematik einfacher zu kalkulieren ist, als bei Dreikörperzerfällen (siehe Gln. 2.10-2.14). Ausgehend von der LQ-Lagrangefunktion (Kap. 2.1) wird die Zerfallsrate $\Gamma_{M \rightarrow \ell^i \bar{\ell}^m}$ berechnet (Kap. 2.4).

2.1 Die LQ-Lagrangefunktion

Es gibt sieben renormierbare, B - und L -erhaltende Quark-Lepton-Boson-Kopplungen, die für skalare und vektorielle LQs in Übereinstimmung mit den $SU(3) \times SU(2) \times U(1)$ Symmetrien des Standardmodells sind. Die Bezeichnung *skalar* (*vektoriell*) bezieht sich dabei auf den Spin der Teilchen; Spin 0 (Spin 1). Die Lagrangefunktionen für skalare und vektorielle Wechselwirkung (S - und V -LQs) sind [5]¹:

$$\begin{aligned} \mathcal{L}_S = & \{ (\lambda_{LS_0} \bar{q}_L^c i \sigma_2 \ell_L + \lambda_{RS_0} \bar{u}_R^c e_R) S_0^\dagger + \lambda_{R\tilde{S}_0} \bar{d}_R^c e_R \tilde{S}_0^\dagger + \\ & + (\lambda_{LS_{1/2}} \bar{u}_R \ell_L + \lambda_{RS_{1/2}} \bar{q}_L i \sigma_2 e_R) S_{1/2}^\dagger + \lambda_{L\tilde{S}_{1/2}} \bar{d}_R \ell_L \tilde{S}_{1/2}^\dagger + \\ & + \lambda_{LS_1} \bar{q}_L^c i \sigma_2 \vec{\sigma} \ell_L \cdot \vec{S}_1^\dagger \} + h.c. \end{aligned} \quad (2.1)$$

¹In der Notation folge ich [1], der Generationenindex der Fermionen ist unterdrückt.

$$\begin{aligned}
\mathcal{L}_V = & \{(\lambda_{LV_0}\bar{q}_L\gamma_\mu\ell_L + \lambda_{RV_0}\bar{d}_R\gamma_\mu e_R)V_0^{\mu\dagger} + \lambda_{R\tilde{V}_0}\bar{u}_R\gamma_\mu e_R\tilde{V}_0^{\mu\dagger} + \\
& + (\lambda_{LV_{1/2}}\bar{d}_R^c\gamma_\mu\ell_L + \lambda_{RV_{1/2}}\bar{q}_L^c\gamma_\mu e_R)V_{1/2}^{\mu\dagger} + \lambda_{L\tilde{V}_{1/2}}\bar{u}_R^c\gamma_\mu\ell_L\tilde{V}_{1/2}^{\mu\dagger} + \\
& + \lambda_{LV_1}\bar{q}_L\gamma_\mu\vec{\sigma}\ell_L \cdot \vec{V}_1^{\mu\dagger}\} + h.c.
\end{aligned} \tag{2.2}$$

Die λ 's sind Kopplungskonstanten. Zur Fermionenhändigkeit sowie der Definition von σ_k siehe Kapitel 2.2 ; die γ_μ sind 4×4 -Gamma-Matrizen [5]. q_L und ℓ_L sind $SU(2)_L$ -Dubletts, u_R , d_R und e_R sind die entsprechenden Singletts. Der Index c bedeutet Ladungskonjugation. Aus den beiden Lagrangefunktionen ergeben sich die in Tabelle 2.1 zusammengefassten Eigenschaften².

Die 4-Fermion-Vertizes der vektoriellen LQs haben nach einer Fierz-Transformation (siehe Kapitel 2.3.1) für³ $m_{LQ} \gg \sqrt{s}$ allgemein folgende Form:

$$\mathcal{L}_1 = \pm \frac{\lambda_{L,R}^{ij}\lambda_{L,R}^{*mn}}{m_{LQ}^2} (\bar{q}^j\gamma^\mu P_{L,R}q^n)(\bar{\ell}^m\gamma_\mu P_{L,R}\ell^i), \tag{2.3}$$

und/oder

$$\mathcal{L}_2 = \pm \frac{\lambda_{L,R}^{ij}\lambda_{R,L}^{*mn}}{m_{LQ}^2} (\bar{q}^j P_{R,L}q^n)(\bar{\ell}^m P_{L,R}\ell^i). \tag{2.4}$$

m_{LQ} ist die Leptoquarkmasse, (i, j, m, n) sind Generationenindizes, q und ℓ sind hier Dirac-Spinoren (und nicht unbedingt $SU(2)$ -Dubletts), P_L und P_R sind Projektionsoperatoren. Das Minuszeichen muss bei $LQ = \tilde{V}_{1/2}^\mu$ oder $V_{1/2}^\mu$ eingesetzt werden (es ergibt sich aus der Anwendung des Ladungskonjugationsoperators C). Die Fermionen haben eine bestimmte Chiralität, die auch den Tabellen 4 und 5 des Anhangs entnommen werden kann. Diese enthalten sämtliche 4-Fermionen-Vertizes für die in der Lagrangefunktion auftretenden Wechselwirkungsterme. Es wird mit der Notation $f_{R/L} = P_{R,L}f = \frac{1}{2}(1 \pm \gamma_5)f$ (f ist ein Dirac-Spinor) gearbeitet.

Anmerkung: In [31] wird der Term $\frac{\lambda_{LQ}^2}{m_{LQ}^2}(\bar{e}\gamma_\mu\gamma_5 e)(\bar{q}\gamma_\mu q)$ behandelt, der einen Beitrag zur atomaren Paritätsverletzung durch die Wechselwirkung zwischen Quarks und Elektronen liefert. Dieser Term wird im Weiteren nicht mehr betrachtet.

Der Fermi-4-Fermionen-Vertex aus dem Standardmodell (schwache Wechselwirkung) lässt sich schreiben als:

$$\mathcal{L}_{SM} = \frac{4G_F}{\sqrt{2}}V_{jn}(\bar{q}^j\gamma^\mu P_L q^n)(\bar{\ell}^m\gamma_\mu P_L \ell^i). \tag{2.5}$$

G_F ist die Fermikonstante und V_{jn} das CKM-Matrixelement.

²In einigen Arbeiten wird die Lagrangefunktion auch in der Form $\mathcal{L} = \mathcal{L}_{F=2} + \mathcal{L}_{F=0}$ dargestellt (zur Definition von F siehe Tabelle 2.1).

³ s ist eine lorentzinvariante Mandelstam-Variable: $s = (\sum p_i)^2$, p_i ist der Viererimpuls der Eingangsteilchen.

	J	F	T	T_3	Q	SU(5)-Darstellung	koppelt an
S_0	0	2	0	0	-1/3	5	$e_L u_L \ e_R u_R \ \nu_L d_L$
\tilde{S}_0	0	2	0	0	-4/3	45	$e_R d_R$
$S_{1/2}$	0	0	1/2	$-\frac{1}{2}$ $\frac{1}{2}$	$-\frac{5}{3}$ $-\frac{2}{3}$	45	$e_R \bar{u}_L \ e_L \bar{u}_R$ $e_R \bar{d}_L \ \nu_L \bar{u}_R$
$\tilde{S}_{1/2}$	0	0	1/2	$-\frac{1}{2}$ $\frac{1}{2}$	$-\frac{2}{3}$ $\frac{1}{3}$	10/15	$e_L \bar{d}_R$ $\nu_L \bar{d}_R$
S_1	0	2	1	-1 0 1	$-\frac{4}{3}$ $-\frac{1}{3}$ $\frac{2}{3}$	45	$e_L d_L$ $e_L u_L \ \nu_L d_L$ $\nu_L u_L$
V_0^μ	1	0	0	0	-2/3	10	$e_L \bar{d}_L \ e_R \bar{d}_R \ \nu_L \bar{u}_L$
\tilde{V}_0^μ	1	0	0	0	-5/3	75	$e_R \bar{u}_R$
$V_{1/2}^\mu$	1	2	1/2	$-\frac{1}{2}$ $\frac{1}{2}$	$-\frac{4}{3}$ $-\frac{1}{3}$	24	$e_R d_L \ e_L d_R$ $e_R u_L \ \nu_L d_R$
$\tilde{V}_{1/2}^\mu$	1	2	1/2	$-\frac{1}{2}$ $\frac{1}{2}$	$-\frac{1}{3}$ $\frac{2}{3}$	10/15	$e_L u_R$ $\nu_L u_R$
V_1^μ	1	0	1	-1 0 1	$-\frac{5}{3}$ $-\frac{2}{3}$ $\frac{1}{3}$	40	$e_L \bar{u}_L$ $e_L \bar{d}_L \ \nu_L \bar{u}_L$ $\nu_L \bar{d}_L$

Tabelle 2.1: *Eigenschaften der Leptoquarks* [7] - Die Bezeichnungen der einzelnen LQs wurden gemäß [1] vorgenommen (LQs sind $SU(3)_c$ -Triplets); $F=3B+L$; T ist der $SU(2)$ -Isospin; J ist der Spin; Q bezeichnet die elektrische Ladung: $Q = T_3 - \frac{1}{2}Y$ (Y = Hyperladung); Kopplungen wurden nur für die erste Generation aufgelistet, außerdem wurden ergänzend die minimale $SU(5)$ -Darstellung angegeben, in die die LQs eingebettet werden können [35].

Die Kopplungen in den beiden LQ-Vertizes tragen unterschiedliche Händigkeitsindizes: In Gl. (2.3) tragen beide λ s den Index L (R), in Gl. (2.4) tragen die λ s unterschiedliche Indizes (L , R oder R , L). Desweiteren sieht man, dass sich die Gln. (2.3) und (2.5) nur in den konstanten Vorfaktoren unterscheiden. Beide sind $(V \pm A)$ (vektorielle \pm axialvektorielle)-Vertizes. Gl. (2.4) ist von der Form $(S \pm P)$ (skalar \pm pseudoskalar) und kann damit die chirale Unterdrückung des Zerfalls $\pi \rightarrow e\nu_e$ aufheben, wie in Kapitel 3 (für das Pion) dargestellt wird. Welche LQs $(S \pm P)$ -Vertizes erzeugen, kann Tabelle 2.1 und den Tabellen 4 und 5 des Anhangs entnommen werden.

Die effektive Lagrangefunktion für V_0^μ ist⁴:

$$\begin{aligned} \mathcal{L}_{eff} = & \frac{\lambda_{RV_0}\lambda_{RV_0}^*}{m_0^2}(\bar{d}_R\gamma^\mu d_R)(\bar{e}_R\gamma_\mu e_R) + \frac{\lambda_{LV_0}\lambda_{LV_0}^*}{m_0^2}(\bar{u}_L\gamma^\mu u_L)(\bar{\nu}_L\gamma_\mu \nu_L) + \frac{\lambda_{LV_0}\lambda_{LV_0}^*}{m_0^2}(\bar{d}_L\gamma^\mu u_L)(\bar{\nu}_L\gamma_\mu e_L) \\ & + \frac{\lambda_{LV_0}\lambda_{LV_0}^*}{m_0^2}(\bar{d}_L\gamma^\mu d_L)(\bar{e}_L\gamma_\mu e_L) + \frac{\lambda_{LV_0}\lambda_{RV_0}^*}{m_0^2}(\bar{d}_R u_L)(\bar{\nu}_L e_R) + \frac{\lambda_{LV_0}\lambda_{RV_0}^*}{m_0^2}(\bar{d}_R d_L)(\bar{e}_L e_R). \end{aligned} \quad (2.6)$$

Es treten sowohl $(V \pm A)$ - als auch $(S \pm P)$ -Vertizes auf. Dies ist genauso bei den LQs $S_0, S_{1/2}$ und $V_{1/2}^\mu$. Die übrigen LQs haben nur $(V \pm A)$ -Vertizes. Aus den $(S \pm P)$ -Matrixelementen⁵ erhält man Schranken an das Produkt $\lambda_L\lambda_R$ (Kopplungen entgegengesetzter Chiralität an den beiden Enden des LQ-Propagators).

Selbst wenn man nur rechts- oder linkshändige Kopplungen zulässt, kann der helizitätsunterdrückte Zerfall $\pi \rightarrow e\nu_e$ noch starke Einschränkungen an die Kopplungskonstanten liefern. LQ-Kopplungen mit dem SM-Higgs-Dublett führen die nicht-chiralen Wechselwirkungsterme wieder ein [24].

2.2 Konventionen und Näherungen

Im Weiteren werden einige Konventionen verwendet, die zur besseren Übersicht hier zusammengefasst sind:

Indizes: In den Kopplungskonstanten λ sind die Generationenindizes (soweit ihre Erwähnung notwendig ist) hochgestellt, wobei der Leptonenindex vor dem Quarkindex kommt. Der Generationenindex der LQs ist unterdrückt.

Generatoren σ_k der $SU(2)$: Die in der LQ-Lagrangefunktion in Kapitel 2.1 auftretenden σ_k (Pauli-Matrizen), mit $\vec{\sigma} = (\sigma_1, \sigma_2, \sigma_3)$, sind in Tabelle 3 des Anhangs definiert, sie operieren auf den Fermionenfeldern q_L und ℓ_L in der Lagrangefunktion.

Händigkeit: Die Fermionen in unserer Notation haben eine wie folgt definierte Händigkeit: $\bar{f}_R = (P_R f)^\dagger \gamma_0$ und $f_L^c = (P_L f)^c$. Die Händigkeit der LQ-Kopplungen für einen bestimmten 4-Fermionen-Vertex kann den Tabellen 4 und 5 des Anhangs entnommen werden.

Vektorielle und skalare LQs: Es kann sowohl skalare, als auch vektorielle LQs geben. Der Einfachheit halber werden sämtliche Berechnungen im Folgenden zunächst für vektorielle

⁴Die übrigen 4-Fermionen-Vertizes können den Tabellen 4 und 5 des Anhangs entnommen werden.

⁵Die dabei (nach der Fierz-Transformation) auftretenden tensoriellen Operatoren liefern bei semileptonischen Zerfällen nicht verschwindende Beiträge. Für den semileptonischen K -Zerfall verweise ich auf Kapitel 4.1.2 .

LQs durchgeführt. Die Resultate für skalare LQs erhält man so⁶ :

$$\lambda_V \longrightarrow \frac{\lambda_S}{\sqrt{2}} . \quad (2.7)$$

Berechnete Kopplungen: Im Text werden die Kopplungen nur für $\lambda_L\lambda_L$ bzw. $\lambda_L\lambda_R$ berechnet, für $\lambda_R\lambda_R$ und $\lambda_R\lambda_L$ läuft die Rechnung analog. Die Ergebnisse sind im Anhang tabellarisch zusammengefasst.

Es werden zudem noch einige Näherungen bzw. Abschätzungen verwendet:

QCD-Korrekturen: QCD-Korrekturen werden in allen Ordnungen außer Acht gelassen. Durch den dabei entstehenden Fehler ändern sich die Schranken an λ^2 nicht mehr als um einen Faktor 2 (siehe [1]). Bei den schwereren Mesonen erhält man aufgrund anderer Näherungen zur Berechnung der Zerfallsraten nur ein qualitatives Ergebnis⁷ (zur Berechnung des B -Mesonenzfalls wurde die HQE, **H**ea**v**y **Q**uark **E**xpansion, benutzt). Diese Näherungen werden in den entsprechenden Abschnitten näher erläutert, siehe insbesondere Kapitel 6.

Quarkmassen: In einige Berechnungen gehen die Quarkmassen ein, deren Werte der Tabelle 2 des Anhangs entnommen werden können. Dabei werden die oberen Grenzwerte für die Quarkmassen verwendet, um eine konservative Abschätzung der Schranken an die betreffenden Kopplungskonstantenprodukte zu erhalten.

2.3 Nebenrechnungen

2.3.1 Die Fierz-Transformation

Die Fierz-Transformation (siehe [51]) wird verwendet, um Berechnung mit der invarianten Amplitude \mathcal{M} , insbesondere Interferenzterme mehrerer Matrixelemente, zu vereinfachen. Die beliebigen Dirac-Spinoren u_i werden dabei umgeordnet:

$$(\bar{u}_3\Lambda_i u_2)(\bar{u}_1\Lambda_j u_4) = \sum_{k,l=1}^5 c_{ijkl}(\bar{u}_1\Lambda_k u_2)(\bar{u}_3\Lambda_l u_4) , \quad (2.8)$$

wobei $\Lambda_i = (\mathbf{1}, \gamma_\mu, \sigma_{\mu\nu} = \frac{i}{2}[\gamma_\mu, \gamma_\nu], \gamma_\mu\gamma_5, \gamma_5)$; c_{ijkl} sind konstante Entwicklungskoeffizienten. Für $i = j$ vereinfacht sich die Rechnung:

$$(\bar{u}_3\Lambda_i u_2)(\bar{u}_1\Lambda_i u_4) = \sum_{j=1}^5 \lambda_{ij}(\bar{u}_1\Lambda_j u_2)(\bar{u}_3\Lambda_j u_4) , \quad (2.9)$$

⁶In einigen Fällen (siehe Kapitel 3.2.1 für das Pion) muss auch das Vorzeichen der 4-Fermionen-Vertizes (2.3) bzw. (2.4) beachtet werden.

⁷Insbesondere durch die teilweise nötige Verwendung experimenteller Werte für die Zerfallskonstante f_M , die bei den schwereren Mesonen mit einem relativ großen Fehler behaftet sind, werden die berechneten Schranken entsprechend ungenau.

wobei

$$(\lambda_{ij}) = \frac{1}{4} \begin{pmatrix} 1 & 1 & 1 & 1 & 1 \\ 4 & -2 & 0 & 2 & -4 \\ 6 & 0 & -2 & 0 & 6 \\ 4 & 2 & 0 & -2 & -4 \\ 1 & -1 & 1 & -1 & 1 \end{pmatrix}. \quad (2.10)$$

Insbesondere gilt:

$$(\bar{u}_3 \gamma_\mu (1 - \gamma_5) u_2) (\bar{u}_1 \gamma^\mu (1 - \gamma_5) u_4) = -(\bar{u}_1 \gamma_\mu (1 - \gamma_5) u_2) (\bar{u}_3 \gamma^\mu (1 - \gamma_5) u_4). \quad (2.11)$$

Bei Verwendung antikommutierender Felder ψ_i statt der Spinoren u_i erscheint auf der rechten Seite von Gl. (2.11) ein zusätzliches Minuszeichen.

Bei $(S \pm P)$ -Wechselwirkungen treten nach der Fierztransformation neben $(S \pm P)$ -Termen auch tensorielle Terme $(\bar{u} \sigma_{\mu\nu} u)$ auf. Bei der Betrachtung semileptonischer K -Mesonenzerfälle (Kapitel 4.1.2) werden diese ausführlicher behandelt.

2.3.2 Berechnung der Quarkströme

In der fundamentalen Darstellung der (*flavour*-) $SU(3)$, **3**, gibt es drei Typen (*flavours*) von Quarks, $q = (u, d, s)$. Ausgehend von der PCAC- (Partially Conserved Axial-vector Current) Bedingung für das pseudoskalare Mesonenoktett⁸

$$\langle 0 | j_\mu^{(5)b}(x) | \phi^a(p) \rangle = i \delta^{ab} \frac{f_\phi p^\mu}{\sqrt{2}} e^{ip \cdot x}, \quad (2.12)$$

kann man den Quarkstrom bei Mesonenzerfällen berechnen. Dabei ist f_ϕ die Mesonenzerfallskonstante, p^μ der Viererimpulsvektor des Mesons, $\phi = \phi^a \frac{\lambda^a}{\sqrt{2}}$ und

$$j_\mu^{(5)b} = \bar{q} \gamma^\mu \gamma^5 \frac{\lambda^b}{2} q. \quad (2.13)$$

Die λ^a ($a=1, \dots, 8$) sind die Gell-Mann-Matrizen (siehe Tabelle 3 des Anhangs) mit der Normalisierung $Tr(\lambda^a \lambda^b) = 2\delta^{ab}$.

Die folgende Rechnung, siehe auch [62], wird für das Pion durchgeführt, die Ergebnisse gelten aber analog auch für das Kaon. Mit $\bar{u} \gamma^\mu \gamma^5 d = \bar{q} \gamma^\mu \gamma^5 (\frac{\lambda^1}{2} - i \frac{\lambda^2}{2}) q$ und $\pi^- = \frac{1}{\sqrt{2}} (\phi^1 + i \phi^2)$ erhält man für $x = 0$ (unter Beachtung von $\langle 0 | \bar{u} \gamma_\mu d | \pi^- \rangle = 0$):

$$\langle 0 | \bar{u} \gamma^\mu P_{L,R} d | \pi^- \rangle = \pm i \frac{f_{\pi^-}}{2} \cdot p^\mu \equiv \tilde{A}_{\pi^-} \cdot p^\mu. \quad (2.14)$$

⁸Es wird angenommen, dass die $SU(2)$ -Isospin-Symmetrie nicht gebrochen ist; a und b sind Isospin-Indizes.

\tilde{A}_{π^-} ist positiv für P_L und negativ für P_R . Die Ableitung von Gl. (2.12) liefert:

$$\langle 0 | \partial^\mu j_\mu^{(5)b}(x) | \phi^a(p) \rangle = -\delta^{ab} \frac{f_\phi m_\phi^2}{\sqrt{2}} e^{ip \cdot x} . \quad (2.15)$$

Unter Verwendung der Dirac-Gln. für die Quarkfelder,

$$i\gamma^\mu \partial_\mu q = \mathbf{m}q , \quad -i\partial_\mu \bar{q} \gamma^\mu = \bar{q} \mathbf{m} , \quad (2.16)$$

wobei \mathbf{m} eine 3×3 -Diagonalmatrix mit den Einträgen m_u, m_d und m_s ist, erhält man:

$$\partial^\mu j_\mu^{(5)b} = i\bar{q} \gamma^5 \frac{1}{2} \{ \mathbf{m}, \lambda^b \} q . \quad (2.17)$$

Für $(a; b) = (1; 2)$ gilt

$$\text{tr}[\{ \mathbf{m}, \lambda^b \} \lambda^a] = \frac{1}{2} \delta^{ab} (m_u + m_d) , \quad (2.18)$$

und damit erhält man für $x = 0$:

$$\langle 0 | (\bar{u} P_{L,R} d) | \pi^- \rangle = \mp i \frac{f_{\pi^-} m_{\pi^-}}{2} \frac{m_{\pi^-}}{m_u + m_d} \equiv \tilde{P}_{\pi^-} . \quad (2.19)$$

\tilde{P}_{π^-} ist positiv für P_R und negativ für P_L .

2.3.3 Die Zerfallsrate Γ

Bei der Berechnung der Zerfallsrate aus dem Betragsquadrat der invarianten Amplitude $\overline{|\mathcal{M}|^2}$ (über Anfangszustandsspins wird gemittelt, über Endzustandsspins summiert) in Kapitel 2.4 wird Fermi's Goldene Regel verwendet. Für einen Dreikörperzerfall hat man damit [9]:

$$\Gamma(a \rightarrow b + c + d) = \frac{1}{(2\pi)^3} \frac{1}{32M_a^3} \int_{(m_{bc}^2)_{min}}^{(m_{bc}^2)_{max}} dm_{bc}^2 \int_{(m_{cd}^2)_{min}}^{(m_{cd}^2)_{max}} dm_{cd}^2 \overline{|\mathcal{M}|^2} , \quad (2.20)$$

wobei

- $(m_{bc}^2)_{max} = (M_a - m_d)^2$,
- $(m_{bc}^2)_{min} = (m_b + m_c)^2$,
- $(m_{cd}^2)_{max} = (E_c^* + E_d^*)^2 - \left(\sqrt{E_c^{*2} - m_c^2} - \sqrt{E_d^{*2} - m_d^2} \right)^2$,
- $(m_{cd}^2)_{min} = (E_c^* + E_d^*)^2 - \left(\sqrt{E_c^{*2} - m_c^2} + \sqrt{E_d^{*2} - m_d^2} \right)^2$,
- $E_c^* = (m_{bc}^2 - m_b^2 + m_c^2) / 2m_{bc}$ und $E_d^* = (M_a^2 - m_{bc}^2 - m_d^2) / 2m_{bc}$ sind die Energien der Teilchen c und d im m_{bc} Ruhesystem.

Für Zerfälle der Art $a \rightarrow b + c$ vereinfacht sich dies zu:

$$\Gamma_{a \rightarrow b+c} = \frac{|\mathcal{M}(a \rightarrow b+c)|^2 k}{8\pi M_a^2}. \quad (2.21)$$

k ist dabei der Betrag des Leptonen-Dreierimpulsvektors im Schwerpunktsystem des zerfallenden Mesons, M_a ist die Mesonenmasse und m_b, m_c sind die Massen der Zerfallsteilchen b und c .

$$p_b \cdot p_c = \frac{1}{2}(M_a^2 - m_b^2 - m_c^2) \quad (2.22)$$

benutzt. Desweiteren gilt (im Schwerpunktsystem des zerfallenden Mesons):

$$k^2 = \frac{1}{4M_a^2}[M_a^2 - (m_b + m_c)^2][M_a^2 - (m_b - m_c)^2]. \quad (2.23)$$

2.4 Berechnung der Zerfallsrate $\Gamma(M \rightarrow \ell^i \bar{\ell}^m)$

Es soll nun aus der invarianten Amplitude \mathcal{M} die Zerfallsrate Γ für den Zerfall eines Mesons M (gebundener Zustand zweier Quarks $\bar{q}^j q^n$) in zwei Leptonen $\ell^i \bar{\ell}^m$ berechnet werden. Allgemein berechnet man die invariante Amplitude, indem man die effektiven Hamiltonfunktionen der relevanten Zerfallsprozesse angibt und über $\langle \text{Endzustand} | \mathcal{H} | \text{Anfangszustand} \rangle$ integriert⁹, wobei zusätzlich die Viererimpulserhaltung gewährleistet sein muss. Für das Pion sieht dies so aus:

$$\mathcal{M}_{ijmn} \delta^4(p_\pi - p_\ell - p_\nu) = \frac{1}{2\pi i} \int \langle \ell^i; \bar{\nu}^m | \mathcal{H}_{total} | \pi_{jn}^- \rangle. \quad (2.24)$$

Die Quarks sind im Anfangszustand in einem Meson gebunden. Nach dem Einsetzen der effektiven Hamiltonfunktion erhält man daher die Matrixelemente $\langle 0 | (\bar{q}^j \gamma^\mu P_{L,R} q^n) | M \rangle$ und $\langle 0 | (\bar{q}^j P_{L,R} q^n) | M \rangle$, die in den Gln. (2.14) und (2.19) angegeben sind.

Aus \mathcal{L}_{SM} (Gl. 2.5), \mathcal{L}_1 (Gl. 2.3) und \mathcal{L}_2 (Gl. 2.4) erhält man die invariante Amplitude¹⁰ $\mathcal{M}_{L,R} = \mathcal{M}_{1;L,R} + \mathcal{M}_{2;L,R} + \mathcal{M}_{SM;L,R}$:

$$\begin{aligned} \mathcal{M}_{L,R} &= \frac{(\lambda_{L,R}^{ij} \lambda_{L,R}^{*mn})}{m_{LQ}^2} \langle 0 | (\bar{q}^j \gamma^\mu P_{L,R} q^n) | M \rangle (\bar{\ell}^m \gamma_\mu P_{L,R} \ell^i) \\ &+ \frac{(\lambda_{L,R}^{ij} \lambda_{R,L}^{*mn})}{m_{LQ}^2} \langle 0 | (\bar{q}^j P_{R,L} q^n) | M \rangle (\bar{\ell}^m P_{L,R} \ell^i) \\ &+ \frac{4G_F V_{jn}}{\sqrt{2}} \langle 0 | (\bar{q}^j \gamma^\mu P_L q^n) | M \rangle (\bar{\ell}^m \gamma_\mu P_L \ell^i). \end{aligned} \quad (2.25)$$

⁹Dies wurde für das Pion in [44] durchgeführt.

¹⁰In dieser Notation entsprechen $\bar{\ell}^m$ und ℓ^i den Spinoren \bar{v}_{ℓ^m} und u_{ℓ^i} der, in der Literatur [43] verwendeten Schreibweise.

Dieses Matrixelement muss nun quadriert werden; außerdem ist eine Summation über die Endzustandsspins durchzuführen. Über die Eingangszustandsspins wird gemittelt (für ein Spin 0 -Meson ist der Vorfaktor 1). Die einzelnen Beiträge werden mit den Vollständigkeitsrelationen und unter Verwendung der Rechenregeln für Spuren von γ -Matrizen ausgerechnet. Dabei wird nur $|\overline{\mathcal{M}}_L|^2$ berechnet, für $|\overline{\mathcal{M}}_R|^2$ ist das Verfahren analog.

Im SM-Term kann man das γ_μ aus dem Leptonenstrom mit dem p^μ des Matrixelements (Gl. 2.14) kontrahieren und erhält damit (unter Verwendung der Dirac-Gln.):

$$\begin{aligned} \sum_{\text{Ausgangsspins}} |p^\mu (\overline{\ell}^m \gamma_\mu P_L \ell^i)|^2 &= \sum_{\text{Ausgangsspins}} |m_{\ell^i} (\overline{\ell}^m P_R \ell^i) - m_{\ell^m} (\overline{\ell}^m P_L \ell^i)|^2 \\ &= \frac{1}{2} (m_{\ell^m}^2 + m_{\ell^i}^2) \text{Tr}(\not{p}_{\ell^m} \not{p}_{\ell^i}) + 4m_{\ell^m}^2 m_{\ell^i}^2. \end{aligned} \quad (2.26)$$

Es ergibt sich:

$$\begin{aligned} |\mathcal{M}_{SM}|^2 &= 8G_F^2 |V_{jn}|^2 |\tilde{A}|^2 \cdot \left[\frac{1}{2} (m_{\ell^m}^2 + m_{\ell^i}^2) \text{Tr}(\not{p}_{\ell^m} \not{p}_{\ell^i}) + 4m_{\ell^m}^2 m_{\ell^i}^2 \right] \\ &= 8G_F^2 |V_{jn}|^2 |\tilde{A}|^2 [(m_{\ell^m}^2 + m_{\ell^i}^2)(m_M^2 - m_{\ell^m}^2 - m_{\ell^i}^2) + 4m_{\ell^m}^2 m_{\ell^i}^2]. \end{aligned} \quad (2.27)$$

Im letzten Schritt wurde Gl. (2.22) benutzt. Für $|\mathcal{M}_1|^2$ und $|\mathcal{M}_2|^2$ erhält man:

$$|\mathcal{M}_1|^2 = \frac{|\lambda_L^{ij} \lambda_L^{*mn}|^2}{m_{LQ}^4} |\tilde{A}|^2 [(m_{\ell^m}^2 + m_{\ell^i}^2)(m_M^2 - m_{\ell^m}^2 - m_{\ell^i}^2) + 4m_{\ell^m}^2 m_{\ell^i}^2], \quad (2.28)$$

und

$$|\mathcal{M}_2|^2 = \frac{|\lambda_L^{ij} \lambda_R^{*mn}|^2}{m_{LQ}^4} |\tilde{P}|^2 (m_M^2 - m_{\ell^m}^2 - m_{\ell^i}^2). \quad (2.29)$$

Die drei Interferenzterme haben folgende Form:

$$2\Re(\mathcal{M}_1^* \mathcal{M}_2) = -2 \frac{\Re[(\lambda_L^{ij} \lambda_L^{*mn})^* (\lambda_L^{ij} \lambda_R^{*mn})]}{m_{LQ}^4} \tilde{P} \tilde{A}^* m_{\ell^m} (m_M^2 - m_{\ell^m}^2 + m_{\ell^i}^2), \quad (2.30)$$

$$2\Re(\mathcal{M}_{SM}^* \mathcal{M}_2) = -2 \frac{\Re[(\lambda_L^{ij} \lambda_R^{*mn}) V_{jn}^*]}{m_{LQ}^2} \frac{4G_F}{\sqrt{2}} \tilde{P} \tilde{A}^* m_{\ell^m} (m_M^2 - m_{\ell^m}^2 + m_{\ell^i}^2), \quad (2.31)$$

und

$$2\Re(\mathcal{M}_{SM}^* \mathcal{M}_1) = 2 \frac{\Re[(\lambda_L^{ij} \lambda_L^{*mn}) V_{jn}^*]}{m_{LQ}^2} \frac{4G_F}{\sqrt{2}} |\tilde{A}|^2 [(m_{\ell^m}^2 + m_{\ell^i}^2)(m_M^2 - m_{\ell^m}^2 - m_{\ell^i}^2) + 4m_{\ell^m}^2 m_{\ell^i}^2]. \quad (2.32)$$

Die Zerfallsrate $\Gamma_M = \Gamma_{M \rightarrow l \bar{\nu}^m}$ ist damit (Gl. 2.21):

$$\Gamma_M = \frac{k}{8\pi m_M^2} \left\{ \frac{|\lambda_L^{ij} \lambda_R^{*mn}|^2}{m_{LQ}^4} |\tilde{P}|^2 (m_M^2 - m_{\ell^m}^2 - m_{\ell^i}^2) \right. \\ + \left[\frac{\Re[(\lambda_L^{ij} \lambda_R^{*mn})^* (\lambda_L^{ij} \lambda_L^{*mn})]}{m_{LQ}^2} - \frac{2\sqrt{2}G_F \Re[(\lambda_L^{ij} \lambda_L^{*mn}) V_{jn}^*]}{m_{LQ}^2} \right] 2\tilde{P} \tilde{A}^* m_{\ell^m} (m_M^2 - m_{\ell^m}^2 + m_{\ell^i}^2) \\ \left. + \left| 2\sqrt{2}G_F V_{jn} + \frac{(\lambda_L^{ij} \lambda_L^{*mn})^*}{m_{LQ}^2} \right|^2 |\tilde{A}|^2 [(m_{\ell^m}^2 + m_{\ell^i}^2)(m_M^2 - m_{\ell^m}^2 - m_{\ell^i}^2) + 4m_{\ell^m}^2 m_{\ell^i}^2] \right\}, \quad (2.33)$$

wobei k in Gl. (2.23) angegeben ist. Man hat nun die Zerfallsrate für den leptonicen Zerfall eines Mesons im Standardmodell mit zusätzlichen, über das SM hinausgehenden, $(V \pm A)$ und $(S \pm P)$ -Wechselwirkungen.

Diese Berechnung wurde in ähnlicher Form auch in [1] durchgeführt. Es wurde mit Kopplungskonstantenprodukten $e_{L,R} \cdot e_{L,R}$ (bzw. $e_{L,R} \cdot e_{R,L}$) gerechnet, die im Falle gleicher Händigkeit ($e_L \cdot e_L$ oder $e_R \cdot e_R$) die SM-Kopplung und die LQ-Kopplung (als $|Summe\ der\ Kopplungskonstantenprodukte|^2$), und im Fall unterschiedlicher Händigkeit reine LQ-Kopplungen beinhalten. Außerdem wurden \mathcal{M}_L und \mathcal{M}_R in einer einzigen Zerfallsrate als Summe dargestellt und angenommen, dass die Masse m_{ℓ^i} verschwindet.

Kapitel 3

Das Pion

Innerhalb des SMs zerfallen geladene Pionen hauptsächlich über schwache Wechselwirkung in ein Myon und ein Myonneutrino:

$$BR(\pi^+ \rightarrow \mu^+ \nu_\mu) = \frac{\Gamma_{\pi^+ \rightarrow \mu^+ \nu_\mu}}{\Gamma_\pi} = (99,98770 \pm 0,00004) \cdot 10^{-2}. \quad (3.1)$$

Der Zerfall $\pi^+ \rightarrow e^+ \nu_e$ ist etwa um den Faktor $(\frac{m_e}{m_\mu})^2 = 2,34 \cdot 10^{-5}$ unterdrückt. Das π^+ hat Spin 0, d.h. da das Neutrino linkshändig ist, muss das Positron bzw. positiv geladene Myon auch linkshändig sein (Spinerhaltung). Im Grenzübergang $m_e \rightarrow 0$ ($m_\mu \rightarrow 0$) koppelt der Strom der schwachen WW allerdings nur an rechtshändige Positronen (Antimyonen), d.h. die linkshändige Kopplung ist stark unterdrückt.

Wie schon erwähnt existiert diese chirale Unterdrückung bei Mesonenzerfällen über LQs nicht, da diese links- und rechtshändige Kopplungen haben. Daraus ergeben sich starke Schranken für die entsprechenden Kopplungskonstantenprodukte, die im Folgenden (Kapitel 3.2) aus der allgemein berechneten Zerfallsrate Γ_M (Gl. 2.33) abgeleitet werden.

3.1 Das Verhältnis R

Um die experimentelle Ungenauigkeit in der Zerfallskonstante f_M [4], insbesondere bei schwereren Mesonen, zu umgehen wird, statt mit der Zerfallsrate, mit dem Verhältnis

$$R \equiv \frac{\Gamma(\pi^+ \rightarrow \bar{e}\nu_e)}{\Gamma(\pi^+ \rightarrow \bar{\mu}\nu_\mu)} \quad (3.2)$$

gearbeitet. Die Zerfallskonstante kürzt sich bei dieser Vorgehensweise aus den Gleichungen heraus. Die Standardmodellvorhersage für R mit Strahlungskorrekturen ist [52]:

$$R_{th} = \frac{m_e^2 (m_\pi^2 - m_e^2)^2}{m_\mu^2 (m_\pi^2 - m_\mu^2)^2} (1 + \Delta) = (1,2354 \pm 0,0004) \times 10^{-4}. \quad (3.3)$$

Die Standardabweichung ist in 2σ angegeben. Der experimentelle Wert für R (mit 2σ -Standardabweichung) ist [4]¹

$$R_{exp} = \frac{\Gamma(\pi^+ \rightarrow \bar{e}\nu)}{\Gamma(\pi^+ \rightarrow \bar{\mu}\nu)} = (1,230 \pm 0,008) \times 10^{-4}, \quad (3.4)$$

und steht damit innerhalb der Fehlergrenzen in Übereinstimmung mit der theoretischen Vorhersage.

3.2 LQ-Wechselwirkungen

3.2.1 $\pi^+ \rightarrow \bar{e}\nu_e$ und $\pi^+ \rightarrow \bar{\mu}\nu_\mu$

Die pseudoskalare Wechselwirkung durch den Vertex (2.4) liefert den größten Beitrag zur gesamten LQ-induzierten WW, da die Helizitätsunterdrückung fehlt. Die anderen Beiträge werden daher zunächst vernachlässigt. Wenn man aus der Zerfallsrate (2.33) den Beitrag I_{SM-LQ_2} der Interferenz zwischen Standardmodell und den als vergleichsweise klein angenommenen LQ-induzierten pseudoskalaren Operatoren (2.31) benutzt und seinen Beitrag zu R berechnet, erhält man²:

$$\begin{aligned} R_{SM+I_{SM-LQ_2}} &= \frac{k_e (|\mathcal{M}_{SM}|^2 + 2\Re(\mathcal{M}_{SM}^* \mathcal{M}_2))_{\pi^+ \rightarrow \bar{e}\nu_e}}{k_\mu (|\mathcal{M}_{SM}|^2 + 2\Re(\mathcal{M}_{SM}^* \mathcal{M}_2))_{\pi^+ \rightarrow \bar{\mu}\nu_\mu}} \quad (3.5) \\ &= -\frac{\tilde{P}}{\tilde{A}} \left(\frac{\Re(\lambda_L^{11} \lambda_R^{*11})}{\sqrt{2}G_F V_{ud} m_{LQ}^2} \frac{1}{m_e} - \frac{\Re(\lambda_L^{21} \lambda_R^{*21})}{\sqrt{2}G_F V_{ud} m_{LQ}^2} \frac{1}{m_\mu} \right) R_{th} + R_{th}. \end{aligned} \quad (3.6)$$

Die Neutrinomassen wurden vernachlässigt. Die Taylorentwicklung des Nenners wird nach dem linearen Term abgebrochen, da die LQ-Kopplungen klein gegenüber dem Term aus der schwachen Wechselwirkung sind.

Anmerkung zum Vorzeichen in (3.6): Gemäß Gl. (2.14) und Gl. (2.19) ist

$$\tilde{A}_{\pi^-} = \pm i \frac{f_{\pi^-}}{2} \quad \text{und} \quad \tilde{P}_{\pi^-} = \mp i \frac{f_{\pi^-}}{2} \frac{m_{\pi^-}^2}{m_u + m_d}.$$

Es muss allerdings hier das unterschiedliche Vorzeichen der Projektionsoperatoren P_L bzw. P_R beachtet werden, was zu einem relativen Minuszeichen zwischen \tilde{A} und \tilde{P} führt, d.h. zu dem positiven Vorfaktor $-(\tilde{P}/\tilde{A})$.

¹ $\frac{\Gamma(\pi^+ \rightarrow \bar{e}\nu)}{\Gamma_\pi} = (1,230 \pm 0,008) \times 10^{-4}$ (2σ -Bereich).

² Indizierung: Elektron - $m = j = n = i = 1$; Myon - $m = i = 2, j = n = 1$. Es wird angenommen, dass V_{ud} reell ist.

Der gesamte Beitrag zu R muss kleiner sein als es die Abweichungen zwischen SM und Experiment innerhalb der Fehlergrenzen zulassen. Nimmt man an, dass jeweils nur zwei LQ-Kopplungskonstanten nicht verschwinden, erhält man folgende Bedingungen:

$$-\frac{\tilde{P}}{\tilde{A}} \left(\frac{\Re(\lambda_L^{11} \lambda_R^{*11})}{\sqrt{2} G_F V_{ud} m_{LQ}^2 m_e} \frac{1}{m_e} \right) < \frac{R_{exp}}{R_{th}} - 1 + \Delta \left(\frac{R_{exp}}{R_{th}} \right) \equiv R_{max} = 2,1 \times 10^{-3}, \quad (3.7)$$

und

$$-\frac{\tilde{P}}{\tilde{A}} \left(\frac{\Re(\lambda_L^{21} \lambda_R^{*21})}{\sqrt{2} G_F V_{ud} m_{LQ}^2 m_\mu} \frac{1}{m_\mu} \right) < - \left(\frac{R_{exp}}{R_{th}} - 1 - \Delta \left(\frac{R_{exp}}{R_{th}} \right) \right) \equiv R_{min} = 1,1 \times 10^{-2}, \quad (3.8)$$

wobei, unter Verwendung von $\frac{\Delta(R_{th})}{R_{th}} \ll \frac{\Delta(R_{exp})}{R_{exp}}$,

$$\Delta \left(\frac{R_{exp}}{R_{th}} \right) = \frac{R_{exp}}{R_{th}} \sqrt{\left(\frac{\Delta(R_{exp})}{R_{exp}} \right)^2 + \left(\frac{\Delta(R_{th})}{R_{th}} \right)^2} \simeq \frac{\Delta(R_{exp})}{R_{th}} = 6,5 \times 10^{-3}. \quad (3.9)$$

Damit gelten folgende Einschränkungen für die Kopplungskonstantenprodukte:

$$\Re(\lambda_L^{11} \lambda_R^{*11}) < R_{max} \frac{\sqrt{2} G_F V_{ud} m_{LQ}^2 m_e}{m_\pi^2} (m_u + m_d) = 9,8 \times 10^{-8} \left(\frac{m_{LQ}}{100 GeV} \right)^2, \quad (3.10)$$

und

$$\Re(\lambda_L^{21} \lambda_R^{*21}) < R_{min} \frac{\sqrt{2} G_F V_{ud} m_{LQ}^2 m_\mu}{m_\pi^2} (m_u + m_d) = 1,0 \times 10^{-4} \left(\frac{m_{LQ}}{100 GeV} \right)^2. \quad (3.11)$$

Der relativ große Unterschied zwischen diesen beiden Werten resultiert aus dem Unterschied in den Leptonenmassen ($m_e/m_\mu \simeq 0,005$) und dem Verhältnis der R -Werte, $R_{max}/R_{min} \simeq 0,20$. Die verwendeten Konstanten können der Tabelle 3 des Anhangs entnommen werden.

Der Wert aus Gl. (3.11) stimmt mit dem in [1] berechneten Wert überein, der Wert aus Gl. (3.10) ist um etwas weniger als eine Größenordnung niedriger und stimmt mit dem aus Gl. (3.13) überein. In [1] wurde die Differenz zwischen R_{min} und R_{max} vernachlässigt und nur mit R_{min} gearbeitet.

Die LQs, die zu diesen Termen beitragen können (aus den Tabellen 4 und 5 des Anhangs ersichtlich), sind V_0 und $V_{1/2}$ (sowie $S_{1/2}$ und S_0 mit der Ersetzung 2.7), d.h.:

$$\Re(\lambda_{LV_0}^{11} \lambda_{RV_0}^{*11}) < 9,8 \times 10^{-8} \left(\frac{m_{LQ}}{100 GeV} \right)^2, \quad (3.12)$$

und

$$\Re(\lambda_{LV_{1/2}}^{11} \lambda_{RV_{1/2}}^{*11}) < 5,0 \times 10^{-7} \left(\frac{m_{LQ}}{100 GeV} \right)^2. \quad (3.13)$$

Der Unterschied in den beiden Werten resultiert aus dem unterschiedlichen Vorzeichen der 4-Fermionen-Vertizes (siehe Tabelle 4 des Anhangs). Um den Wert (3.13) zu erhalten muss in Gl. (3.10) R_{max} durch R_{min} ersetzt werden. Für $\lambda_{LV_0}^{21}\lambda_{RV_0}^{*21}$ und $\lambda_{LV_{1/2}}^{21}\lambda_{RV_{1/2}}^{*21}$ ist Gl. (3.11) zu verwenden (wieder unter Berücksichtigung der Vorzeichen).

Aus den Termen (2.27) (SM-Term) und (2.32) kann man ebenfalls Schranken ableiten, wenn man annimmt, dass die pseudoskalaren Terme verschwinden. Dieses Verbot von Kopplungen der Art $\lambda_L\lambda_R$ kann durch eine zur R -Parität analoge Symmetrie erzielt werden. Die Terme (2.27) und (2.32) werden entsprechend in (3.5) eingesetzt und man erhält (mit gleichem R_{max} , R_{min}) analog zu Gl. (3.7) und Gl. (3.8):

$$\frac{1}{\sqrt{2}G_F V_{ud} m_{LQ}^2} \Re(\lambda_L^{11}\lambda_L^{*11}) < R_{max} , \quad (3.14)$$

und

$$\frac{1}{\sqrt{2}G_F V_{ud} m_{LQ}^2} \Re(\lambda_L^{21}\lambda_L^{*21}) < R_{min} , \quad (3.15)$$

woraus sich ergibt:

$$\Re(\lambda_L^{11}\lambda_L^{*11}) < 3,4 \times 10^{-4} \left(\frac{m_{LQ}}{100\text{GeV}} \right)^2 , \quad (3.16)$$

bzw.:

$$|\lambda_L^{11}| < 1,8 \times 10^{-2} \left(\frac{m_{LQ}}{100\text{GeV}} \right) , \quad (3.17)$$

und

$$|\lambda_L^{21}| < 4,2 \times 10^{-2} \left(\frac{m_{LQ}}{100\text{GeV}} \right) . \quad (3.18)$$

Die hier wechselwirkenden LQs sind V_0 und V_1 (bzw. S_0 und S_1 unter Verwendung von Gl. 2.7 und Beachtung der Vorzeichen). Im Vergleich mit [1] wirkt sich auch hier die Verwendung unterschiedlicher R_{max} und R_{min} aus. Die Schranke (3.16) ist niedriger, stimmt aber bei Verwendung von R_{min} statt R_{max} mit [1] überein.

Im Folgenden werden die wechselwirkenden LQs nicht mehr aufgeführt; dies kann Tabelle 6 des Anhangs entnommen werden. Es werden nur noch Schranken wie in Gl. (3.16) angegeben.

3.2.2 $\pi^+ \rightarrow \bar{\mu}\nu_e$

Der Zerfall $\pi^+ \rightarrow \bar{\mu}\nu_e$, bei dem L verletzt wird, ist im SM verboten. Unter Verwendung von $BR(\pi^+ \rightarrow \bar{\mu}\nu_e) < 8 \times 10^{-3}$ [4] ergibt sich:

$$\Gamma(\pi^+ \rightarrow \bar{\mu}\nu_e) < 8 \times 10^{-3} \tau_\pi^{-1} = 2,0 \times 10^{-16} \text{ MeV} . \quad (3.19)$$

Daraus werden Schranken an mögliche LQ-Wechselwirkungen berechnet, die diesen Zerfall ermöglichen:

- Aus dem $(S \pm P)$ -Term (das ist der reine LQ-Term, der sich aus Gl. 2.29 ergibt) der Zerfallsrate Γ_M (Gl. 2.33) erhält man die Bedingung

$$\frac{|\lambda_L^{11}\lambda_R^{*21}|^2 m_\pi f_\pi^2 (m_\pi^2 - m_\mu^2)^2}{m_{LQ}^4 64\pi(m_u + m_d)^2} < \Gamma(\pi^+ \rightarrow \bar{\mu}\nu_e), \quad (3.20)$$

- und aus dem $(V \pm A)$ -Term (der reine LQ-Term, der aus Gl. 2.28 hervorgeht) der Zerfallsrate Γ_M (Gl. 2.33) erhält man

$$\frac{|\lambda_L^{11}\lambda_L^{*21}|^2 f_\pi^2 m_\mu^2 (m_\pi^2 - m_\mu^2)^2}{m_{LQ}^4 64\pi m_\pi^3} < \Gamma(\pi^+ \rightarrow \bar{\mu}\nu_e). \quad (3.21)$$

Für die Kopplungskonstantenprodukte ergibt sich damit:

$$|\lambda_L^{11}\lambda_R^{*21}| < 1,7 \times 10^{-3} \left(\frac{m_{LQ}}{100\text{GeV}} \right)^2, \quad \text{und} \quad |\lambda_L^{11}\lambda_L^{*21}| < 2,9 \times 10^{-2} \left(\frac{m_{LQ}}{100\text{GeV}} \right)^2. \quad (3.22)$$

Mit der Zerfallskonstante $f_\pi = (130,7 \pm 0,4)\text{MeV}$ zu rechnen, verursacht keine großen Ungenauigkeiten. Der größte Fehler ist in den Werten für die Quarkmassen (siehe Tabelle 2 des Anhangs) zu finden. Diese Schranken für die Produkte von Kopplungskonstanten sind nicht sehr niedrig und aus den in Kapitel 3.2.1 berechneten Werten, Gln. (3.17) und (3.18), besser ableitbar:

$$|\lambda_L^{11}\lambda_L^{*21}| \leq |\lambda_L^{11}||\lambda_L^{21}| < 7,7 \times 10^{-4} \left(\frac{m_{LQ}}{100\text{GeV}} \right)^2. \quad (3.23)$$

In [1] wurde statt mit τ_π^{-1} in Gl. (3.19) mit $\Gamma(\pi^+ \rightarrow \mu\nu_\mu)$ gerechnet. Aufgrund der in Gl. (3.20) durch \tilde{P} auftretenden Quarkmassen kommt der Hauptteil der Differenz zwischen dem hier berechneten Wert zu [1] zustande (dabei wurde die tabellarische Auflistung aus [1] verwendet, der im Text angegebene Wert weicht davon um mehr als die Hälfte nach unten ab). Sie beträgt etwa 10%. In [1] wurde $\tilde{P} = 7f_\pi m_\pi$ verwendet, was mit dem aktuellen Wert für f_π die erwähnte Abweichung von etwa 10% des hier verwendeten Wertes nach oben erklärt. Die Schranke für $|\lambda_L^{11}\lambda_L^{*21}|$ stimmt mit der aus [1] überein.

Die Gln. (3.20) und (3.21) lassen sich auch auf die Zerfälle $\pi^+ \rightarrow e\nu_\tau$, $\pi^+ \rightarrow e\nu_\mu$ (mit m_e statt m_μ) und $\pi^+ \rightarrow \mu\nu_\tau$ anwenden.

Das neutrale Pion zerfällt zu $(98,798 \pm 0,032)\%$ [4] durch die elektromagnetische Wechselwirkung in zwei Photonen. Damit hat es eine um acht Größenordnungen geringere Lebensdauer als die über schwache Wechselwirkung zerfallenden, geladenen Pionen. Da die Wurzel der Lebensdauer in die Schranken an die Kopplungskonstantenprodukte eingeht können hieraus keine starken Bedingungen abgeleitet werden. Dies gilt insbesondere für den Zerfall $\pi_0 \rightarrow \mu e$, aus dem man gute Schranken für nicht verschwindende LQD- und LLE-Terme erwarten könnte (siehe [44]).

3.3 Squark- und Slepton- Wechselwirkungen

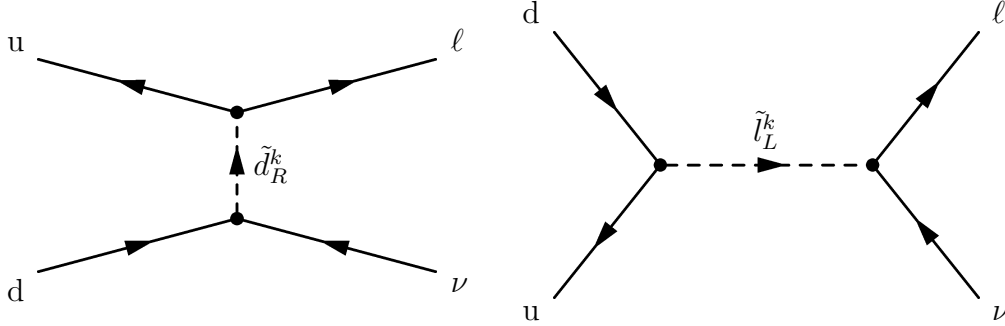


Abbildung 3.1: Squark- und Slepton-Wechselwirkung im Pionzerfall

Wie in [18] und ausführlicher in [44] durchgeführt, kann man auch die R -paritätsverletzenden Beiträge zum Pionzerfall durch Squarks und Slep-tonen berechnen. Die dafür relevanten Terme aus dem Superpotential sind $L_L Q_L \bar{D}_R$ und $L_L L_L \bar{E}_R$. Die daraus folgenden Kopplungskonstantenprodukte lassen sich einfach aus den Berechnungen für LQs extrahieren; es handelt sich gewissermaßen um einen Spezialfall der obigen Berechnungen. In vier-komponentiger Dirac-Schreibweise erhält man für den Lagrangian aus dem LQD- und dem LLE- Term:

$$\mathcal{L}_{LQD} = \lambda'_{ijk} [\tilde{\nu}_L^i \bar{d}_R^k d_L^j + \tilde{d}_L^j \bar{d}_R^k \nu_L^i + (\bar{d}_R^k)^* (\bar{\nu}_L^i)^c d_L^j - \tilde{e}_L^i \bar{d}_R^k u_L^j - \tilde{u}_L^j \bar{d}_R^k e_L^i - (\bar{d}_R^k)^* (\bar{e}_L^i)^c u_L^j] + h.c. . \quad (3.24)$$

$$\mathcal{L}_{LLE} = \lambda_{ijk} [\tilde{\nu}_L^i \bar{e}_R^k e_L^j + \tilde{e}_L^j \bar{e}_R^k \nu_L^i + (\bar{e}_R^k)^* (\bar{\nu}_L^i)^c e_L^j - (i \leftrightarrow j)] + h.c. \quad (3.25)$$

Zum Pionzerfall können zwei Prozesse beitragen, deren 4-Fermionen-Vertizes so aussehen:

$$\mathcal{L}_{\mathcal{R}P1} = \frac{1}{2} \frac{\lambda'^*_{ijk} \lambda'_{mnk}}{m_{\tilde{d}_R^k}^2} [\bar{\ell}^i \gamma^\mu P_L \nu^m] [\bar{u}^j \gamma_\mu P_L d^n] , \quad (3.26)$$

und

$$\mathcal{L}_{\mathcal{R}P2} = -\frac{\lambda'^*_{kjn} \lambda_{mki}}{m_{\tilde{l}_L^k}^2} [\bar{l}^i P_L \nu^m] [\bar{u}^j P_R d^n] . \quad (3.27)$$

Beide Terme finden sich (bis auf Konstanten) auch bei den 4-Fermionen-Vertizes der LQs (siehe Tabelle 5 des Anhangs). Aus Gl. (3.17) und Gl. (3.18) lassen sich daher direkt folgende Schranken ableiten:

$$|\lambda'_{11k}| < 0,026 \left(\frac{m_{\tilde{d}_R^k}}{100 \text{ GeV}} \right) , \quad (3.28)$$

$$|\lambda'_{21k}| < 0,059 \left(\frac{m_{\tilde{d}_R^k}}{100 \text{ GeV}} \right) , \quad (3.29)$$

und

$$|\lambda'_{11k}\lambda'_{21k}| < 1,5 \cdot 10^{-3} \left(\frac{m_{\tilde{d}_R^k}}{100\text{GeV}} \right)^2. \quad (3.30)$$

Dabei mussten die berechneten Kopplungen λ noch durch $\sqrt{2}$ geteilt werden um die entsprechenden Squark-Kopplungen zu erhalten (Faktor 1/2 in Gl. 3.26). Diese Schranken wurden in [18] und [44] ebenfalls berechnet; die Ergebnisse stimmen, abgesehen von marginalen Abweichungen (die Werte aus [18] wurden leicht verbessert) aufgrund neuerer experimenteller Werte, überein.

Das Pion kann auch durch Slepton-Austausch (LLE- **und** LQD- Term des Superpotentials) zerfallen (siehe Abbildung 3.1). Zur Berechnung von Schranken an $\Re(\lambda'_{k11}\lambda_{1k1}^*)$ und $\Re(\lambda'_{k11}\lambda_{2k2}^*)$ werden die Gln. (3.10) und (3.11) benutzt. Es muss hier folgende Modifikation vorgenommen werden: R_{max} wird durch R_{min} ersetzt und umgekehrt (dies folgt aus dem Vorzeichen in Gl. 3.27). Es ergibt sich:

$$\Re(\lambda'_{k11}\lambda_{1k1}^*) < 5,0 \times 10^{-7} \left(\frac{m_{\tilde{l}_R^k}}{100\text{GeV}} \right), \quad (3.31)$$

und mit analoger Rechnung aus (3.11):

$$\Re(\lambda'_{k11}\lambda_{2k2}^*) < 2,0 \times 10^{-5} \left(\frac{m_{\tilde{l}_R^k}}{100\text{GeV}} \right). \quad (3.32)$$

Die Berechnung dieser Kopplungskonstantenprodukte wurde ebenfalls in [44] durchgeführt, die Ergebnisse stimmen in etwa überein. Weiterhin ergeben sich aus Kapitel 3.2.2 folgende Schranken:

$$|\lambda'_{k11}\lambda_{1k2}^*| < 1,7 \times 10^{-3} \left(\frac{m_{\tilde{l}_R^k}}{100\text{GeV}} \right), \quad (3.33)$$

und

$$|\lambda'_{21k}\lambda_{11k}^*| < 5,8 \times 10^{-2} \left(\frac{m_{\tilde{d}_R^k}}{100\text{GeV}} \right). \quad (3.34)$$

Die Schranke an das Kopplungskonstantenprodukt in (3.33) kann besser aus Leptonenzerfällen gewonnen werden (siehe [53]). Die Schranke (3.34) stimmt mit der aus [44] überein, das Produkt der einzelnen Kopplungskonstanten (Gl. 3.23) liefert allerdings eine stärkere Einschränkung:

$$|\lambda'_{21k}\lambda_{11k}^*| < 1,5 \times 10^{-3} \left(\frac{m_{\tilde{d}_R^k}}{100\text{GeV}} \right). \quad (3.35)$$

Kapitel 4

Der K -Mesonenzerfall

4.1 Zerfälle geladener Kaonen

Die geladenen Kaonen ($K^+ = u\bar{s}$ und $K^- = \bar{u}s$) zerfallen zu $(63,51 \pm 0,18)\%$ in $\bar{\mu}\nu_\mu$ (bzw. $\mu\bar{\nu}_\mu$). Daneben existieren zahlreiche Zerfallskanäle, hauptsächlich solche mit einem oder mehreren Pionen im Endzustand.

4.1.1 Leptonische Zerfälle

Wie im Fall der Pionen ist auch bei den Kaonen der Zerfall in $e\nu_e$ im SM durch die Drehimpulserhaltung stark unterdrückt. Die Rechnungen sind analog zum Pionenzerfall: Die Gln. (3.7) und (3.8) bzw. (3.14) und (3.15) mit den entsprechenden Ersetzungen für den K -Zerfall. Die Quarkströme können Kapitel 2.3.2 mit den entsprechenden Ersetzungen für das Kaon entnommen werden. Daraus ergeben sich obere Schranken an $\Re(\lambda_L^{12}\lambda_R^{11*})$ und $\Re(\lambda_L^{22}\lambda_R^{21*})$ (LQs V_0 , und $V_{1/2}$ unter Berücksichtigung des Vorzeichens) und an $\Re(\lambda_L^{12}\lambda_L^{11*})$ und $\Re(\lambda_L^{22}\lambda_L^{21*})$ (LQs V_0 und V_1), aus denen wiederum die entsprechenden Schranken an SUSY-Kopplungskonstantenprodukte abgeleitet werden können. Aus [4] und [52] hat man:

$$R_{exp} = (2,44 \pm 0,22) \cdot 10^{-5}, \quad \text{und} \quad R_{th} = (2,472 \pm 0,002) \cdot 10^{-5}, \quad (4.1)$$

die übrigen Größen können Tabelle 2 des Anhangs entnommen werden. Für die Kopplungskonstantenprodukte erhält man damit:

$$\Re(\lambda_L^{12}\lambda_R^{11*}) < 9,2 \times 10^{-7} \left(\frac{m_{LQ}}{100GeV}\right)^2, \quad \Re(\lambda'_{k12}\lambda_{1k1}^*) < 1,2 \times 10^{-6} \left(\frac{m_{\tilde{l}_R^k}}{100GeV}\right)^2, \quad (4.2)$$

$$\Re(\lambda_L^{22}\lambda_R^{21*}) < 2,6 \times 10^{-4} \left(\frac{m_{LQ}}{100GeV}\right)^2, \quad \Re(\lambda'_{k12}\lambda_{2k2}^*) < 1,9 \times 10^{-4} \left(\frac{m_{\tilde{l}_R^k}}{100GeV}\right)^2, \quad (4.3)$$

$$\Re(\lambda_L^{12}\lambda_L^{11*}) < 2,8 \times 10^{-3} \left(\frac{m_{LQ}}{100GeV}\right)^2, \quad \Re(\lambda'_{11k}\lambda_{12k}^*) < 5,5 \times 10^{-3} \left(\frac{m_{\tilde{d}_R^k}}{100GeV}\right)^2, \quad (4.4)$$

$$\Re(\lambda_L^{22}\lambda_L^{21*}) < 3,7 \times 10^{-3} \left(\frac{m_{LQ}}{100\text{GeV}} \right)^2, \quad \Re(\lambda'_{21k}\lambda'^*_{22k}) < 7,4 \times 10^{-3} \left(\frac{m_{\tilde{d}_R^k}}{100\text{GeV}} \right)^2. \quad (4.5)$$

Die LQ-Schranken haben sich im Vergleich zu [1] leicht verändert, die ersten beiden Schranken sind niedriger. Die Schranke aus Gl. (4.4) hat sich nicht verändert und die Schranke Gl. (4.5) ist geringfügig schlechter. Dies kann nur an den verwendeten R -Werten liegen, die benutzten Größen gehen jedoch aus [1] nicht hervor. Die SUSY-Schranken, Gl. (4.2) und Gl. (4.3), stimmen in etwa mit denen aus [44] überein, der Unterschied beruht auf den verwendeten Werten für die Quarkmassen (die Schranken aus [44] sind etwas niedriger). Hier wurden die von der *particle data group* [4] angegebenen oberen Grenzen für die Quarkmassen eingesetzt (siehe Tabelle 2 des Anhangs), um eine möglichst konservative Abschätzung zu erhalten.

Auch beim K -Meson ist der L -verletzende Zerfall in ein Myon und ein Elektroneneutrino via LQ-Austausch möglich (siehe Kapitel 3.2.2). Laut [4] ist:

$$\frac{\Gamma(K \rightarrow \mu\nu_e)}{\Gamma(K \rightarrow \mu\nu_\mu)} < 6,31 \times 10^{-3}. \quad (4.6)$$

Durch die Verwendung dieses Verhältnis wird das Erscheinen der Zerfallskonstante f_K vermieden. Nun werden einmal nur die pseudoskalaren LQ-Beiträge ($|\mathcal{M}_2|^2$, siehe Gl. 2.29) und dazu separat nur die SM-ähnlichen LQ-Beiträge ($|\mathcal{M}_1|^2$, siehe Gl. 2.28) zur Zerfallsrate Γ_M für $K \rightarrow \mu\nu_e$ betrachtet. Wird für den Zerfall $K \rightarrow \mu\nu_\mu$ nur der SM-Term (für $|\mathcal{M}_{SM}|^2$: siehe Gl. 2.27) berücksichtigt, so erhält man für die beiden LQ-Beiträge zu $K \rightarrow \mu\nu_e$ folgende Bedingungen:

$$\frac{|\lambda_L^{12}\lambda_L^{21*}|^2}{8m_{LQ}^4 G_F^2 |V_{us}|^2}, \quad \frac{|\lambda_L^{12}\lambda_R^{21*}|^2 m_K^4}{8m_{LQ}^4 G_F^2 |V_{us}|^2 m_\mu^2 (m_u + m_s)^2} < 6,31 \times 10^{-3}. \quad (4.7)$$

Daraus ergibt sich:

$$|\lambda_L^{12}\lambda_L^{21*}| < 5,8 \times 10^{-3} \left(\frac{m_{LQ}}{100\text{GeV}} \right)^2, \quad |\lambda'_{11k}\lambda'^*_{22k}| < 1,2 \times 10^{-2} \left(\frac{m_{\tilde{d}_R^k}}{100\text{GeV}} \right)^2, \quad (4.8)$$

$$|\lambda_L^{12}\lambda_R^{21*}| < 4,0 \times 10^{-4} \left(\frac{m_{LQ}}{100\text{GeV}} \right)^2, \quad |\lambda'_{k12}\lambda'^*_{1k2}| < 4,0 \times 10^{-4} \left(\frac{m_{\tilde{d}_R^k}}{100\text{GeV}} \right)^2. \quad (4.9)$$

Die LQ-Schranken haben sich im Vergleich zu [1] verbessert (beide haben sich etwa halbiert). Die SUSY-Schranke (4.9) ist gegenüber [44] um etwas über die Hälfte niedriger. Aus leptonischen K -Zerfällen berechenbare Schranken an das Produkt $|\lambda'_{ijk}\lambda'^*_{lmn}|$ sind jedoch deutlich schwächer als die in [53] aus Leptonenzerfällen berechneten Schranken.

4.1.2 Semileptonische Zerfälle

Das Kaon kann semileptonisch in ein Pion und zwei geladene Leptonen zerfallen ($K \rightarrow \pi e \bar{e}, \pi \mu \bar{\mu}, \pi \mu \bar{e}$ und $\pi e \bar{\mu}$, siehe Abb. 4.1). Innerhalb des Standardmodells ist dies in niedrigster Ordnung nicht erlaubt (aufgrund der FCNC-Unterdrückung).

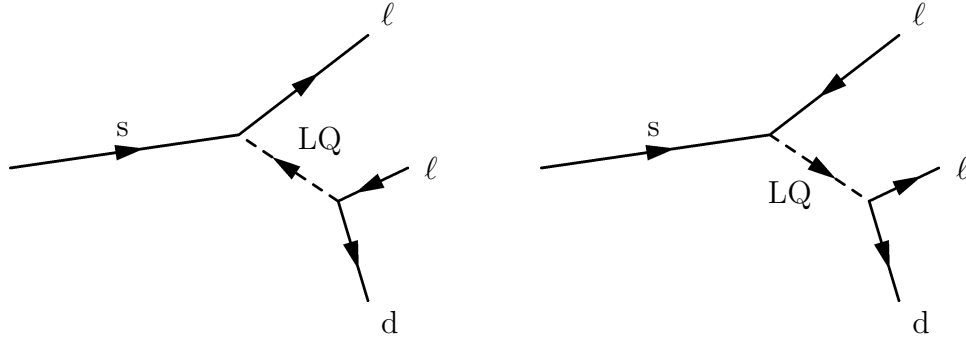


Abbildung 4.1: s -Quarkzerfall via LQ -Austausch

Zunächst soll nur eine Abschätzung der $|\lambda_L \lambda_L^*|$ -Schranke gewonnen werden, ehe auf pseudoskalare Beiträge eingegangen wird, d.h. es wird zunächst angenommen, dass sämtliche $(S \pm P)$ -Beiträge verschwinden. Dazu wird von ungebrochener Isospinsymmetrie ausgegangen:

$$\langle K^+ | \tilde{O} | \pi^0 \rangle = \frac{1}{\sqrt{2}} \langle K^+ | \tilde{O} | \pi^+ \rangle, \quad (4.10)$$

wobei \tilde{O} ein Isospin-1/2-Operator ist. Laut [4] ist

$$\frac{BR(K \rightarrow \pi^+ \mu \bar{\mu})}{BR(K \rightarrow \pi^0 \bar{\mu} \nu_\mu)} < 2,3 \times 10^{-6}, \quad \text{und} \quad \frac{BR(K \rightarrow \pi^+ e \bar{e})}{BR(K \rightarrow \pi^0 \bar{e} \nu_e)} < 5,9 \times 10^{-6}. \quad (4.11)$$

Die beiden Zerfallsraten lassen sich als Produkt der Kopplungen, der Quarkströme und kinetischer Terme \mathcal{T} darstellen:

$$\Gamma(K \rightarrow \pi^+ \ell \bar{\ell}) = \frac{|\lambda_L^{22} \lambda_L^{21*}|^2}{m_{LQ}^4} \langle K^+ | \bar{s} \gamma^\mu \gamma^5 d | \pi^+ \rangle^2 \mathcal{T}_{K \rightarrow \pi^+ \ell \bar{\ell}}, \quad (4.12)$$

und

$$\Gamma(K \rightarrow \pi^0 \bar{\ell} \nu) = 8G_F^2 |V_{su}|^2 \langle K^+ | \bar{s} \gamma^\mu \gamma^5 u | \pi^0 \rangle^2 \mathcal{T}_{K \rightarrow \pi^0 \bar{\ell} \nu}. \quad (4.13)$$

Vernachlässigt man sämtliche Leptonenmassen, was einen Fehler von weniger als einem Faktor zwei bedeutet, da $BR(K \rightarrow \pi^0 \bar{e} \nu) \simeq 1.5 BR(K \rightarrow \pi^0 \bar{\mu} \nu)$ [4], so ist $\mathcal{T}_{K \rightarrow \pi^+ \ell \bar{\ell}}$ gleich $\mathcal{T}_{K \rightarrow \pi^0 \bar{\ell} \nu}$. Damit erhält man unter Benutzung von Gl. (4.10) und Gl. (4.11):

$$\frac{|\lambda_L^{22} \lambda_L^{21*}|^2}{4G_F^2 |V_{su}|^2 m_{LQ}^4} < 2,3 \times 10^{-6}, \quad \text{und} \quad \frac{|\lambda_L^{12} \lambda_L^{11*}|^2}{4G_F^2 |V_{su}|^2 m_{LQ}^4} < 5,9 \times 10^{-6}, \quad (4.14)$$

woraus sich ergibt:

$$|\lambda_L^{22}\lambda_L^{21*}| < 7,8 \times 10^{-5} \left(\frac{m_{LQ}}{100\text{GeV}} \right)^2, \quad |\lambda'_{2k2}\lambda'^*_{2k1}| < 1,6 \times 10^{-4} \left(\frac{m_{\bar{u}_L^k}}{100\text{GeV}} \right)^2, \quad (4.15)$$

und

$$|\lambda_L^{12}\lambda_L^{11*}| < 1,5 \times 10^{-4} \left(\frac{m_{LQ}}{100\text{GeV}} \right)^2, \quad |\lambda'_{1k2}\lambda'^*_{1k1}| < 3,0 \times 10^{-4} \left(\frac{m_{\bar{u}_L^k}}{100\text{GeV}} \right)^2. \quad (4.16)$$

Die LQ-Schranke (4.15) beträgt etwa 25% der in [1] berechneten Schranke, (4.16) hat sich gegenüber [1] etwa halbiert.

Abgesehen von diesem Beitrag, haben wir allerdings noch skalare und tensorielle Beiträge. Diese tauchen nur bei den skalaren Wechselwirkungen auf, sie werden dort durch die Fierz-Transformation (Kapitel 2.3.1) generiert. Um sie zu berücksichtigen, muss zunächst etwas Stromalgebra betrieben werden.

Stromalgebra beim semileptonischen K-Zerfall

Mit [54]

$$\langle \pi^0(p_\pi) | \bar{s} \gamma_\mu u | K^+(p_K) \rangle = \frac{1}{\sqrt{2}} (f_+ p_\mu + f_- q_\mu), \quad (4.17)$$

wobei f_+ und f_- nur von q^2 abhängige Formfaktoren sind und

$$p = p_K + p_\pi, \quad q = p_K - p_\pi, \quad (4.18)$$

ergibt sich:

$$\langle \pi^0(p_\pi) | \bar{s} u | K^+(p_K) \rangle = \frac{p \cdot q}{m_u - m_s} \frac{f_0}{\sqrt{2}}. \quad (4.19)$$

Dabei wurde Gl. (4.17) mit q^μ multipliziert und die Dirac-Gl. angewendet. Außerdem wurde der Formfaktor f_0 eingeführt:

$$f_0 = f_+ + \frac{q^2}{p \cdot q} f_-. \quad (4.20)$$

Für das Tensor-Matrixelement gilt allgemein [55]:

$$\langle \pi^0(p_\pi) | \bar{s} \sigma_{\mu\nu} u | K^+(p_K) \rangle = \frac{-i}{\sqrt{2}} \mathcal{B} \cdot (p_\mu q_\nu - p_\nu q_\mu), \quad (4.21)$$

mit

$$\mathcal{B} = c_-(q^2) \frac{f_0(q^2)}{m_s - m_u} + (m_s + m_u) \frac{f_-(q^2)}{p \cdot q}. \quad (4.22)$$

$c_- = c_-(q^2)$ wird durch

$$\langle \pi^0(p_\pi) | i[\bar{s}(\partial_\mu u) - (\partial_\mu \bar{s})u] | K^+(p_K) \rangle = (c_+ p_\mu + c_- q_\mu) \langle \pi^0(p_\pi) | \bar{s}u | K^+(p_K) \rangle \quad (4.23)$$

definiert, wobei gilt:

$$c_+ = -\frac{1}{p \cdot q} (m_s^2 - m_u^2 + c_- q^2). \quad (4.24)$$

Die invariante Amplitude $\mathcal{M}(K^+ \rightarrow \pi^0 \ell^+ \nu_\ell)$

Die invariante Amplitude unter Berücksichtigung nicht verschwindender skalarer, vektorieller und tensorieller Formfaktoren ist in allgemeiner Form [19]:

$$\mathcal{M}(K^+ \rightarrow \pi^0 \ell^+ \nu_\ell) = G_F V_{su} \left[-(\bar{\nu}_L \gamma_\mu \ell_L)(f_+ p^\mu + f_- q^\mu) + 2m_K (\bar{\nu}_L \ell_R) f_S + i \frac{f_T}{m_K} (\bar{\nu}_L \gamma_\mu \gamma_\nu \ell_R) p^\mu q^\nu \right]. \quad (4.25)$$

Der skalare und der tensorielle Formfaktor sind dabei so definiert:

$$f_S = \frac{1}{\sqrt{2}m_K} \langle \pi^0(p_\pi) | \bar{s}u | K^+(p_K) \rangle \quad \text{und} \quad f_T = -m_K \mathcal{B}. \quad (4.26)$$

Anmerkung: Im SM sind f_S und f_T in führender Ordnung gleich null, während dies bei LQ-Kopplungen nicht der Fall sein muss. Durch die Kontraktion des vektoriellen Leptonenstromes (1. Summand in Gln. 4.25) unter Verwendung der Dirac-Gln. (die Neutrinomasse wird vernachlässigt) erhält man $-f_-(\bar{\nu}_L \gamma_\mu \ell_L) q^\mu = f_- m_\ell (\bar{\nu}_L \ell_R)$, und somit wieder einen skalaren Term:

$$f_S^{SM} = \frac{m_\ell}{2m_K} f_-. \quad (4.27)$$

Um eine Abschätzung der skalaren und tensoriellen Beiträge zu erhalten wird hier ein einfaches Verfahren gewählt (siehe nächster Abschnitt): Es wird das Verhältnis der Formfaktoren $\frac{f_S}{f_+}$ und $\frac{f_T}{f_+}$ gebildet, ohne die Zerfallsrate Γ_M konkret zu berechnen. Separat werden jeweils nur die f_S und die f_T -Beiträge (übernächster Abschnitt) betrachtet. Die Leptonenmassen werden dabei vernachlässigt.

Einschub: Um die Zerfallsrate Γ_M zu berechnen muss das Matrixelement (4.25) quadriert werden:

$$\begin{aligned} |\mathcal{M}|^2 &= G_F^2 |V_{su}|^2 \{ |\mathcal{M}_{f_+ \& f_-}|^2 + |\mathcal{M}_{f_S}|^2 + |\mathcal{M}_{f_T}|^2 \\ &\quad + 2\Re(\mathcal{M}_{f_+ \& f_-}^* \mathcal{M}_{f_S}) + 2\Re(\mathcal{M}_{f_+ \& f_-}^* \mathcal{M}_{f_T}) + 2\Re(\mathcal{M}_{f_S}^* \mathcal{M}_{f_T}) \}. \end{aligned} \quad (4.28)$$

Die einzelnen Terme lassen sich mit der Dirac-Gln. und den Spurregeln für Gamma-Matrizen berechnen (p_ν ist der Viererimpuls des Neutrinos, für p_ℓ gilt Entsprechendes, die Leptonenmassen werden vernachlässigt):

$$\begin{aligned} |\mathcal{M}_{f_+ \& f_-}|^2 &= \frac{1}{4} \text{Tr}[\not{p}_\nu (f_+ \not{p} + f_- \not{q})(1 - \gamma^5) \not{p}_\ell (1 + \gamma^5)(f_+ \not{p} + f_- \not{q})] \\ &= 2f_+^2 (2(p_\nu \cdot p)(p_\ell \cdot p) - p^2(p_\nu \cdot p_\ell)), \end{aligned} \quad (4.29)$$

$$|\mathcal{M}_{f_S}|^2 = 4m_K^2 f_S^2 \cdot \frac{1}{4} \text{Tr}[\not{p}_\nu(1 + \gamma^5) \not{p}_\ell(1 - \gamma^5)] = 4m_K^2 f_S^2 q^2, \quad (4.30)$$

$|\mathcal{M}_{f_T}|^2$, $2\Re(\mathcal{M}_{f_+ \& f_-}^* \mathcal{M}_{f_S})$, $2\Re(\mathcal{M}_{f_+ \& f_-}^* \mathcal{M}_{f_T})$ und $2\Re(\mathcal{M}_{f_S}^* \mathcal{M}_{f_T})$ sind analog berechenbar. Diese Terme können gemäß Kapitel 2.3.3 im dreidimensionalen Phasenraum integriert werden, um die Zerfallsrate Γ_M zu erhalten.

Zuerst der skalare Term: Mit den Gln. (4.19), (4.20) und (4.26) erhält man (bei gleichen Kopplungen im f_S und im f_+ -Faktor des Matrixelements):

$$\left| \frac{f_S}{f_+(0)} \right| = \frac{m_K^2 - m_\pi^2}{2(m_s - m_u)m_K}. \quad (4.31)$$

Dabei wurden Terme proportional zu q^2 vernachlässigt. Unter Verwendung von [4]

$$\left[\frac{f_S}{f_+(0)} \right]_{exp} = 0,045 \pm 0,033 \quad (4.32)$$

kann nun eine Abschätzung der LQ-Kopplungen gewonnen werden, der Standardmodellbeitrag f_S^{SM} wird dabei vernachlässigt. Laut [4] ist $\frac{f_-(0)}{f_+(0)} = -0,096 \pm 0,043$ und da zusätzlich das Verhältnis $\frac{m_\ell}{m_K}$ eingeht, ist diese Näherung gerechtfertigt.

Um die invariante Amplitude für LQ-Wechselwirkungen zu erhalten muss in Gl.(4.25) $G_F V_{su}$ durch $\frac{\lambda_{LQ} \lambda_{LQ}^*}{2\sqrt{2}m_{LQ}^2}$ ersetzt werden. Für den ersten Term aus (4.25) tragen beide λ s den Index L, beim f_S und f_T -Summanden ist die Händigkeit unterschiedlich. Folglich kann man (mit Gl. 4.31) fordern:

$$\frac{|\lambda_L^2 \lambda_R^{m1*}|}{m_{LQ}^2} \left(\frac{4G_F V_{su}}{\sqrt{2}} \right)^{-1} \frac{m_K^2 - m_\pi^2}{2(m_s - m_u)m_K} \leq \left[\frac{f_S}{f_+(0)} \right]_{exp}. \quad (4.33)$$

Daraus ergibt sich:

$$|\lambda_L^2 \lambda_R^{m1*}| \leq 3,8 \times 10^{-3} \left(\frac{m_{LQ}}{100 \text{ GeV}} \right)^2. \quad (4.34)$$

In [55] wurde diese Rechnung ebenfalls durchgeführt. Die Ergebnisse unterscheiden sich um einen Faktor 2, da in [55] der 4-Fermionen-Vertex der LQ-Wechselwirkung einen Faktor $\frac{1}{2}$ im Vergleich zu Gl. (2.4) aufweist (dort wurden skalare LQs betrachtet).

Nun der tensorielle Term: Dieser Term wurde in [55] ausführlich behandelt. Hier werden die Ergebnisse kurz zusammengefasst. $c_-(q^2)$ (siehe Gl. 4.22) ist im Modell der Mesonendominanz (siehe Abb. 4.2):

$$c_- = \frac{f_+}{f_0} \frac{m_s - m_u}{m_{K^*}} - \frac{f_-}{f_0} \frac{m_s^2 - m_u^2}{p \cdot q}. \quad (4.35)$$

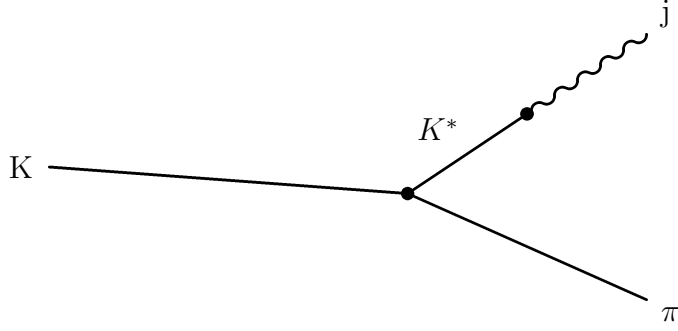


Abbildung 4.2: Beitrag angeregter K-Zustände zum hadronischen Matrixelement des Stromes j (faktoriisiert aus dem leptonen Teil des Zerfalls $K^+ \rightarrow \pi^0 \ell^+ \nu_\ell$). Das Symbol K^* steht für K^* , $K_0^*(0^+)$.

Es wurde dabei der Beitrag angeregter K-Zustände (K^* und K_0^*) zu $K^+ \rightarrow \pi^0 \ell^+ \nu_\ell$ betrachtet. Man erhält dabei für das hadronische Matrixelement:

$$\langle \pi^0(p_\pi) | \bar{s} \sigma_{\mu\nu} u | K^+(p_K) \rangle = \frac{-i f_+(q^2)}{\sqrt{2} m_{K^*}} (p_\mu q_\nu - p_\nu q_\mu) \approx \frac{-i f_+(0)}{\sqrt{2} m_{K^*}} (p_\mu q_\nu - p_\nu q_\mu), \quad (4.36)$$

wobei im letzten Schritt die Abhängigkeit von f_+ von q^2 vernachlässigt wurde. Aus den Gln. (4.26) und (4.36) erhält man damit analog zur Berechnung der Schranke beim skalaren Formfaktor (Gl. 4.33):

$$\frac{|\lambda_L^2 \lambda_R^{m1*}|}{m_{LQ}^2} \left(\frac{4G_F V_{su}}{\sqrt{2}} \right)^{-1} \frac{m_K}{4m_{K^*}} \leq \left[\frac{f_T}{f_+(0)} \right]_{exp}. \quad (4.37)$$

Mit [4]

$$\frac{f_T}{f_+(0)} (K_{e3}^+) = 0,31 \pm 0,25, \quad \frac{f_T}{f_+(0)} (K_{\mu 3}^+) = 0,02 \pm 0,12, \quad (4.38)$$

folgt daraus:

$$|\lambda_L^{12} \lambda_R^{11*}| \leq 0,29 \left(\frac{m_{LQ}}{100 \text{ GeV}} \right)^2, \quad |\lambda_L^{22} \lambda_R^{21*}| \leq 0,074 \left(\frac{m_{LQ}}{100 \text{ GeV}} \right)^2. \quad (4.39)$$

Diese Schranken sind schwächer als die Schranke aus Gl. (4.34). Sie werden daher im Weiteren nicht mehr betrachtet. Sie stimmen, bis auf den erwähnten Faktor zwei, mit den in [55] berechneten Schranken überein. Die aus den skalaren Beiträgen zu semileptonischen K-Zerfällen berechenbaren Schranken an \mathcal{R}_P -Beiträge zur supersymmetrischen Lagrangefunktion sind mit der Schranke aus Gl. (4.34) identisch:

$$|\lambda'_{k12} \lambda_{ikj}^*| \leq 3,8 \times 10^{-3} \left(\frac{m_{\tilde{l}_k}}{100 \text{ GeV}} \right)^2 \quad (4.40)$$

Diese Schranke ist allerdings vergleichsweise schwach und aus anderen Prozessen besser berechenbar (siehe [53] und [44]).

4.2 Zerfälle neutraler Kaonen

Wenn man die CP-Verletzung im neutralen K -System vernachlässigt, dann sind die neutralen CP-Eigenzustände im Kaonensystem K_L^0 und K_S^0 ($K^0 = \bar{s}d$):

$$|K_S^0\rangle = \sqrt{\frac{1}{2}} (|K^0\rangle + |\bar{K}^0\rangle) , \quad |K_L^0\rangle = \sqrt{\frac{1}{2}} (|K^0\rangle - |\bar{K}^0\rangle) . \quad (4.41)$$

Im SM sind Zerfälle der Art $K_L \rightarrow \mu\bar{\mu}, e\bar{e}, \mu\bar{e}$ über FCNC (und Verletzung von L) in niedrigster Ordnung verboten (Letzterer ist in allen Ordnungen verboten), wohingegen LQs diese Art von Zerfällen erlauben. Die experimentellen Schranken an diese Zerfälle sind [4]:

$$\begin{aligned} BR(K_L \rightarrow e^\pm \mu^\mp) &< 4,7 \cdot 10^{-12} , \quad BR(K_L \rightarrow e\bar{e}) < 9_{-4}^{+6} \cdot 10^{-12} , \\ BR(K_L \rightarrow \mu\bar{\mu}) &< (7,25 \pm 0,16) \cdot 10^{-9} . \end{aligned} \quad (4.42)$$

Mit $\tau_K = 5,17 \cdot 10^{-8} s$ [4] gilt für den Zerfall $\Gamma(K_L \rightarrow e^\pm \mu^\mp)$ (mit Gl. 2.33, unter ausschließlicher Berücksichtigung der $(V \pm A)$ -Beiträge):

$$\Gamma(K_L \rightarrow e^\pm \mu^\mp)_A = \frac{(m_K^2 - m_\mu^2)^2}{64\pi m_K^3} \frac{|\lambda_L^{i2} \lambda_L^{*m1}|^2}{m_{LQ}^4} f_K^2 m_\mu^2 < 5,98 \times 10^{-26} \text{ MeV} . \quad (4.43)$$

Dabei ist: $i = (1;2)$ und $m = (2;1)$. Die pseudoskalaren Beiträge (unter Annahme einer möglichen, diese Beiträge verbotenden, Symmetrie) sowie die Elektronenmasse wurden vernachlässigt. Genauso lassen sich die Zerfälle in zwei Elektronen bzw. zwei Myonen mit Gl. (2.33) berechnen:

$$\Gamma(K_L \rightarrow e\bar{e})_A = \frac{1}{32\pi} \frac{|\lambda_L^{12} \lambda_L^{*11}|^2}{m_{LQ}^4} f_K^2 m_e^2 m_K < 1,15 \times 10^{-25} \text{ MeV} . \quad (4.44)$$

Aus diesen Überlegungen erhält man folgende Bedingungen an die Kopplungskonstantenprodukte:

$$K_L \rightarrow \mu^\pm e^\mp : \quad |\lambda_L^{i2} \lambda_L^{*m1}| < 9,7 \times 10^{-8} \left(\frac{m_{LQ}}{100 \text{ GeV}} \right)^2 , \quad (4.45)$$

$$K_L \rightarrow e\bar{e} : \quad |\lambda_L^{12} \lambda_L^{*11}| < 1,9 \times 10^{-5} \left(\frac{m_{LQ}}{100 \text{ GeV}} \right)^2 , \quad (4.46)$$

und

$$K_L \rightarrow \mu\bar{\mu} : \quad |\lambda_L^{22} \lambda_L^{*21}| < 2,7 \times 10^{-6} \left(\frac{m_{LQ}}{100 \text{ GeV}} \right)^2 . \quad (4.47)$$

Im Vergleich zu [1] haben sich die Schranken leicht verbessert.

Die entsprechenden Schranken an Produkte supersymmetrischer Kopplungskonstanten erhält man durch Multiplikation der LQ-Schranken (Gln. 4.44-6) mit zwei, das Austauscheteilchen ist ein u-Squark:

$$K_L \rightarrow \mu^\pm e^\mp : \quad |\lambda'_{1k(1/2)} \lambda_{2k(2/1)}^*| < 1,9 \times 10^{-7} \left(\frac{m_{SUSY}}{100 \text{ GeV}} \right)^2 , \quad (4.48)$$

$$K_L \rightarrow e\bar{e} : \quad |\lambda'_{2k1}\lambda'^*_{1k1}| < 3,7 \times 10^{-5} \left(\frac{m_{SUSY}}{100 \text{ GeV}} \right)^2, \quad (4.49)$$

und

$$K_L \rightarrow \mu\bar{\mu} : \quad |\lambda'_{2k2}\lambda'^*_{1k2}| < 5,4 \times 10^{-6} \left(\frac{m_{SUSY}}{100 \text{ GeV}} \right)^2. \quad (4.50)$$

Die Schranke (4.47) ist mit der in [44] berechneten Schranke vergleichbar.

Nun wird der pseudoskalare Term P betrachtet: Die Berechnungen sind analog zu denen im vorangegangenen Abschnitt und man erhält:

$$\Gamma(K_L \rightarrow e^\pm \mu^\mp)_P = \frac{|\lambda_L^{i2}\lambda_R^{*m1}|^2 (m_K^2 - m_\mu^2)^2 f_K^2 m_K}{m_{LQ}^4 64\pi(m_s + m_d)^2} < 5,98 \times 10^{-26} \text{ MeV}, \quad (4.51)$$

und

$$\Gamma(K_L \rightarrow e\bar{e})_P = \frac{|\lambda_L^{12}\lambda_R^{*11}|^2 m_K^5 f_K^2}{m_{LQ}^4 64\pi(m_s + m_d)^2} < 1,15 \times 10^{-25} \text{ MeV}. \quad (4.52)$$

Daraus erhält man wiederum Schranken an die Kopplungskonstantenprodukte:

$$K_L \rightarrow \mu^\pm e^\mp : \quad |\lambda_L^{i2}\lambda_R^{*m1}|, |\lambda'_{k12}\lambda^*_{k12/k21}| < 6,9 \times 10^{-9} \left(\frac{m_{LQ}/\tilde{\nu}_k}{100 \text{ GeV}} \right)^2, \quad (4.53)$$

$$K_L \rightarrow e\bar{e} : \quad |\lambda_L^{12}\lambda_R^{*11}|, |\lambda'_{k12}\lambda^*_{k11}| < 9,1 \times 10^{-9} \left(\frac{m_{LQ}/\tilde{\nu}_k}{100 \text{ GeV}} \right)^2, \quad (4.54)$$

und

$$K_L \rightarrow \mu\bar{\mu} : \quad |\lambda_L^{22}\lambda_R^{*21}|, |\lambda'_{k12}\lambda^*_{k22}| < 2,8 \times 10^{-7} \left(\frac{m_{LQ}/\tilde{\nu}_k}{100 \text{ GeV}} \right)^2. \quad (4.55)$$

Die LQ-Schranken haben sich deutlich gegenüber [1] verbessert (bei Gl. 4.54. um etwa eine Größenordnung). Die SUSY-Schranke (4.52) stimmt mit der Schranke aus [44] überein.

Kapitel 5

Der D -Mesonenzerfall

D -Mesonen haben $C = \pm 1$ ($C = \text{charm}$): $D^+ = c\bar{d}$ ($D_s^+ = c\bar{s}$) und $D^0 = c\bar{u}$. Die geladenen D -Mesonen haben sowohl (semi-)leptonische Zerfallskanäle, als auch rein hadronische, wobei mit $(59 \pm 7)\%$ [4] der inklusive Zerfall in \bar{K}^0 bzw. K^0 dominiert. Beim D^0 dominiert der inklusive Zerfall in K^- mit $(53 \pm 4)\%$ [4].

5.1 Zerfälle geladener D -Mesonen

Vorab: Da $(V \pm A)$ -LQ-Wechselwirkungen (Gl. 2.3) bis auf die unterschiedlichen Konstanten dem Standardmodellterm (Gl. 2.5) entsprechen, können unter der Annahme, dass die übrigen LQ-Wechselwirkungen durch eine Symmetrie verboten sind, einfach Schranken an die zugehörigen Kopplungskonstantenprodukte gewonnen werden:

Aus dem Streuprozess $\nu_\mu + d \rightarrow \mu + c$ kann V_{cd} bestimmt werden, aus $D^0 \rightarrow K^- e^+ \nu_e$ das CKM-Matrixelement V_{cs} . Unter der einfachen (und konservativen) Annahme, dass die LQ-Beiträge geringer sind, als die SM-Beiträge, kann man daher für c , d , μ und ν_μ -Vertizes fordern:

$$|\lambda_L^{21} \lambda_L^{22*}| < \frac{4G_F}{\sqrt{2}} |V_{cd}| m_{LQ}^2 = 7,4 \times 10^{-2} \left(\frac{m_{LQ}}{100 \text{GeV}} \right)^2 \quad (5.1)$$

und für c , s , e , ν_e -Vertizes:

$$|\lambda_L^{22} \lambda_L^{22*}| < \frac{4G_F}{\sqrt{2}} |V_{cs}| m_{LQ}^2 = 3,3 \times 10^{-1} \left(\frac{m_{LQ}}{100 \text{GeV}} \right)^2. \quad (5.2)$$

Diese Schranken wurden ebenfalls in [1] berechnet, die Ergebnisse stimmen, abgesehen von einer Verbesserung der Werte der CKM-Matrixelemente (dies führt zu keiner starken Abweichung), überein und können für beliebige Leptonenindizes verallgemeinert werden.

Beim D -Meson ist, wie bei $\pi^+ \rightarrow e^+ \nu$, der Zerfall $D^+ \rightarrow \mu^+ \nu$ durch die Drehimpulserhaltung unterdrückt [4]:

$$BR(D^+ \rightarrow \mu^+ \nu) = (8_{-5}^{+17}) \times 10^{-4}. \quad (5.3)$$

Mit Γ_M (Gl. 2.33) sind die LQ-Beiträge (unter Verwendung der Interferenzterme I zwischen SM und $A(V \pm A)$ - bzw. $P(S \pm P)$ -LQ-Wechselwirkung und unter der Annahme, dass V_{cd} reell ist):

$$\Gamma(D^+ \rightarrow \mu^+ \nu_\mu)_{A_I} = \Gamma_{SM} + m_\mu^2(m_D^2 - m_\mu^2)^2 |\tilde{A}|^2 G_F V_{cd} \frac{\sqrt{2}}{4\pi m_D^3} \frac{\Re(\lambda_L \lambda_L^*)}{m_{LQ}^2}, \quad (5.4)$$

und

$$\Gamma(D^+ \rightarrow \mu^+ \nu_\mu)_{P_I} = \Gamma_{SM} + m_\mu(m_D^2 - m_\mu^2)^2 \tilde{P} \tilde{A}^* G_F V_{cd} \frac{\sqrt{2}}{4\pi m_D^3} \frac{\Re(\lambda_L \lambda_R^*)}{m_{LQ}^2}. \quad (5.5)$$

Der Interferenzterm (5.4) ist, wie der SM-Term, durch die Forderung der Drehimpulserhaltung unterdrückt.

Für BR_{SM} gilt (ohne Korrekturen höherer Ordnung, Berechnungsgrundlage ist der reine SM-Term aus Gl. 2.33) in guter Übereinstimmung mit experimentellen Daten [4]:

$$BR_{SM} = 8_{-10}^{+14} \times 10^{-4} \quad (BR_{exp} = 8_{-5}^{+17} \times 10^{-4}) . \quad (5.6)$$

Die Lebensdauer des D -Mesons kann Tabelle 2 des Anhangs entnommen werden. Der Fehler des SM-Term wurde mit dem Gaußschen Fehlerfortpflanzungsgesetz aus der Unsicherheit in f_{D^+} (siehe Tabelle 2 des Anhangs) berechnet: $\Delta_{SM} = BR_{SM} \frac{2\Delta f_{D^+}}{f_{D^+}}$. Eine obere Schranke für die Größe des zweiten (LQ)-Summanden in den Gln. (5.4) bzw. (5.5) ist daher:

$$\Delta_{D^+}(max) = \frac{BR_{exp}}{\tau_{D^+}} - \frac{BR_{SM}}{\tau_{D^+}} + \frac{1}{\tau_{D^+}} \sqrt{(\Delta_{SM}(max))^2 + (\Delta_{exp}(max))^2} = 1,4 \times 10^{-12} MeV . \quad (5.7)$$

Es wurden jeweils die maximalen Abweichungen $\Delta_{SM}(max)$ ($\Delta_{exp}(max)$) aus (5.6) eingesetzt, um eine möglichst konservative Abschätzung zu erhalten. Für die LQ-Kopplungen impliziert dies:

$$\Re(\lambda_L^{21} \lambda_L^{22*}) < 1,0 \times 10^{-1} \left(\frac{m_{LQ}}{100 GeV} \right)^2, \quad (5.8)$$

und

$$\Re(\lambda_L^{21} \lambda_R^{22*}) < 4,3 \times 10^{-3} \left(\frac{m_{LQ}}{100 GeV} \right)^2. \quad (5.9)$$

Die Schranke (5.9) kann auch aus der reinen LQ-Kopplung (der auf Gl. 2.29 basierende Teil von Gl. 2.33) statt dem zweiten Summanden in (5.5) abgeleitet werden:

$$|\lambda_L^{21} \lambda_R^{22*}| < \frac{8\sqrt{\pi}(m_c + m_d)}{f_{D^+} \sqrt{m_D^2 - m_\mu^2}} \sqrt{\Delta_{D^+}(max)} m_{LQ}^2 = 5,2 \times 10^{-3} \left(\frac{m_{LQ}}{100 GeV} \right)^2. \quad (5.10)$$

Dieser Wert weicht nur geringfügig von dem aus Gl. (5.9) ab, da der reine $(P \pm S)$ -LQ-Term keine Unterdrückung durch die Forderung der Drehimpulserhaltung aufweist. Auf eine kombinierte Bestimmung des Kopplungskonstantenproduktes aus dem reinen LQ-Term und dem Interferenzterm wird hier verzichtet. Gegenüber [1] liegen sämtliche Schranken geringfügig niedriger. Es wurde hier jedoch eine wesentlich konservativere Fehlerabschätzung vorgenommen

(in [1] wurde die damalige obere Schranke an die Zerfallsrate für $D^+ \rightarrow \mu^+ \nu_\mu$ statt des hier verwendeten $\Delta_{D^+}(max)$ eingesetzt).

Für die Schranken an $\Re(\lambda'_{22k} \lambda'^*_{21k})$ und $|\lambda'_{k21} \lambda^*_{2k2}|$ verweise ich auf Tabelle 6 und 7 des Anhangs, die Schranke an Letzteres ist identisch mit der zugehörigen LQ-Schranke (Gl. 5.10 bzw. 5.9).

Für das D_s^+ -Meson lassen sich auf verschiedene Weisen Schranken ableiten:

Analog zum Pionenzерfall, Kapitel 3.2.1 : Da beim D_s^+ -Meson experimentelle Werte für $BR(D_s^+ \rightarrow \mu \nu_\mu)$ und $BR(D_s^+ \rightarrow \tau \nu_\tau)$ existieren ($BR(D_s^+ \rightarrow \mu \nu_\mu) = (5,1 \pm 1,9) \times 10^{-3}$ und $BR(D_s^+ \rightarrow \tau \nu_\tau) = (6,4 \pm 1,5)\%$, siehe [4]), kann man auch analog zu Kapitel 3.2.1 vorgehen. Der aus Gl. (3.3) ableitbare SM-R-Wert ohne Korrekturen höherer Ordnung weicht um fast 30% vom experimentellen R-Wert [4] ab:

$$R_{th} = 1,0 \times 10^{-1} \quad \text{und} \quad R_{exp} = (8,0 \pm 3,5) \times 10^{-2} \quad . \quad (5.11)$$

Die Standardabweichung von R_{th} ist gegenüber der von R_{exp} vernachlässigbar. Analog zu den Gln. (3.10-11) und (3.14-15) erhält man für die Schranken an die Kopplungskonstantenprodukte:

$$\Re(\lambda_L^{22} \lambda_R^{*22}) < 8,3 \times 10^{-4} \left(\frac{m_{LQ}}{100 GeV} \right)^2, \quad \Re(\lambda_L^{32} \lambda_R^{*32}) < 6,6 \times 10^{-2} \left(\frac{m_{LQ}}{100 GeV} \right)^2, \quad (5.12)$$

und

$$|\lambda_L^{22}| < 0,14 \left(\frac{m_{LQ}}{100 GeV} \right), \quad |\lambda_L^{32}| < 0,30 \left(\frac{m_{LQ}}{100 GeV} \right). \quad (5.13)$$

Die zweite Schranke aus Gln. (5.12) ist aufgrund der hohen τ -Masse, die linear eingeht, schwächer als die erste Schranke.

Analog zu den D^+ -Berechnungen: Unter Verwendung der entsprechenden Werte für das D_s^+ -Meson können analog zu den Gl. (5.8) und (5.9) Schranken an die entsprechenden LQ-Kopplungskonstantenprodukte bestimmt werden. BR_{SM} (ohne Korrekturen höherer Ordnung) weicht allerdings um mehr als $1\sigma_{exp}$ von BR_{exp} [4] ab:

$$BR_{SM} = 7,1 \times 10^{-3} \quad \text{und} \quad BR_{exp} = (5,1 \pm 1,9) \times 10^{-3}. \quad (5.14)$$

Es wird daher mit der $2\sigma_{exp}$ -Fehlergrenze gearbeitet, d.h.:

$$\Delta_{D_s^+}(max) = \frac{1}{\tau_{D_s^+}} (BR_{exp} - BR_{th} + 2\sigma_{exp}) = 2,4 \times 10^{-12} MeV. \quad (5.15)$$

Für die Kopplungskonstantenprodukte erhält man:

$$\Re(\lambda_L^{22} \lambda_L^{22*}) < 4,2 \times 10^{-2} \left(\frac{m_{LQ}}{100 GeV} \right)^2, \quad \Re(\lambda_L^{22} \lambda_R^{22*}) < 1,8 \times 10^{-3} \left(\frac{m_{LQ}}{100 GeV} \right)^2, \quad (5.16)$$

und für $D_s^+ \rightarrow \tau\nu_\tau$ erhält man entsprechend:

$$\Re(\lambda_L^{32}\lambda_L^{32*}) < 2,3 \times 10^{-2} \left(\frac{m_{LQ}}{100\text{GeV}} \right)^2, \quad \Re(\lambda_L^{32}\lambda_R^{32*}) < 1,7 \times 10^{-2} \left(\frac{m_{LQ}}{100\text{GeV}} \right)^2. \quad (5.17)$$

Hier wurde mit der $1\sigma_{exp}$ -Standardabweichung gearbeitet, da $BR_{SM} = 6,9\%$ gut innerhalb der Fehlergrenzen des experimentellen Wertes $BR_{exp} = (6,4 \pm 1,5)\%$ [4] liegt.

Die aus diesen beiden Methoden berechneten Werte weichen leicht voneinander ab: Die Werte aus (5.17) sind besser als die aus (5.12-13), da dort die $2\sigma_{exp}$ -Fehlergrenze benutzt wurde. Die Werte aus (5.16) sind schlechter als die entsprechenden Werte aus (5.12-13). Dies gründet sich in dem Wert für R_{min} (siehe Gl. 3.7-8), der in (5.12-13) eingeht: Dieser ist aufgrund der relativ starken Abweichung von R_{th} und R_{exp} (Gl. 5.11) sehr hoch. Die Abweichung des theoretischen vom experimentellen BR -Wert, die in (5.17) eingeht, ist vergleichsweise niedrig.

Es soll aber noch besonders darauf hingewiesen werden, dass die Zerfallskonstante f_{D_s} , mit ihrer hohen experimentellen Ungenauigkeit, bei der Berechnung des Verhältnisses R nicht eingeht, da sie sich aus den Gleichungen herauskürzt. Diese Schranken erhalten dadurch ein stärkeres Gewicht. Die relative Übereinstimmung in den beiden Werten kommt dadurch zustande, dass die Zerfallskonstante aus den betrachteten leptonicen Zerfällen berechnet wird (Fehlerfortpflanzung der experimentellen Fehler in den BR -Werten). Ein Fehler im f_{D_s} -Wert wird daher durch den ebenfalls in die Berechnung von (5.16-17) eingehenden BR -Wert (dieser fließt linear in $\Delta_{D_s^+}(max)$ ein), der einen entsprechenden Fehler aufweist, in etwa kompensiert.

5.2 semileptonische D^+ -Zerfälle

Wie beim Kaonenzerfall (Kapitel 4.1.2, Gl. 4.11 und 4.14) erhält man, unter Verwendung der Isospin-Symmetrie, d.h.

$$\langle D^+ | \bar{u}\gamma^\mu P_L c | \pi^+ \rangle = \langle D^0 | \bar{d}\gamma^\mu P_L c | \pi^- \rangle, \quad (5.18)$$

ohne Berücksichtigung skalarer und pseudoskalarer Beiträge und unter Vernachlässigung der Leptonenmassen Schranken an LQ-Kopplungskonstantenprodukte. Laut [4] ist:

$$BR(D^+ \rightarrow \pi^+ \mu \bar{\mu}) < 1,5 \times 10^{-5}, \quad BR(D^+ \rightarrow \pi^+ e \bar{e}) < 5,2 \times 10^{-5}, \quad (5.19)$$

und

$$BR(D^0 \rightarrow \pi^- \nu_e \bar{e}) = (3,6 \pm 0,6) \times 10^{-3}. \quad (5.20)$$

Für das D -Meson lässt sich analog zu Gl. (4.14) Folgendes ableiten:

$$\frac{|\lambda_L^{\ell 2} \lambda_L^{\ell 1*}|}{m_{LQ}^2} \frac{\sqrt{2}}{4G_F |V_{cd}|} = \sqrt{\frac{\tau_{D^0}}{\tau_{D^+}} \frac{BR(D^+ \rightarrow \pi^+ \ell \bar{\ell})}{BR(D^0 \rightarrow \pi^- \nu_e \bar{e})}}, \quad (5.21)$$

also:

$$|\lambda_L^{22}\lambda_L^{21*}| < 3,0 \times 10^{-3} \left(\frac{m_{LQ}}{100 \text{ GeV}}\right)^2 \quad \text{und} \quad |\lambda_L^{12}\lambda_L^{11*}| < 5,6 \times 10^{-3} \left(\frac{m_{LQ}}{100 \text{ GeV}}\right)^2. \quad (5.22)$$

Diese Schranken sind um etwa eine Größenordnung niedriger als die in [1] berechneten Schranken.

Beiträge von über das SM hinausgehenden Wechselwirkungen zu Zerfällen der Art $D^\pm \rightarrow K\pi\ell^\pm\nu$ wurden in [12] betrachtet.

5.3 Zerfälle neutraler D -Mesonen

Wie im Fall der neutralen Kaonen können LQs auch beim D^0 -Meson Zerfälle über FCNC, die in niedrigster Ordnung im SM verboten sind, verursachen. In den Formeln aus Kapitel 4.2 müssen nur die notwendigen Veränderung für das D -Meson vorgenommen werden und für die Kopplungskonstanten folgt (analog zu den Gln. 4.47-49):

$$|\lambda_L^{i2}\lambda_L^{*m1}| < 1,2 \times 10^{-2} \left(\frac{m_{LQ}}{100 \text{ GeV}}\right)^2 \quad (\text{für } D^0 \rightarrow \mu\bar{e}), \quad (5.23)$$

$$|\lambda_L^{22}\lambda_L^{*21}| < 6,3 \times 10^{-3} \left(\frac{m_{LQ}}{100 \text{ GeV}}\right)^2 \quad (\text{für } D^0 \rightarrow \mu\bar{\mu}), \quad (5.24)$$

$$|\lambda_L^{12}\lambda_L^{*11}| < 1,6 \left(\frac{m_{LQ}}{100 \text{ GeV}}\right)^2 \quad (\text{für } D^0 \rightarrow e\bar{e}). \quad (5.25)$$

Die letzten beiden Schranken sind schwächer als in Gl. (5.22). Aus den pseudoskalaren Beiträgen ergibt sich (analog zu Gl. 4.52-54):

$$|\lambda_L^{i2}\lambda_R^{*m1}| < 5,3 \times 10^{-4} \left(\frac{m_{LQ}}{100 \text{ GeV}}\right)^2 \quad (\text{für } D^0 \rightarrow \mu\bar{e}), \quad (5.26)$$

$$|\lambda_L^{22}\lambda_R^{*21}| < 3,8 \times 10^{-4} \left(\frac{m_{LQ}}{100 \text{ GeV}}\right)^2 \quad (\text{für } D^0 \rightarrow \mu\bar{\mu}), \quad (5.27)$$

$$|\lambda_L^{12}\lambda_R^{*11}| < 4,6 \times 10^{-4} \left(\frac{m_{LQ}}{100 \text{ GeV}}\right)^2 \quad (\text{für } D^0 \rightarrow e\bar{e}). \quad (5.28)$$

Diese Schranken wurden auch in [1] berechnet, die dort berechneten Schranken sind durchschnittlich um etwa eine Größenordnung schwächer als die hier aus aktuelleren experimentellen Daten berechneten Werte.

Kapitel 6

Der B -Mesonenzerfall

Die B -Mesonen ($B^+ = u\bar{b}$, $B^0 = d\bar{b}$, $B_s^0 = s\bar{b}$, $B_c^+ = c\bar{b}$) haben $B = \pm 1$. Die b -Physik ist ein Schwerpunkt theoretischen Interesses, da hier durch Präzisionsmessungen ein Einblick in Niedrigenergie-Prozesse gewährt werden kann, der indirekte Effekte (LQ-Wechselwirkung) in höheren Energieskalen offenbart. Zudem kann hier das SM der Teilchenphysik auf seine Vorhersagekraft hin überprüft werden [56]¹.

6.1 Zerfälle geladener B -Mesonen

6.1.1 Leptonische B^+ -Zerfälle

Für die Zerfälle $B^+ \rightarrow e^+\nu_e$, $B^+ \rightarrow \mu^+\nu_\mu$ und $B^+ \rightarrow \tau^+\nu_\tau$ existieren in der Literatur [4] nur obere Schranken:

$$BR(B^+ \rightarrow e^+\nu_e) < 1,5 \times 10^{-5}, \quad BR(B^+ \rightarrow \mu^+\nu_\mu) < 2,1 \times 10^{-5}, \quad BR(B^+ \rightarrow \tau^+\nu_\tau) < 5,7 \times 10^{-4}. \quad (6.1)$$

Aus dem reinen SM-Term von Gl. (2.33) können theoretische Werte für Γ_{SM} ohne Korrekturen höherer Ordnung berechnet werden. Diese weichen - abgesehen vom Zerfall $B^+ \rightarrow e^+\nu_e$ - um mehrere Größenordnungen von der aus (6.1) und τ_{B^+} (Tab. 2 des Anhangs) berechenbaren oberen Grenze Γ_{exp} nach oben ab. Dies zeigt die Unzulänglichkeit dieser Berechnungen bei Verwendung im B -System. Die auf der Grundlage von (2.33) berechneten Werte können daher nur als grobe Abschätzung dienen. Eine weitere Schwierigkeit ergibt sich aus den nur schlecht bekannten Größen f_B und $|V_{ub}|$. Zu f_B verweise ich auf [61], im Folgenden wird die auf mehreren Experimenten beruhende Abschätzung $f_B = 200(30)MeV$ (siehe [61]) benutzt.

Zunächst werden die LQ-Kopplungskonstantenprodukte unter Verwendung der reinen LQ-Terme Gl. (2.28) und (2.29) abgeschätzt (dabei können Gl. 3.20 und 3.21 mit den entsprechenden Änderungen für das B -Meson verwendet werden). Der SM-Term und sämtliche Interferenzterme

¹In [56] findet sich eine ausführliche Beschreibung des theoretischen Hintergrundes der B -Physik.

werden vernachlässigt. Man erhält:

$$\text{Für } B^+ \rightarrow e^+ \nu_e : |\lambda_L^{13} \lambda_R^{*11}| < 1,2 \times 10^{-4} \left(\frac{m_{LQ}}{100 \text{ GeV}} \right)^2, \quad |\lambda_L^{13} \lambda_L^{*11}| < 1,5 \left(\frac{m_{LQ}}{100 \text{ GeV}} \right)^2, \quad (6.2)$$

$$\text{Für } B^+ \rightarrow \mu^+ \nu_\mu : |\lambda_L^{23} \lambda_R^{*21}| < 1,4 \times 10^{-4} \left(\frac{m_{LQ}}{100 \text{ GeV}} \right)^2, \quad |\lambda_L^{23} \lambda_L^{*21}| < 8,4 \times 10^{-3} \left(\frac{m_{LQ}}{100 \text{ GeV}} \right)^2, \quad (6.3)$$

$$\text{Für } B^+ \rightarrow \tau^+ \nu_\tau : |\lambda_L^{33} \lambda_R^{*31}| < 8,4 \times 10^{-4} \left(\frac{m_{LQ}}{100 \text{ GeV}} \right)^2, \quad |\lambda_L^{33} \lambda_L^{*31}| < 2,9 \times 10^{-3} \left(\frac{m_{LQ}}{100 \text{ GeV}} \right)^2. \quad (6.4)$$

Es sei hier noch einmal darauf hingewiesen, dass diese Resultate aufgrund der erwähnten Unsicherheit in den experimentellen Daten nur grobe Abschätzungen darstellen. Sie gelten direkt entsprechend auch für beliebigen Neutrino-*flavour*. Die $\lambda_L \lambda_R$ -Schranken sind direkt identisch mit den entsprechenden SUSY-Schranken und die Ergebnisse aus [44] stimmen mit denen aus den Gln. (6.2-4) in etwa überein.

Anmerkung: Um die Unsicherheit in f_B zu umgehen und die theoretische SM-Vorhersage miteinzubeziehen kann auch mit der theoretischen Vorhersage [57]

$$BR(B^+ \rightarrow \tau^+ \nu_\tau) = (4,08 \pm 0,24) \times 10^{-4} \left| \frac{V_{ub}}{V_{td}} \right|^2, \quad (6.5)$$

gearbeitet werden (siehe [44] für Schranken an SUSY-Kopplungskonstantenprodukte). In der Wolfenstein-Parameterisierung [58]

$$\frac{V_{ub}}{V_{td}} = \frac{\bar{\rho} - i\bar{\eta}}{1 - \frac{\lambda^2}{2} - \bar{\rho} - i\bar{\eta}}, \quad (6.6)$$

können die miteinander korrelierten Unsicherheiten in V_{ub} und V_{td} berücksichtigt werden². Die daraus berechenbaren Werte für $|\lambda_{313}^* \lambda_{233}|$ und $|\Re[\lambda_{213}^* \lambda_{323}]|$ sind mit der Schranke aus Gl. (6.4) vergleichbar.

6.1.2 Semileptonische B^+ -Zerfälle

Den Überlegungen aus [1] folgend werden hier *Flavour*-ändernden Zerfälle der Art $B^+ \rightarrow \ell_1 \bar{\ell}_2 X$ (X symbolisiert ein oder mehrere Hadronen) betrachtet.

Vorab: Analog zu der Abschätzung beim D^+ , Anfang Kapitel 5.1, kann auch hier verfahren werden. Für $X = D^0$ ist

$$|\lambda_L^{\ell_1 3} \lambda_L^{* \ell_2 2}| < \frac{4G_F}{\sqrt{2}} |V_{cb}| m_{LQ}^2 = 1,4 \times 10^{-2} \left(\frac{m_{LQ}}{100 \text{ GeV}} \right)^2, \quad (6.7)$$

²Laut [59] ist $\bar{\rho} = 0,21 \pm 0,12$, $\bar{\eta} = 0,38 \pm 0,11$ und $\lambda = 0,222 \pm 0,004$.

und für $X = \pi^0$ erhält man:

$$|\lambda_L^{\ell_1 3} \lambda_L^{*\ell_2 1}| < \frac{4G_F}{\sqrt{2}} |V_{ub}| m_{LQ}^2 = 1,2 \times 10^{-3} \left(\frac{m_{LQ}}{100 \text{ GeV}} \right)^2. \quad (6.8)$$

Diese Resultate verbessern die Ergebnisse aus [1] leicht. Dass die LQ-Kopplungen bei b -Zerfällen kleiner als die SM-Kopplungen sind, ist allerdings nicht mehr als eine unbegründete -wenn auch plausibel erscheinende- Annahme.

Das B^+ zerfällt mit [4] $(10, 2 \pm 0, 9)\%$ in ein Lepton ℓ^+ , ein Neutrino ν_ℓ und X . Wie in Kapitel 4.1.2 für das Kaon soll nun auch hier zunächst aus relativ einfachen Überlegungen zur Struktur der Zerfallsraten eine Abschätzung an das Produkt $|\lambda_L \lambda_L^*|$ gewonnen werden. Zunächst lässt sich unter Vernachlässigung der kinematischen Unterschiede (unter Vernachlässigung der Leptonenmassen) zwischen den Zerfällen $B^+ \rightarrow \ell \bar{\ell} X$ und $B^+ \rightarrow \nu \bar{\ell} X$ ($\ell = e, \mu$) analog zu den Gln. (4.12-14), fordern ($V_{jn} = V_{cb}$ oder V_{ub}):

$$\frac{|\lambda_L^{i3} \lambda_L^{*mn}|^2}{m_{LQ}^4} \simeq 8G_F^2 |V_{jn}|^2 \frac{BR(B^+ \rightarrow \ell \bar{\ell} X)}{BR(B^+ \rightarrow \nu \bar{\ell} X)}, \quad (6.9)$$

und für $BR(B^+ \rightarrow \pi^0 e^+ \nu_e) = (9, 0 \pm 2, 8) \times 10^{-5}$ und $BR(B^+ \rightarrow \pi^+ e^+ e^-) < 3, 9 \times 10^{-3}$ erhält man:

$$|\lambda_L^{13} \lambda_L^{*11}| < 7,8 \times 10^{-3} \left(\frac{m_{LQ}}{100 \text{ GeV}} \right)^2. \quad (6.10)$$

Dieses Resultat stimmt mit dem in [1] berechneten Wert aufgerundet überein.

Desweiteren kann der Zerfall $B^+ \rightarrow \tau^\pm e^\mp X$ betrachtet werden, wobei das τ sehr schnell weiter zerfällt, $\tau \rightarrow \nu + \text{Hadronen}$ oder $\tau \rightarrow e \nu \bar{\nu}$, und zu $B^+ \rightarrow \nu \bar{e} X$ oder $B^+ \rightarrow e \bar{e} \nu \bar{\nu} X$ im Endzustand führt. Die Phasenraumunterdrückung $PS(x)$ (Ursache hierfür ist die τ -Masse) ist gegeben durch [60]

$$PS(x) = 1 - 8x + 8x^3 - x^4 - 12x^2 \ln x = 3,2 \times 10^{-1}, \quad x = \frac{m_\tau^2}{m_b^2}. \quad (6.11)$$

Daraus erhält man ($n = u$ oder c und $(i; m) = (1; 3)$ oder $(3; 1)$):

$$BR(B^+ \rightarrow \tau^\pm e^\mp X) \simeq PS(x) \frac{|\lambda_L^{i3} \lambda_L^{*mn}|^2 BR(B \rightarrow e \nu X)}{m_{LQ}^4 8G_F^2 |V_{nb}|^2}. \quad (6.12)$$

Diese Gleichung stimmt mit den entsprechenden Ersetzungen und unter Berücksichtigung des PS-Faktors, der die kinematischen Unterschiede in den beiden Zerfällen darstellt, mit Gl. (6.9) überein. Daraus folgt mit der Abschätzung (s.o.)

$$BR(B^+ \rightarrow \tau^- e^+ X) < \frac{BR(B^+ \rightarrow e^+ \nu X)}{BR(\tau^- \rightarrow \nu X)}, \quad (6.13)$$

für $X = \pi$ mit $BR(\tau \rightarrow \nu_\tau \pi) = (11,06 \pm 0,11)\%$, siehe [4] folgende Schranke:

$$\frac{|\lambda_L^{33} \lambda_L^{*11}|}{m_{LQ}^2} < 2 \sqrt{\frac{2}{PS}} G_F \frac{V_{ub}}{[BR(\tau \rightarrow \nu X')]^{1/2}} . \quad (6.14)$$

Man erhält:

$$|\lambda_L^{33} \lambda_L^{*11}| < 6,3 \times 10^{-3} \left(\frac{m_{LQ}}{100 \text{ GeV}} \right)^2 . \quad (6.15)$$

Dies verbessert den entsprechenden Wert aus [1] um etwa eine Größenordnung.

Anmerkung: Hier wurde der Grenzübergang $\rho_q = \frac{m_q^2}{m_b^2} \rightarrow 0$ betrachtet. Außerdem wurden (wie auch im Folgenden) sämtliche nicht-perturbativen Korrekturen vernachlässigt. Laut [60] vermindern diese Korrekturen (bis zur Ordnung $\frac{1}{m_b^2}$) die Zerfallsrate um 6-10%, abhängig von der Quarkmasse im Endzustand. Die Berechnungen basieren auf HQE (*Heavy Quark Expansion*) und der Operatorproduktentwicklung. In [60] findet sich eine ausführlichere Behandlung zu inklusiven Zerfällen der Art $H_b \rightarrow \tau \bar{\nu} X$.

Nimmt man an, dass das τ in $e\nu\bar{\nu}$ zerfällt, so kann der Zerfall $B^+ \rightarrow \tau \bar{e} X$ einen Beitrag bei der experimentellen Suche nach $B^+ \rightarrow e \bar{e} \pi^+$ liefern ($BR(B^+ \rightarrow e \bar{e} \pi^+) < 3,9 \times 10^{-3}$ [4]). Mithilfe von

$$PS \cdot BR(B \rightarrow \tau \bar{e} X) \cdot BR(\tau \rightarrow e\nu\bar{\nu}) < BR(B^+ \rightarrow e \bar{e} X)_{exp} , \quad (6.16)$$

und Gl. (6.9) erhält man:

$$\frac{|\lambda_L^{33} \lambda_L^{*11}|}{m_{LQ}^2} < \frac{4G_F V_{ub}}{\sqrt{2}} \sqrt{\frac{BR(B \rightarrow e \bar{e} \pi^+)}{BR(B \rightarrow e\nu\pi^0) BR(\tau \rightarrow e\nu\bar{\nu}) PS(x)}} . \quad (6.17)$$

Mit $BR(B \rightarrow e\nu\pi^0) = (9,0 \pm 2,8)10^{-5}$ und $BR(\tau \rightarrow e\nu\bar{\nu}) = (17,84 \pm 0,06)\%$ (siehe [4]) ergibt sich daraus:

$$|\lambda_L^{33} \lambda_L^{*11}| < 3,2 \times 10^{-2} \left(\frac{m_{LQ}}{100 \text{ GeV}} \right)^2 . \quad (6.18)$$

Dieses Ergebnis ist nur geringfügig besser als in [1], die Berechnungsgrundlagen sind jedoch unterschiedlich: In [1] wurde der PS-Faktor nicht berücksichtigt. Das Ergebnis ist allerdings um etwa eine Größenordnung schlechter als (6.15). Das Elektron kann auch durch ein Myon ersetzt werden, um weitere Werte zu erhalten.

Abschließend zu diesen Überlegungen wird nun noch der Zerfall $B^+ \rightarrow \tau \bar{\tau} X$ betrachtet. Nimmt man an, dass beide τ 's in e 's zerfallen, so erhält man analog zu den vorherigen Berechnungen (siehe Gl. 6.17):

$$\frac{|\lambda_L^{33} \lambda_L^{*31}|}{m_{LQ}^2} < \frac{4G_F V_{ub}}{\sqrt{2}} \frac{V_{ub}}{BR(\tau \rightarrow e\nu\bar{\nu})} \sqrt{\frac{BR(B \rightarrow e \bar{e} X)}{BR(B \rightarrow e\nu X) PS(x)}} . \quad (6.19)$$

Der Phasenraumunterdrückungsfaktor PS kann mithilfe von [60] berechnet werden. Dabei wird $\rho_q = \rho_\tau = m_\tau^2/m_b^2$ gesetzt und man erhält:

$$PS(\rho_\tau) = \sqrt{1 - 4\rho_\tau}[1 - 14\rho_\tau - 2\rho_\tau^2 - 12\rho_\tau^3] + 24\rho_\tau^2(1 - \rho_\tau^2)\ln\frac{1 + \sqrt{1 - 4\rho_\tau}}{1 - \sqrt{1 - 4\rho_\tau}} = 0,030. \quad (6.20)$$

In [1] wurde mit

$$PS = \left[1 - 4\frac{m_\tau^2}{m_b^2}\right]^{2,48} = 0,089 \quad (6.21)$$

gerechnet. Mit [4] $BR(\tau \rightarrow e\nu\bar{\nu}) = (17,84 \pm 0,06)\%$, $BR(B \rightarrow e\bar{e}\pi) < 3,9 \times 10^{-3}$ und $BR(B \rightarrow e\nu\pi) = (9,0 \pm 2,8) \times 10^{-5}$ erhält man:

$$|\lambda_L^{33}\lambda_L^{*31}| < 2,5 \times 10^{-1} \left(\frac{m_{LQ}}{100\text{GeV}}\right)^2. \quad (6.22)$$

Dieser Wert ist um mehr als eine Größenordnung schlechter als der in [1] berechnete Wert. Da die in [1] eingesetzten BR -Werte nicht angegeben waren, kann hier keine genaue Begründung für diese Abweichung gegeben werden. Das Pion kann auch durch ein D-Meson ersetzt werden. Dabei sind bessere Schranken zu erwarten, die experimentellen Daten (BR -Werte) sind allerdings unvollständig, sodass zusätzliche Näherungen gemacht werden müssen.

Nun werden kurz die exklusiven Zerfälle der Art $B^+ \rightarrow \ell_1\bar{\ell}_2 X$ ($\ell_1\bar{\ell}_2 = e\bar{e}$, $\mu\bar{\mu}$ oder $\mu^\pm e^\mp$ und X ist ein Kaon oder ein Pion) betrachtet. Dazu muss das Matrixelement $\langle X^+ | \bar{s}\gamma^\mu b | B^+ \rangle$ berechnet werden (Gl. 4.17):

$$\langle X^+ | \bar{s}\gamma^\mu b | B^+ \rangle = \frac{1}{\sqrt{2}}(f_+ p^\mu + f_- q^\mu). \quad (6.23)$$

Einen entsprechenden Ausdruck kann man für das $D^0 \rightarrow X^+$ -Matrixelement finden und die Formfaktoren für B und D können mit der *heavy quark symmetry* [63] zueinander in Beziehung gebracht werden. Unter der Annahme einer $SU(2)$ -*flavour*-Symmetrie der schweren c und b Quarks kann man nähern [60]:

$$(f_+ - f_-)^{B \rightarrow K} = \left(\frac{m_b}{m_c}\right)^{\frac{1}{2}} \left(\frac{\alpha_s(m_b)}{\alpha_s(m_c)}\right)^{\frac{-6}{25}} (f_+ - f_-)^{D \rightarrow K}, \quad (6.24)$$

wobei $f_+ - f_- \simeq 2f_+$ und α_s ist die starke Kopplungskonstante. Nun können, unter Vernachlässigung der kinematischen Unterschiede (Vernachlässigung der Massen aller Endzustandsteilchen), B und D -Zerfälle zueinander in Beziehung gesetzt werden. Zusätzlich muss wieder von ungebrochener Isospinsymmetrie ausgegangen werden. Man erhält (analog zu Gl. 6.9, die Zerfallsrate ist proportional zum Quadrat der Zerfallskonstante und $m_{B/D}^5$):

$$\frac{|\lambda_L^{i3}\lambda_L^{*m1}|^2}{m_{LQ}^4} \simeq 8G_F^2 |V_{13}|^2 \frac{m_D^5}{m_B^5} \frac{m_c}{m_b} \left(\frac{\alpha_s(m_b)}{\alpha_s(m_c)}\right)^{\frac{12}{25}} \frac{\Gamma(B^+ \rightarrow K\ell^+\ell^-)}{\Gamma(D^0 \rightarrow K\ell\nu)}. \quad (6.25)$$

Es muss allerdings betont werden, dass diese Berechnung auf vielen Näherungen basiert. So wurde auch die Abhängigkeit der Formfaktoren vom Impulsübertrag vernachlässigt. Gl. (6.25) gilt eigentlich nur für maximalen Impulsübertrag, bei kleinem Impulsübertrag q^2 ändert sich die Schranke, siehe [1], zu

$$\frac{|\lambda_L^{i3}\lambda_L^{*m1}|^2}{m_{LQ}^4} \simeq 8G_F^2 |V_{13}|^2 \frac{m_D^3}{m_B^3} \frac{m_c}{m_b} \left(\frac{\alpha_s(m_b)}{\alpha_s(m_c)} \right)^{\frac{12}{25}} \frac{\Gamma(B^+ \rightarrow K\ell^+\ell^-)}{\Gamma(D^0 \rightarrow K\ell\nu)}. \quad (6.26)$$

Die aus diesen Näherungen berechenbaren Schranken können Tabelle 6 und 7 des Anhangs entnommen werden (es wurde jeweils die schwächste Schranke angenommen). Als Zerfallsteilchen kann statt des K -Mesons ein Pion eingesetzt werden. Es muss aber betont werden, dass es sich dabei nur um grobe Abschätzungen handelt. Die Werte verbesserten sich gegenüber [1] um etwa eine Größenordnung. Das Verhältnis der starken Kopplungskonstanten $\alpha_s(m_b)$ und $\alpha_s(m_c)$ wurde mit eins angenähert.

Zerfälle der Art $B \rightarrow D\pi\ell\nu$ wurden in [11] ausführlich betrachtet, sie werden hier daher nicht mehr behandelt.

6.2 Zerfälle neutraler B -Mesonen

Den Rechnungen für den Zerfall neutraler Kaonen aus Kapitel 4.2 folgend lässt sich fordern (die Zahlen wurden [4] entnommen, zur Lebensdauer des B -Mesons siehe Tabelle 2 des Anhangs):

$$\Gamma(B_0 \rightarrow e^\pm \mu^\mp)_A = \frac{(m_{B_0}^2 - m_\mu^2)^2}{64\pi m_{B_0}^3} \frac{|\lambda_L^{i3}\lambda_L^{*m1}|^2}{m_{LQ}^4} f_{B_0}^2 m_\mu^2 < 5,98 \times 10^{-26} \text{ MeV}, \quad (6.27)$$

und

$$\Gamma(B_0 \rightarrow e\bar{e})_A = \frac{1}{32\pi} \frac{|\lambda_L^{i3}\lambda_L^{*i1}|^2}{m_{LQ}^4} f_{B_0}^2 m_e^2 \sqrt{m_{B_0}^2 - 4m_e^2} < 1,15 \times 10^{-25} \text{ MeV}. \quad (6.28)$$

Die pseudoskalaren Beiträge liefern [4]:

$$\Gamma(B_0 \rightarrow e^\pm \mu^\mp)_P = \frac{|\lambda_L^{i3}\lambda_R^{*m1}|^2 (m_{B_0}^2 - m_\mu^2)^2 f_{B_0}^2 m_{B_0}}{m_{LQ}^4 64\pi (m_b + m_d)^2} < 5,98 \times 10^{-26} \text{ MeV}, \quad (6.29)$$

und

$$\Gamma(B_0 \rightarrow e\bar{e})_P = \frac{|\lambda_L^{i3}\lambda_R^{*i1}|^2 (m_{B_0}^2 - 2m_e^2) f_{B_0}^2 m_{B_0}^2}{m_{LQ}^4 64\pi (m_b + m_d)^2} \sqrt{m_{B_0}^2 - 4m_e^2} < 1,15 \times 10^{-25} \text{ MeV}. \quad (6.30)$$

Daraus erhält man für die Kopplungskonstantenprodukte (unter Verwendung der Werte $BR(B^0 \rightarrow \mu\bar{\mu}) < 6,1 \cdot 10^{-7}$, $BR(B^0 \rightarrow e^\pm \tau^p m) < 5,3 \cdot 10^{-4}$ und $BR(B^0 \rightarrow \mu^\pm \tau^p m) < 8,3 \cdot 10^{-4}$, siehe [4]) folgende Werte:

$$B^0 \rightarrow e\bar{e} : \quad |\lambda_L^{i3}\lambda_L^{*i1}| < 2,5 \times 10^{-1} \left(\frac{m_{LQ}}{100 \text{ GeV}} \right)^2, \quad |\lambda_L \lambda_R^*| < 3,0 \times 10^{-5} \left(\frac{m_{LQ}}{100 \text{ GeV}} \right)^2, \quad (6.31)$$

$$B^0 \rightarrow \mu \bar{\mu} : \quad |\lambda_L^{23} \lambda_L^{*21}| < 1,1 \times 10^{-3} \left(\frac{m_{LQ}}{100 \text{ GeV}} \right)^2, \quad |\lambda_L \lambda_R^*| < 2,5 \times 10^{-5} \left(\frac{m_{LQ}}{100 \text{ GeV}} \right)^2, \quad (6.32)$$

$$B^0 \rightarrow e^\mp \mu^\pm : \quad |\lambda_L^{i3} \lambda_L^{*m1}| < 2,3 \times 10^{-3} \left(\frac{m_{LQ}}{100 \text{ GeV}} \right)^2, \quad |\lambda_L \lambda_R^*| < 4,0 \times 10^{-5} \left(\frac{m_{LQ}}{100 \text{ GeV}} \right)^2, \quad (6.33)$$

$$B^0 \rightarrow e^\mp \tau^\pm : \quad |\lambda_L^{i3} \lambda_L^{*m1}| < 2,9 \times 10^{-3} \left(\frac{m_{LQ}}{100 \text{ GeV}} \right)^2, \quad |\lambda_L^{i3} \lambda_R^{*m1}| < 8,5 \times 10^{-4} \left(\frac{m_{LQ}}{100 \text{ GeV}} \right)^2, \quad (6.34)$$

$$B^0 \rightarrow \mu^\mp \tau^\pm : \quad |\lambda_L^{i3} \lambda_L^{*m1}| < 3,7 \times 10^{-3} \left(\frac{m_{LQ}}{100 \text{ GeV}} \right)^2, \quad |\lambda_L^{i3} \lambda_R^{*m1}| < 1,1 \times 10^{-3} \left(\frac{m_{LQ}}{100 \text{ GeV}} \right)^2. \quad (6.35)$$

Diese Schranken sind durchgehend niedriger (um bis zu eine Größenordnung) als die in [1] auf ähnliche Weise berechneten Werte. Die entsprechenden SUSY-Schranken können Tabelle 7 des Anhangs entnommen werden. Diese bestätigen die Resultate aus [64].

Genauso können auch Schranken an den leptonicen LQ-Zerfall des B_s^0 -Mesons berechnet werden. Dabei wird $f_{B_s^0} = (1,16 \pm 0,04)f_{B^0}$ [61] benutzt und außerdem [4]:

$$BR(B_s^0 \rightarrow e \bar{e}) < 5,4 \cdot 10^{-5}, \quad BR(B_s^0 \rightarrow \mu \bar{\mu}) < 2,0 \cdot 10^{-6} \text{ und } BR(B_s^0 \rightarrow e^\pm \mu^\pm) < 6,1 \cdot 10^{-6}. \quad (6.36)$$

Man erhält folgende Schranken:

$$B_s^0 \rightarrow e \bar{e} : \quad |\lambda_L^{13} \lambda_L^{*12}| < 1,8 \times 10^0 \left(\frac{m_{LQ}}{100 \text{ GeV}} \right)^2, \quad |\lambda_L^{13} \lambda_R^{*12}| < 2,0 \times 10^{-4} \left(\frac{m_{LQ}}{100 \text{ GeV}} \right)^2, \quad (6.37)$$

$$B_s^0 \rightarrow \mu \bar{\mu} : \quad |\lambda_L^{23} \lambda_L^{*22}| < 1,7 \times 10^{-3} \left(\frac{m_{LQ}}{100 \text{ GeV}} \right)^2, \quad |\lambda_L^{23} \lambda_R^{*22}| < 3,9 \times 10^{-5} \left(\frac{m_{LQ}}{100 \text{ GeV}} \right)^2, \quad (6.38)$$

$$B_s^0 \rightarrow e^\mp \mu^\pm : \quad |\lambda_L^{i3} \lambda_L^{*m2}| < 4,1 \times 10^{-3} \left(\frac{m_{LQ}}{100 \text{ GeV}} \right)^2, \quad |\lambda_L^{i3} \lambda_R^{*m2}| < 6,8 \times 10^{-5} \left(\frac{m_{LQ}}{100 \text{ GeV}} \right)^2. \quad (6.39)$$

Die entsprechenden SUSY-Schranken sind für LL-Kopplungen doppelt so gross und für LR-Kopplungen identisch mit den aufgelisteten Werten. Die SUSY-Schranken für $B_s^0 \rightarrow e^\pm \mu^\mp$ stimmen mit den in [44] berechneten Werten überein.

Zu leptonicen B -Zerfällen existieren detailliertere Betrachtungen. Hier verweise ich auf [65], wo der Zerfall in ein Myon und ein Antimyon analysiert wurde. Weitere leptoniche B -Zerfälle wurden in [67] behandelt, QCD-Korrekturen können u. A. [66] entnommen werden.

Kapitel 7

$K^0 - \bar{K}^0$ -, $D^0 - \bar{D}^0$ - und $B^0 - \bar{B}^0$ - Mischzustände

Abbildung 8.1 zeigt den Standardmodellbeitrag zur Mischung der neutralen Kaonen in niedrigster Ordnung. Entsprechende Diagramme existieren für die neutralen D und B -Mesonen. Ohne c - und t -Austausch würde die CP -Symmetrie nicht verletzt werden und $|K_S^0\rangle$ bzw. $|K_L^0\rangle$ (Gl. 4.31) wären exakte Eigenzustände des CP -Operators. Die Existenz dreier Quarkgenerationen ist für die experimentell nachgewiesene schwache CP -Verletzung verantwortlich.

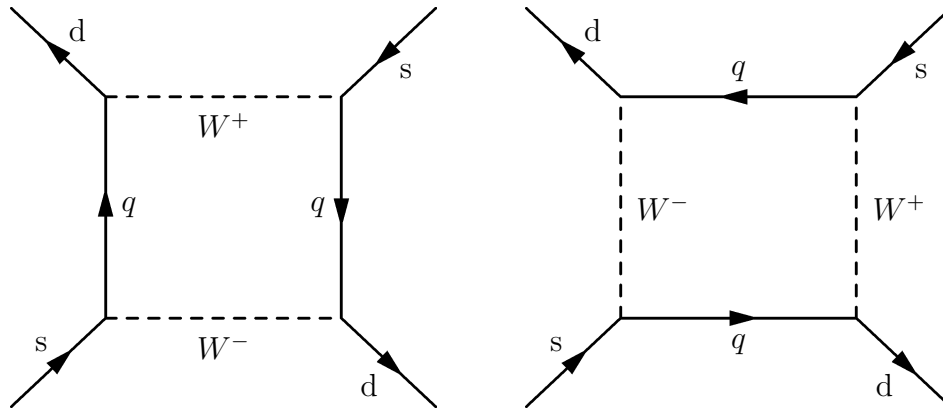


Abbildung 7.1: $K^0 - \bar{K}^0$ -Mischung im SM

Hier soll der LQ-Beitrag dieses Diagramms zur Massendifferenz (bei ungebrochener CPT -Symmetrie [4]),

$$\Delta m_K = m_{K_L^0} - m_{K_S^0} = (3,490 \pm 0,006) \times 10^{-12} \text{ MeV} , \quad (7.1)$$

berechnet werden. Der Standardmodellbeitrag zu dieser Massendifferenz kann unter Verwendung der Vakuumsättigungsnäherung [20]

$$\langle K | [\bar{d}\gamma^\mu P_L s] [\bar{d}\gamma_\mu P_L s] | \bar{K} \rangle = \frac{8}{3} \frac{1}{4} \langle K | \bar{d}\gamma^\mu \gamma_5 s | 0 \rangle \langle 0 | \bar{d}\gamma_\mu \gamma_5 s | \bar{K} \rangle = \frac{2}{3} \frac{f_K^2 m_K}{2}, \quad (7.2)$$

berechnet werden. Der Faktor $\frac{8}{3}$ in Gl. (8.2) setzt sich zusammen aus den vier möglichen Wick-Kontraktionen multipliziert mit einem Farbfaktor $2/3$. Den Überlegungen in [20] folgend, erhält man für die Massendifferenz im Standardmodell unter Vernachlässigung der u -Quark Masse:

$$\begin{aligned} \frac{\Delta m_K}{2} &= -\Re [\langle K | -\mathcal{L}_{eff}^{\Delta S=2} | \bar{K} \rangle] \\ &= \frac{G_F}{\sqrt{2}} \frac{\alpha}{4\pi \sin^2 \theta_W} (\sin^2 \theta_c \cos^2 \theta_c) X \langle K | (\bar{d}\gamma^\mu P_L s) (\bar{d}\gamma_\mu P_L s) | \bar{K} \rangle, \end{aligned} \quad (7.3)$$

wobei

$$X = (\sin^2 \theta_c \cos^2 \theta_c)^{-1} \sum_{q=c,t} \Re \left[(V_{qs} V_{qd}^*)^2 \frac{m_q^2}{m_W^2} + V_{cs} V_{cd}^* V_{ts} V_{td}^* \frac{2m_c^2 m_t^2}{m_W^2 (m_t^2 - m_c^2)} \ln \left(\frac{m_t^2}{m_c^2} \right) \right]. \quad (7.4)$$

Dabei ist $\alpha = 7,297352533(27) \times 10^{-3}$ die Feinstrukturkonstante, θ_c der Cabibbowinkel und $\sin^2 \theta_W = 0,23113(15)$ das Sinusquadrat des Weinbergwinkels der schwachen WW.

Daraus kann man für die SM-Massendifferenz einen Wert von $(\Delta M_K)_{th}^{SM} = 3,08 \times 10^{-12} MeV$ berechnen¹, der mit dem experimentellen Wert [4] $(\Delta M_K)_{exp} = 3,49 \times 10^{-12} MeV$ recht gut übereinstimmt.

7.1 LQ-($V \pm A$)-Wechselwirkungen

Der LQ-Beitrag zu Δm_K ist von der gleichen Form, wie der SM-Beitrag (Gl. 8.3). Es müssen jedoch einige Veränderungen vorgenommen werden:

- Die Quarkmassen müssen durch Leptonenmassen ersetzt werden,
- $\frac{4G_F V}{\sqrt{2}}$ ist durch $\frac{\lambda_{LQ}^{ij} \lambda_{LQ}^{mn*}}{m_{LQ}^2}$ zu ersetzen,
- m_W^2 wird m_{LQ}^2 und $\frac{\alpha}{4\pi \sin^2 \theta_W}$ vereinfacht sich zu $\frac{1}{8\pi^2}$.

Man kann daher fordern:

$$\frac{1}{32\pi^2 m_{LQ}^2} \left[|\lambda^{ld} \lambda^{ls*}|^2 \frac{m_\ell^2}{m_{LQ}^2} + \lambda^{ld} \lambda^{ls*} \lambda^{\ell'd*} \lambda^{\ell's} \frac{2m_\ell^2 m_{\ell'}^2}{m_{LQ}^2 (m_\ell^2 - m_{\ell'}^2)} \ln \left(\frac{m_{\ell'}^2}{m_\ell^2} \right) \right] < \frac{(\Delta M_K)_{exp} - (\Delta M_K)_{th}^{SM}}{2}. \quad (7.5)$$

¹Die beiden Terme, in denen V_{td} vorkommt, wurden dabei nicht - wie in [1] - vernachlässigt. Sie liefern beide jeweils einen Beitrag von etwa 10% des Hauptbeitrages. Für V_{td} und V_{ts} wurden die oberen Grenzwerte aus [4] verwendet: $V_{td} = 0,014$, $V_{ts} = 0,044$, $V_{cd} = 0,224 \pm 0,016$ und $V_{cs} = 0,996 \pm 0,013$.

Vernachlässigt man den zweiten Term komplett (dies impliziert die Annahme, dass maximal zwei LQ-Kopplungskonstanten nicht verschwinden), so erhält man eine Schranke an alle vektoriellen Leptoquarks die ein d -Typ-Quark an ein massives (geladenes) Lepton ℓ koppeln:

$$|\lambda^{\ell 1} \lambda^{\ell 2*}| < 3,9 \times 10^{-2} \left(\frac{m_{LQ}}{100 \text{ GeV}} \right)^2 \left(\frac{1 \text{ GeV}}{m_\ell} \right). \quad (7.6)$$

Der in [1] angegebene Wert dieser Schranke verbessert sich damit um fast eine Größenordnung. Dies liegt hauptsächlich daran, dass in [1] nicht die Differenz zwischen SM-Wert und experimentellem Wert als Schranke für LQ-Kopplungen angesetzt wurde. Stattdessen wurde gefordert, dass die LQ-Kopplungen kleiner sind als die SM-Kopplung. Diese Methode hat den Vorteil, dass sich die Zerfallskonstante f_K aus den Gleichungen herauskürzt. Man erhält dann:

$$|\lambda^{\ell 1} \lambda^{\ell 2*}| < 9,9 \times 10^{-2} \left(\frac{m_{LQ}}{100 \text{ GeV}} \right)^2 \left(\frac{1 \text{ GeV}}{m_\ell} \right), \quad (7.7)$$

was mit [1] übereinstimmt. Beim D -Meson ist für die Massendifferenz nur eine obere Schranke bekannt: $\Delta M_D < 4,6 \times 10^{-11} \text{ MeV}$ [4]. Mit der Forderung (dabei bediene ich mich der Vorgehensweise, die auch zu Gl. 7.6 führte)

$$\frac{1}{32\pi^2} |\lambda^{\ell u} \lambda^{\ell c*}|^2 \frac{m_\ell^2}{m_{LQ}^4} < \frac{3\Delta m_D}{2f_D^2 m_D}, \quad (7.8)$$

erhält man:

$$|\lambda^{\ell u} \lambda^{\ell c*}| < 1,1 \times 10^{-1} \left(\frac{m_{LQ}}{100 \text{ GeV}} \right)^2 \left(\frac{1 \text{ GeV}}{m_\ell} \right). \quad (7.9)$$

Dies ist nur geringfügig niedriger als in [1]. Für die $B^0 - \bar{B}^0$ Massendifferenz existiert der Wert [4] $\Delta m_B = 3.2 \times 10^{-10} \text{ MeV}$. Man kann daher fordern (analog zu Gl. 7.8):

$$|\lambda^{\ell d} \lambda^{\ell b*}| < 2,7 \times 10^{-1} \left(\frac{m_{LQ}}{100 \text{ GeV}} \right)^2 \left(\frac{1 \text{ GeV}}{m_\ell} \right). \quad (7.10)$$

Auch dieser Wert ist nur geringfügig niedriger als in [1].

7.2 LQ- $(S \pm P)$ -Wechselwirkungen

Auch hier können $\lambda_L \lambda_R$ -Kopplungen auftreten. Diese wurden in [15] behandelt, liefern jedoch keine stärkeren Schranken, als die im vorangegangenen Abschnitt berechneten Werte. Daher werden sie hier nicht weiter verfolgt.

Stärkere Schranken erhält man, wenn man annimmt, dass das Leptoquark kein Eichboson ist (siehe [1]), dieser Möglichkeit wird hier jedoch nicht nachgegangen.

Kapitel 8

Diskussion

In diesem Kapitel werden die Resultate aus den Kapiteln 3-7 im Hinblick auf die Güte der berechneten Schranken an die Kopplungskonstantenprodukte und an die einzelnen Kopplungskonstanten analysiert. Dabei werden die vorgenommenen Abschätzungen und Näherungen näher betrachtet. Weitere, in den vorangegangenen Kapiteln nicht behandelte, Mesonenzerfälle werden dahingehend überprüft, ob aus ihnen gute Schranken an Kopplungskonstanten(produkte) erhalten werden können. Zudem werden - sofern vorhanden - weitere Möglichkeiten, insbesondere Leptonenzerfälle, diskutiert, um Schranken an SUSY- und LQ- Kopplungskonstanten(produkte) zu berechnen.

8.1 Schranken aus R -Werten

Die berechneten Schranken aus R -Werten haben den Vorteil, dass die Zerfallskonstante sich aus den Berechnungen herauskürzt. Die LR-Kopplungen liefern besonders starke Schranken, da die Drehimpulsunterdrückung aufgehoben ist. Zudem sind Schranken unter Berücksichtigung beliebigen Neutrino-*flavours* berechnbar (siehe [44]). Die in diese Rechnungen eingehenden Quarkmassen sind jedoch besonders bei den leichten Mesonen eine Fehlerquelle. Es muss weiterhin darauf hingewiesen werden, dass beim K-Meson die Schranken aus FCNC-Prozessen bei neutralen Mesonen deutlich stärker sind, als die Schranken aus dem R -Wert.

8.2 Schranken aus semileptonischen Zerfällen

Die Schranken an LR-Kopplungen (siehe Kapitel 4.1.2) sind vergleichsweise schwach. Aus den LL-Kopplungen können zahlreiche Schranken berechnet werden, wobei allerdings auch einige Näherungen gemacht wurden, so wurden beispielsweise sämtliche Leptonenmassen vernachlässigt. Diese Näherung ist für Myonen problematisch, da deren Masse von der Größenordnung der Pionenmasse ist. Die daraus abgeleitete Schranke ist daher nur als Abschätzung zu verstehen. Trotzdem bieten semileptonische Zerfälle gerade bei schweren Mesonen ein weites Feld um Kopplungskonstanten zu berechnen. Hier verweise ich auf inklusive

Zerfälle des B -Mesons in ein oder zwei τ -Leptonen und die HQE im Zusammenhang mit den Zerfallskonstanten f_D und f_B . Dort bieten sich interessante Möglichkeiten, um Schranken an Kopplungskonstantenprodukte abzuschätzen (Kapitel 6.1.2).

8.3 Schranken aus Zerfällen schwerer Mesonen

Bei den Zerfällen schwerer Mesonen ergeben sich einige Schwierigkeiten:

- Die Zerfallskonstanten f_D und f_B sind nur sehr ungenau bekannt. Daneben ist die experimentelle Unsicherheit in den CKM-Matrixelementen zu beachten.
- Die QCD-Korrekturen wurden hier in allen Ordnungen außer Acht gelassen (dazu verweise ich auf die Literatur, siehe z.B. [66]).
- Die Beziehung zwischen f_D und f_B kann nur bei minimalem und maximalem Impulsübertrag auf einfache Weise beschrieben werden. Die Zwischenregion muss daher übergangen werden.

Trotzdem bieten Zerfälle schwerer Mesonen einzigartige Möglichkeiten in der Suche nach seltenen Zerfällen, FCNC und CP-Verletzung¹. Durch zukünftige Experimente können die hier berechneten Werte verbessert und neue Werte hinzugewonnen werden. Für das Υ -Meson können die Berechnungen zu leptonischen Zerfällen neutraler Mesonen übernommen werden.

Aus hadronischen Zerfällen können Schranken an SUSY-Kopplungskonstantenprodukte mit λ''_{ijk} berechnet werden.

8.4 Sonstige Mesonenzerfälle

Es wurden im Verlauf dieser Arbeit einige Zerfälle nicht näher betrachtet. Die Zerfälle des η -Meson liefern aufgrund der niedrigen Lebensdauer dieses Mesons nur sehr schwache Schranken. Diese können aus anderen Zerfällen besser berechnet werden. Genauso verhält es sich auch mit einigen der berechneten D-Zerfälle. Hier kann allerdings noch auf eine signifikante Verbesserung der experimentellen Daten gehofft werden. Auch die Mischung der neutralen Mesonen liefert noch keine starken Schranken an die Kopplungskonstantenprodukte.

8.5 Alternative Methoden

Es gibt zahlreiche alternative Methoden, um die berechneten und weitere Schranken an Kopplungskonstantenprodukte zu erhalten (siehe auch Kapitel 1.2). Ich möchte hier nur noch auf

¹Da die starke Kopplungskonstante bei hohen Energien klein wird (asymptotische Freiheit), eröffnet sich zudem die Möglichkeit perturbativer Berechnungen auf diesem Gebiet.

τ -Zerfälle in der SUSY eingehen, da ich zu diesen Zerfällen einige Berechnungen durchgeführt habe. Diese werden im Folgenden kurz zusammengefasst.

Motiviert durch [68] werden Schranken durch Squark- und Slepton- Austausch in τ -Zerfällen über R -Paritätsverletzung diskutiert. Eine detailliertere Studie der τ -Zerfälle kann [69] entnommen werden. M. Sher konzentriert sich in [68] auf Higgs-vermittelte τ Zerfälle. Im MSSM+ \mathcal{R}_P existieren aber weitere mögliche Zerfallsmoden, die durch den LLE- und den LQD-Term des \mathcal{R}_P -Superpotentials erzeugt werden.

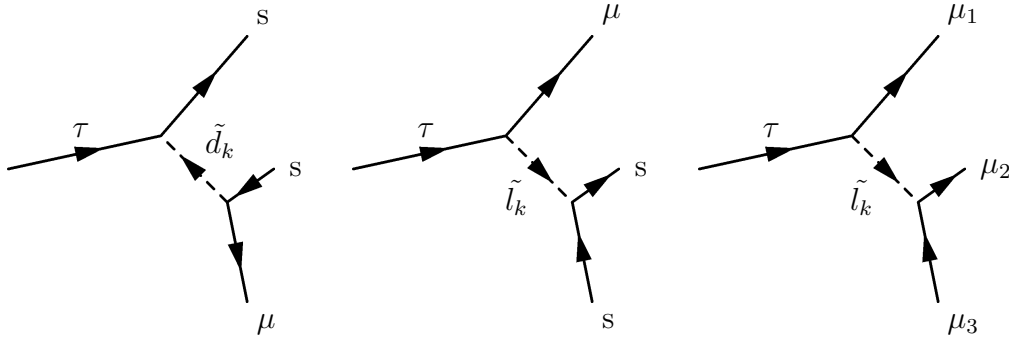


Abbildung 8.1: τ -Zerfall über Squark- oder Slepton-Austausch

Um die Zerfallsrate Γ zu erhalten muss die invariante Amplitude \mathcal{M} berechnet werden, aus der mit Fermi's Goldener Regel Γ gewonnen werden kann. Die benötigten Matrixelemente sind [69]:

$$\langle 0 | \bar{s} \gamma^\mu \gamma^5 s | \eta_8 \rangle = i \frac{F_\eta^8}{\sqrt{2}} p_{\mu\eta_8}, \quad (8.1)$$

und

$$\langle 0 | \bar{s} \gamma^5 s | \eta_8 \rangle = -i \sqrt{6} \frac{F_\eta^8 m_{\eta_8}^2}{m_u + m_d + 4m_s}. \quad (8.2)$$

Das Quadrat der invarianten Amplitude der einzelnen Beiträge ist damit:

$$(\mathcal{M}_{\tau \rightarrow \mu \eta})_1 = \frac{\lambda'_{32k} \lambda'_{22k}}{m_{\tilde{d}_k}^2} \frac{1}{2} \langle 0 | \bar{s} \gamma^\mu \gamma^5 s | \eta \rangle \frac{1}{2} (\bar{\tau} \gamma_\mu (1 - \gamma^5) \mu), \quad (8.3)$$

$$(\mathcal{M}_{\tau \rightarrow \mu \eta})_2 = \frac{\lambda_{3k2} \lambda'_{k22}}{m_{\tilde{l}_k}^2} \frac{1}{2} \langle 0 | \bar{s} \gamma^5 s | \eta \rangle \frac{1}{2} (\bar{\tau} (1 - \gamma^5) \mu), \quad (8.4)$$

$$(\mathcal{M}_{\tau \rightarrow \mu \eta})_3 = \frac{\lambda_{2k3} \lambda'_{k22}}{m_{\tilde{l}_k}^2} \frac{1}{2} \langle 0 | \bar{s} \gamma^5 s | \eta \rangle \frac{1}{2} (\bar{\tau} (1 - \gamma^5) \mu), \quad (8.5)$$

und damit hat man (für $\eta = \eta_8$):

$$|\mathcal{M}_{\tau \rightarrow \mu \eta}|^2 = \frac{1}{8} \left| \frac{\lambda'_{32k} \lambda'_{22k}}{m_{\tilde{d}_k}^2} - 2\sqrt{3} \frac{m_{\eta_8}^2}{m_\tau (m_u + m_d + 4m_s)} \frac{(\lambda_{3k2} \lambda'_{k22} + \lambda_{2k3} \lambda'_{k22})}{m_{\tilde{l}_k}^2} \right|^2 F_{\eta_8}^2 m_\tau^2 (m_\tau^2 - m_{\eta_8}^2). \quad (8.6)$$

Die μ - Masse wurde vernachlässigt. Für den Slepton-vermittelten Zerfall $\tau \rightarrow 3\mu$ erhält man:

$$|\mathcal{M}_{\tau \rightarrow 3\mu}|^2 = \frac{|\lambda_{3k2} \lambda_{2k2} + \lambda_{2k3} \lambda_{2k2}|^2}{m_{\tilde{l}_k}^4} 16(p_\tau p_{\mu_3})(p_{\mu_1} p_{\mu_2}) = \frac{|\lambda_{3k2} \lambda_{2k2} + \lambda_{2k3} \lambda_{2k2}|^2}{m_{\tilde{l}_k}^4} m_\tau^4. \quad (8.7)$$

Die Zerfallsraten sind damit (die μ -Masse wurde vernachlässigt, eine Summation über die Anfangszustandspins, $\frac{1}{2s_\tau+1} = \frac{1}{2}$, wurde durchgeführt):

$$\begin{aligned} \Gamma(\tau \rightarrow \mu \eta) &= \frac{1}{2^8 \pi} \left| \frac{\lambda'_{32k} \lambda'_{22k}}{m_{\tilde{d}_k}^2} - 2\sqrt{3} \frac{m_{\eta_8}^2}{m_\tau (m_u + m_d + 4m_s)} \frac{(\lambda_{3k2} \lambda'_{k22} + \lambda_{2k3} \lambda'_{k22})}{m_{\tilde{l}_k}^2} \right|^2 F_\eta^2 \frac{(m_\tau^2 - m_\eta^2)^2}{m_\tau} \\ &= 1.29 \cdot 10^{-12} \left| \frac{\lambda'_{32k} \lambda'_{22k}}{m_{\tilde{d}_k}^2} - 2\sqrt{3} \frac{m_{\eta_8}^2}{m_\tau (m_u + m_d + 4m_s)} \frac{(\lambda_{3k2} \lambda'_{k22} + \lambda_{2k3} \lambda'_{k22})}{m_{\tilde{l}_k}^2} \right|^2 100 \text{GeV}^5, \end{aligned} \quad (8.8)$$

und

$$\begin{aligned} \Gamma(\tau \rightarrow 3\mu) &= \frac{1}{(2\pi)^{3 \cdot 2^6}} \frac{|\lambda_{3k2} \lambda_{2k2} + \lambda_{2k3} \lambda_{2k2}|^2}{m_{\tilde{l}_k}^4} m_\tau^5 \\ &= 1.12 \cdot 10^{-11} |\lambda_{3k2} \lambda_{2k2} + \lambda_{2k3} \lambda_{2k2}|^2 \left(\frac{100 \text{GeV}}{m_{\tilde{l}_k}} \right)^4 \text{GeV}. \end{aligned} \quad (8.9)$$

Wir beschränken uns nun auf zwei nicht-verschwindende Kopplungskonstanten und nehmen an, das alle Übrigen verschwinden. Die Schranken an die Kopplungskonstantenprodukte sind damit:

$$|\lambda'_{32k} \lambda'_{22k}| < 4.0 \times 10^{-3} \left(\frac{m_{\tilde{d}_k}}{100 \text{GeV}} \right)^2, \quad (8.10)$$

$$|\lambda_{3k2} \lambda'_{k22}| < 4.8 \times 10^{-3} \left(\frac{m_{\tilde{d}_k}}{100 \text{GeV}} \right)^2, \quad (8.11)$$

mit einem direkt entsprechenden Ausdruck für $|\lambda_{2k3} \lambda'_{k22}|$ und mit einem direkt entsprechenden Ausdruck für $|\lambda_{2k3} \lambda_{2k2}|$ hat man:

$$|\lambda_{3k2} \lambda_{2k2}| < 6.2 \times 10^{-4} \left(\frac{m_{\tilde{l}_k}}{100 \text{GeV}} \right)^2. \quad (8.12)$$

Bei diesen Rechnungen wurde Folgendes verwendet [4]:

- $m_\eta = 547.30 \text{ MeV}$,
- $F_{\eta 8} = 154 \text{ MeV}$,
- $\frac{\Gamma(\tau \rightarrow \mu \eta)}{\Gamma} < 9.6 \times 10^{-6}$ und $\frac{\Gamma(\tau \rightarrow 3\mu)}{\Gamma} < 1.9 \times 10^{-6}$.
- Die totale Zerfallsrate Γ ist:

$$\Gamma = \frac{\hbar}{\tau} = 2.265 \cdot 10^{-12} \text{ GeV} ,$$

also:

$$\Gamma(\tau \rightarrow \mu \eta) < 2.17 \cdot 10^{-17} \text{ GeV} \text{ und } \Gamma(\tau \rightarrow 3\mu) < 4.30 \cdot 10^{-18} \text{ GeV} .$$

Die Schranke für $|\lambda'_{32k} \lambda'_{22k}|$ ist nicht sehr gut bestimmt, da die experimentelle Unsicherheit in F_η relativ groß ist.

Es gibt auch andere Wege, diese Schranken zu berechnen:

$$B \rightarrow \mu \bar{\mu} X \text{ und } B \rightarrow l \nu X .$$

Um diese Zerfallsraten zu berechnen müssen einige Näherungen für die Quarkströme vorgenommen werden (*heavy quark expansion*, QCD Korrekturen). Die obigen Schranken sind daher genauer.

Es gibt einige leptonische τ Zerfälle, mit e's und μ 's im Endzustand, die ähnlich dem Zerfall $\tau \rightarrow 3\mu$ berechnet werden können. Es ergeben sich die folgenden oberen Schranken (in Einheiten von $\left(\frac{m_{\tilde{k}}}{100 \text{ GeV}}\right)^2$):

$$\tau \rightarrow e^- e^+ e^- : |\lambda_{3k1} \lambda_{1k1}| < 7.7 \cdot 10^{-4}$$

$$\tau \rightarrow \mu^- e^+ e^- : |\lambda_{3k1} \lambda_{2k1}| < 5.9 \cdot 10^{-4} \text{ und } |\lambda_{3k2} \lambda_{1k1}| < 5.9 \cdot 10^{-4}$$

$$\tau \rightarrow \mu^+ e^- e^- : |\lambda_{3k1} \lambda_{2k1}| < 5.5 \cdot 10^{-4}$$

$$\tau \rightarrow e^+ \mu^- \mu^- : |\lambda_{3k2} \lambda_{1k2}| < 5.5 \cdot 10^{-4}$$

$$\tau \rightarrow e^- \mu^+ \mu^- : |\lambda_{3k2} \lambda_{1k2}| < 6.0 \cdot 10^{-4} \text{ und } |\lambda_{3k1} \lambda_{2k2}| < 6.0 \cdot 10^{-4}$$

Dieselben Schranken gelten unter Vertauschung des 1. und 3. Index in λ . Falls $i = j$ ist für λ_{ijk} die Kopplung gleich Null (Asymmetrie in den ersten beiden Indizes).

Der Zerfall $\tau \rightarrow \mu \gamma$ liefert keine starken Schranken. Die aus den entsprechenden Ein-Schleifen-Graphen berechenbaren Werte liegen im Bereich von $10^{-2} \left(\frac{m_{SUSY}}{100 \text{ GeV}}\right)^2$.

Anhang

Tabellen

Symbol	Bedeutung
p	Impuls
E	Energie
m	Masse
\mathcal{L}	Lagrangefunktion
\mathcal{M}	invariante Amplitude (Matrixelement)
Γ	Zerfallsrate
τ	Lebensdauer
M	Meson
ℓ	Lepton
C	Ladungskonjugationsoperator
$P_{L,R}$	Projektionsoperator
A^\dagger	hermitesche Konjugation von A
a^*	komplexe Konjugation von a

Tabelle 1: *Liste der verwendeten Symbole*

Konstanten			
$\hbar = 6,58211889(26) \times 10^{-22} \text{MeVs}$		$G_F = 1,16639(1) \times 10^{-5} \text{GeV}^{-2}$	
Massen/MeV			
$m_u = 1,5..4,5$	$m_e = 0,510998902(21)$	$m_{\pi^+} = 139,57018(35)$	$m_{\pi^0} = 134,9766(6)$
$m_d = 5..8,5$	$m_\mu = 105,658357(5)$	$m_{K^+} = 493,677(16)$	$m_{K^0} = 497,672(31)$
$m_s = 80..155$	$m_\tau = 1776,99_{-0,26}^{+0,29}$	$m_{D^+} = 1869,3(5)$	$m_{D^0} = 1864,5(5)$
$m_c = 1000..1400$	$\Delta m_{K^0} = 3,490(6) \cdot 10^{-12}$	$m_{B^+} = 5279,0(5)$	$m_{B^0} = 5279,4(5)$
$m_b = 4000..4500$	$\Delta m_{D^0} < 5 \cdot 10^{-11}$	$m_{D_s^+} = 1968,5(6)$	$m_{B_s^0} = 5369,6(24)$
$\frac{m_u+m_d}{2} = 2,5..5,5$	$\Delta m_{B^0} = 3,22(5) \cdot 10^{-10}$		
Zerfallskonstanten/MeV			
$f_{\pi^+} = 130,7 \pm 0,1 \pm 0,36$ ($f_{\pi^0} = 130 \pm 5$)		$f_{K^+} = 159,8 \pm 1,4 \pm 0,44$	
$f_{D^+} = 300_{-150-40}^{+180+80}$		$f_{D_s^+} = 285 \pm 19 \pm 40$	
Lebensdauer/s			
$\tau_{\pi^+} = 2,6033(5) \cdot 10^{-8}$		$\tau_{\pi^0} = 8,4(6) \cdot 10^{-17}$	
$\tau_{K^+} = 1,2384(24) \cdot 10^{-8}$		$\tau_{K_L^0} = 5,17(4) \cdot 10^{-8}$	
$\tau_{D^+} = 1051(13) \cdot 10^{-15}$		$\tau_{D^0} = 411,7(27) \cdot 10^{-15}$	
$\tau_{B^+} = 1,674(18) \cdot 10^{-12}$		$\tau_{B^0} = 1,542(16) \cdot 10^{-12}$	
$\tau_{D_s^+} = 490(9) \cdot 10^{-15}$		$\tau_{B_s^0} = 1,461(57) \cdot 10^{-12}$	

Tabelle 2: Werte der verwendeten Größen [4]

σ_i -Matrizen (Pauli-Matrizen)
$\sigma_1 = \begin{pmatrix} 0 & 1 \\ 1 & 0 \end{pmatrix} \quad \sigma_2 = \begin{pmatrix} 0 & -i \\ i & 0 \end{pmatrix} \quad \sigma_3 = \begin{pmatrix} 1 & 0 \\ 0 & -1 \end{pmatrix}$
γ -Matrizen in Dirac-Darstellung
$\gamma^0 = \begin{pmatrix} \mathbf{1} & 0 \\ 0 & -\mathbf{1} \end{pmatrix} \quad \gamma^\mu = \begin{pmatrix} 0 & \sigma^\mu \\ \sigma^\mu & 0 \end{pmatrix} \quad \gamma^5 = \begin{pmatrix} 0 & \mathbf{1} \\ \mathbf{1} & 0 \end{pmatrix}$
Gell-Mann-Matrizen
$\lambda_0 = \sqrt{\frac{2}{3}} \begin{pmatrix} 1 & 0 & 0 \\ 0 & 1 & 0 \\ 0 & 0 & 1 \end{pmatrix} \quad \lambda_1 = \begin{pmatrix} 0 & 1 & 0 \\ 1 & 0 & 0 \\ 0 & 0 & 0 \end{pmatrix} \quad \lambda_2 = \begin{pmatrix} 0 & -i & 0 \\ i & 0 & 0 \\ 0 & 0 & 0 \end{pmatrix}$
$\lambda_3 = \begin{pmatrix} 1 & 0 & 0 \\ 0 & -1 & 0 \\ 0 & 0 & 0 \end{pmatrix} \quad \lambda_4 = \begin{pmatrix} 0 & 0 & 1 \\ 0 & 0 & 0 \\ 1 & 0 & 0 \end{pmatrix} \quad \lambda_5 = \begin{pmatrix} 0 & 0 & -i \\ 0 & 0 & 0 \\ i & 0 & 0 \end{pmatrix}$
$\lambda_6 = \begin{pmatrix} 0 & 0 & 0 \\ 0 & 0 & 1 \\ 0 & 1 & 0 \end{pmatrix} \quad \lambda_7 = \begin{pmatrix} 0 & 0 & 0 \\ 0 & 0 & -i \\ 0 & i & 0 \end{pmatrix} \quad \lambda_8 = \frac{1}{\sqrt{3}} \begin{pmatrix} 1 & 0 & 0 \\ 0 & 1 & 0 \\ 0 & 0 & -2 \end{pmatrix}$

Tabelle 3: Zusammenfassung der verwendeten Matrizen

Interaction	4-fermion vertex	Fierz-transformed vertex
$(\lambda_{LV_0} \bar{q}_L \gamma_\mu \ell_L$ $+ \lambda_{RV_0} \bar{d}_R \gamma_\mu e_R) V_0^{\mu\dagger}$	$\frac{\lambda_{RV_0}^2}{m_0^2} (\bar{d}_R \gamma^\mu e_R) (\bar{e}_R \gamma_\mu d_R)$ $\frac{\lambda_{LV_0}^2}{m_0^2} (\bar{u}_L \gamma^\mu \nu_L) (\bar{\nu}_L \gamma_\mu u_L)$ $\frac{\lambda_{LV_0}^2}{m_0^2} (\bar{d}_L \gamma^\mu e_L) (\bar{\nu}_L \gamma_\mu u_L)$ $\frac{\lambda_{LV_0}^2}{m_0^2} (\bar{d}_L \gamma^\mu e_L) (\bar{e}_L \gamma_\mu d_L)$ $\frac{\lambda_{LV_0} \lambda_{RV_0}}{m_0^2} (\bar{d}_R \gamma^\mu e_R) (\bar{\ell}_L \gamma_\mu q_L)$	$\frac{\lambda_{RV_0}^2}{m_0^2} (\bar{d}_R \gamma^\mu d_R) (\bar{e}_R \gamma_\mu e_R)$ $\frac{\lambda_{LV_0}^2}{m_0^2} (\bar{u}_L \gamma^\mu u_L) (\bar{\nu}_L \gamma_\mu \nu_L)$ $\frac{\lambda_{LV_0}^2}{m_0^2} (\bar{d}_L \gamma^\mu u_L) (\bar{\nu}_L \gamma_\mu e_L)$ $\frac{\lambda_{LV_0}^2}{m_0^2} (\bar{d}_L \gamma^\mu d_L) (\bar{e}_L \gamma_\mu e_L)$ $\frac{\lambda_{LV_0} \lambda_{RV_0}}{m_0^2} (\bar{d}_R u_L) (\bar{\nu}_L e_R)$ $\frac{\lambda_{LV_0} \lambda_{RV_0}}{m_0^2} (\bar{d}_R d_L) (\bar{e}_L e_R)$
$\lambda_{RV_0} \bar{u}_R \gamma_\mu e_R \tilde{V}_0^{\mu\dagger}$	$\frac{\lambda_{RV_0}^2}{\tilde{m}_0^2} (\bar{u}_R \gamma^\mu e_R) (\bar{e}_R \gamma_\mu u_R)$	$\frac{\lambda_{RV_0}^2}{\tilde{m}_0^2} (\bar{u}_R \gamma^\mu u_R) (\bar{e}_R \gamma_\mu e_R)$
$(\lambda_{LV_{1/2}} \bar{d}_R^c \gamma_\mu \ell_L$ $+ \lambda_{RV_{1/2}} \bar{q}_L^c \gamma_\mu e_R) V_{1/2}^{\mu\dagger}$	$\frac{\lambda_{RV_{1/2}}^2}{m_{1/2}^2} (\bar{u}_L^c \gamma^\mu e_R) (\bar{e}_R \gamma_\mu u_L^c)$ $\frac{\lambda_{RV_{1/2}}^2}{m_{1/2}^2} (\bar{d}_L^c \gamma^\mu e_R) (\bar{e}_R \gamma_\mu d_L^c)$ $\frac{\lambda_{LV_{1/2}}^2}{m_{1/2}^2} (\bar{d}_R^c \gamma^\mu e_L) (\bar{e}_L \gamma_\mu d_R^c)$ $\frac{\lambda_{LV_{1/2}}^2}{m_{1/2}^2} (\bar{d}_R^c \gamma^\mu \nu_L) (\bar{\nu}_L \gamma_\mu d_R^c)$ $\frac{\lambda_{LV_{1/2}} \lambda_{RV_{1/2}}}{m_{1/2}^2} (\bar{d}_L^c \gamma^\mu e_R) (\bar{e}_L \gamma_\mu d_R^c)$ $\frac{\lambda_{LV_{1/2}} \lambda_{RV_{1/2}}}{m_{1/2}^2} (\bar{u}_L^c \gamma^\mu e_R) (\bar{\nu}_L \gamma_\mu d_R^c)$	$\frac{\lambda_{RV_{1/2}}^2}{m_{1/2}^2} (\bar{u}_L^c \gamma^\mu u_L^c) (\bar{e}_R \gamma_\mu e_R)$ $\frac{\lambda_{RV_{1/2}}^2}{m_{1/2}^2} (\bar{d}_L^c \gamma^\mu d_L^c) (\bar{e}_R \gamma_\mu e_R)$ $\frac{\lambda_{LV_{1/2}}^2}{m_{1/2}^2} (\bar{d}_R^c \gamma^\mu d_R^c) (\bar{e}_L \gamma_\mu e_L)$ $\frac{\lambda_{LV_{1/2}}^2}{m_{1/2}^2} (\bar{d}_R^c \gamma^\mu d_R^c) (\bar{\nu}_L \gamma_\mu \nu_L)$ $\frac{\lambda_{LV_{1/2}} \lambda_{RV_{1/2}}}{m_{1/2}^2} (\bar{d}_L^c d_R^c) (\bar{e}_L e_R)$ $\frac{\lambda_{LV_{1/2}} \lambda_{RV_{1/2}}}{m_{1/2}^2} (\bar{u}_L^c d_R^c) (\bar{\nu}_L e_R)$
$\lambda_{LV_{1/2}} \bar{u}_R^c \gamma_\mu \ell_L \tilde{V}_{1/2}^{\mu\dagger}$	$\frac{\lambda_{LV_{1/2}}^2}{\tilde{m}_{1/2}^2} (\bar{u}_R^c \gamma^\mu \nu_L) (\bar{\nu}_L \gamma_\mu u_R^c)$ $\frac{\lambda_{LV_{1/2}}^2}{\tilde{m}_{1/2}^2} (\bar{u}_R^c \gamma^\mu e_L) (\bar{e}_L \gamma_\mu u_R^c)$	$\frac{\lambda_{LV_{1/2}}^2}{\tilde{m}_{1/2}^2} (\bar{u}_R^c \gamma^\mu u_R^c) (\bar{\nu}_L \gamma_\mu \nu_L)$ $\frac{\lambda_{LV_{1/2}}^2}{\tilde{m}_{1/2}^2} (\bar{u}_R^c \gamma^\mu u_R^c) (\bar{e}_L \gamma_\mu e_L)$
$\lambda_{LV_1} \bar{q}_L \gamma_\mu \vec{\sigma} \ell_L \cdot \vec{V}_1^{\mu\dagger}$	$\frac{\lambda_{LV_1}^2}{m_1^2} (\bar{u}_L \gamma^\mu \nu_L) (\bar{\nu}_L \gamma_\mu u_L)$ $-\frac{\lambda_{LV_1}^2}{m_1^2} (\bar{u}_L \gamma^\mu \nu_L) (\bar{e}_L \gamma_\mu d_L)$ $\frac{\lambda_{LV_1}^2}{m_1^2} (\bar{d}_L \gamma^\mu e_L) (\bar{e}_L \gamma_\mu d_L)$ $2 \frac{\lambda_{LV_1}^2}{m_1^2} (\bar{u}_L \gamma^\mu e_L) (\bar{e}_L \gamma_\mu u_L)$ $2 \frac{\lambda_{LV_1}^2}{m_1^2} (\bar{d}_L \gamma^\mu \nu_L) (\bar{\nu}_L \gamma_\mu d_L)$	$\frac{\lambda_{LV_1}^2}{m_1^2} (\bar{u}_L \gamma^\mu u_L) (\bar{\nu}_L \gamma_\mu \nu_L)$ $-\frac{\lambda_{LV_1}^2}{m_1^2} (\bar{u}_L \gamma^\mu d_L) (\bar{e}_L \gamma_\mu \nu_L)$ $\frac{\lambda_{LV_1}^2}{m_1^2} (\bar{d}_L \gamma^\mu d_L) (\bar{e}_L \gamma_\mu e_L)$ $2 \frac{\lambda_{LV_1}^2}{m_1^2} (\bar{u}_L \gamma^\mu u_L) (\bar{e}_L \gamma_\mu e_L)$ $2 \frac{\lambda_{LV_1}^2}{m_1^2} (\bar{d}_L \gamma^\mu d_L) (\bar{\nu}_L \gamma_\mu \nu_L)$

Table 4: 4 -Fermion-vertices for vector leptiquarks [1].

Interaction	4-fermion vertex	Fierz-transformed vertex
$\lambda_{LS_0} \bar{q}_L^c i \sigma_2 \ell_L$ $+ \lambda_{RS_0} \bar{u}_R^c e_R) S_0^\dagger$	$\frac{\lambda_{RS_0}^2}{m_0^2} (\bar{u}_R^c e_R) (\bar{e}_R u_R^c)$ $\frac{\lambda_{SV_0}^2}{m_0^2} (\bar{u}_L^c e_L) (\bar{e}_L u_L^c)$ $\frac{\lambda_{LS_0}^2}{m_0^2} (\bar{u}_L^c e_L) (\bar{\nu}_L d_L^c)$ $\frac{\lambda_{LS_0}^2}{m_0^2} (\bar{d}_L^c \nu_L) (\bar{\nu}_L d_L^c)$ $\frac{\lambda_{LS_0} \lambda_{RS_0}}{m_0^2} (\bar{q}_L^c i \sigma_2 \ell_L) (\bar{e}_R u_R^c)$	$\frac{\lambda_{RS_0}^2}{2m_0^2} (\bar{u}_R^c \gamma^\mu u_R^c) (\bar{e}_R \gamma_\mu e_R)$ $\frac{\lambda_{LS_0}^2}{2m_0^2} (\bar{u}_L^c \gamma^\mu u_L^c) (\bar{e}_L \gamma_\mu e_L)$ $\frac{\lambda_{LS_0}^2}{2m_0^2} (\bar{u}_L^c \gamma^\mu d_L^c) (\bar{\nu}_L \gamma_\mu e_L)$ $\frac{\lambda_{LS_0}^2}{2m_0^2} (\bar{d}_L^c \gamma^\mu d_L^c) (\bar{\nu}_L \gamma_\mu \nu_L)$ $\frac{\lambda_{LS_0} \lambda_{RS_0}}{2m_0^2} (\bar{u}_L^c u_R^c) (\bar{e}_R e_L)$ $\frac{\lambda_{LS_0} \lambda_{RS_0}}{2m_0^2} (\bar{d}_L^c u_R^c) (\bar{e}_R \nu_L)$
$\lambda_{RS_0} \bar{d}_R^c e_R \tilde{S}_0^\dagger$	$\frac{\lambda_{RS_0}^2}{m_0^2} (\bar{d}_R^c e_R) (\bar{e}_R d_R^c)$	$\frac{\lambda_{RS_0}^2}{m_0^2} (\bar{d}_R^c \gamma^\mu d_R^c) (\bar{e}_R \gamma_\mu e_R)$
$(\lambda_{LS_{1/2}} \bar{u}_R \ell_L$ $+ \lambda_{RS_{1/2}} \bar{q}_L i \sigma_2 e_R) S_{1/2}^\dagger$	$\frac{\lambda_{RS_{1/2}}^2}{m_{1/2}^2} (\bar{u}_R \nu_L) (\bar{\nu}_L u_R)$ $\frac{\lambda_{RS_{1/2}}^2}{m_{1/2}^2} (\bar{u}_R e_L) (\bar{e}_L u_R)$ $\frac{\lambda_{LS_{1/2}}^2}{m_{1/2}^2} (\bar{u}_L e_R) (\bar{e}_R u_L)$ $\frac{\lambda_{LS_{1/2}}^2}{m_{1/2}^2} (\bar{d}_L e_R) (\bar{e}_R d_L)$ $\frac{\lambda_{LS_{1/2}} \lambda_{RS_{1/2}}}{m_{1/2}^2} (\bar{u}_R \nu_L) (\bar{e}_R d_L)$ $\frac{\lambda_{LS_{1/2}} \lambda_{RS_{1/2}}}{m_{1/2}^2} (\bar{u}_R e_L) (\bar{e}_R u_L)$	$\frac{\lambda_{RV_{1/2}}^2}{2m_{1/2}^2} (\bar{u}_R \gamma^\mu u_R) (\bar{\nu}_L \gamma_\mu \nu_L)$ $\frac{\lambda_{RS_{1/2}}^2}{2m_{1/2}^2} (\bar{u}_R \gamma^\mu u_R) (\bar{e}_L \gamma_\mu e_L)$ $\frac{\lambda_{LS_{1/2}}^2}{2m_{1/2}^2} (\bar{u}_L \gamma^\mu u_L) (\bar{e}_R \gamma_\mu e_R)$ $\frac{\lambda_{LS_{1/2}}^2}{2m_{1/2}^2} (\bar{d}_L \gamma_\mu d_L) (\bar{e}_R \gamma_\mu e_R)$ $\frac{\lambda_{LS_{1/2}} \lambda_{RS_{1/2}}}{2m_{1/2}^2} (\bar{u}_R d_L) (\bar{e}_R \nu_L)$ $\frac{\lambda_{LV_{1/2}} \lambda_{RV_{1/2}}}{2m_{1/2}^2} (\bar{u}_R u_L) (\bar{e}_R e_L)$
$\lambda_{LS_{1/2}} \bar{d}_R \ell_L \tilde{S}_{1/2}^\dagger$	$\frac{\lambda_{LS_{1/2}}^2}{\tilde{m}_{1/2}^2} (\bar{d}_R^c \nu_L) (\bar{\nu}_L d_R)$ $\frac{\lambda_{LS_{1/2}}^2}{\tilde{m}_{1/2}^2} (\bar{d}_R^c e_L) (\bar{e}_L d_R)$	$\frac{\lambda_{LS_{1/2}}^2}{2\tilde{m}_{1/2}^2} (\bar{d}_R^c \gamma^\mu u d_R) (\bar{\nu}_L \gamma_\mu \nu_L)$ $\frac{\lambda_{LS_{1/2}}^2}{2\tilde{m}_{1/2}^2} (\bar{d}_R^c \gamma^\mu d_R) (\bar{e}_L \gamma_\mu e_L)$
$\lambda_{LS_1} \bar{q}_L^c i \sigma_2 \vec{\sigma} \ell_L \cdot \vec{S}_1^\dagger$	$\frac{\lambda_{LS_1}^2}{m_1^2} (\bar{d}_L^c \nu_L) (\bar{\nu}_L d_L^c)$ $-\frac{\lambda_{LS_1}^2}{m_1^2} (\bar{d}_L^c \nu_L) (\bar{e}_L u_L^c)$ $\frac{\lambda_{LS_1}^2}{m_1^2} (\bar{u}_L^c e_L) (\bar{e}_L u_L^c)$ $2 \frac{\lambda_{LS_1}^2}{m_1^2} (\bar{d}_L^c e_L) (\bar{e}_L d_L^c)$ $2 \frac{\lambda_{LS_1}^2}{m_1^2} (\bar{u}_L^c \nu_L) (\bar{\nu}_L u_L^c)$	$\frac{\lambda_{LS_1}^2}{2m_1^2} (\bar{d}_L^c \gamma^\mu d_L^c) (\bar{\nu}_L \gamma_\mu \nu_L)$ $-\frac{\lambda_{LS_1}^2}{2m_1^2} (\bar{d}_L^c \gamma^\mu u_L^c) (\bar{e}_L \gamma_\mu \nu_L)$ $\frac{\lambda_{LS_1}^2}{2m_1^2} (\bar{u}_L^c \gamma^\mu u_L^c) (\bar{e}_L \gamma_\mu e_L)$ $\frac{\lambda_{LS_1}^2}{m_1^2} (\bar{d}_L^c \gamma^\mu d_L^c) (\bar{e}_L \gamma_\mu e_L)$ $\frac{\lambda_{LV_1}^2}{m_1^2} (\bar{u}_L^c \gamma^\mu u_L^c) (\bar{\nu}_L \gamma_\mu \nu_L)$

Table 5: 4-Fermion-vertices for scalar leptoquarks [1].

Product	Upper bound/ $(\frac{m_{LQ}}{100\text{GeV}})^2$	Exchanged particle	Source of bound
$\Re(\lambda_L^{11}\lambda_L^{*11})$	3.4×10^{-4}	V_O	R_π
$\Re(\lambda_L^{11}\lambda_L^{*11})$	1.7×10^{-3}	V_1	R_π
$\Re(\lambda_L^{11}\lambda_R^{*11})$	9.8×10^{-8}	V_O	R_π
$\Re(\lambda_L^{11}\lambda_R^{*11})$	5.0×10^{-7}	$V_{1/2}$	R_π
$\Re(\lambda_L^{21}\lambda_L^{*21})$	1.7×10^{-3}	V_O	R_π
$\Re(\lambda_L^{21}\lambda_L^{*21})$	3.4×10^{-4}	V_1	R_π
$\Re(\lambda_L^{21}\lambda_R^{*21})$	1.0×10^{-4}	V_O	R_π
$\Re(\lambda_L^{21}\lambda_R^{*21})$	2.0×10^{-5}	$V_{1/2}$	R_π
$ \lambda_L^{11}\lambda_L^{*21} $	2.9×10^{-2}	V_O/V_1	$\pi^+ \rightarrow \bar{\mu}\nu_e$
$ \lambda_L^{11}\lambda_R^{*21} $	1.7×10^{-3}	$V_O/V_{1/2}$	$\pi^+ \rightarrow \bar{\mu}\nu_e$
$\Re(\lambda_L^{12}\lambda_L^{*11})$	2.8×10^{-3}	V_O	R_K
$\Re(\lambda_L^{12}\lambda_L^{*11})$	3.7×10^{-3}	V_1	R_K
$\Re(\lambda_L^{12}\lambda_R^{*11})$	9.2×10^{-7}	V_O	R_K
$\Re(\lambda_L^{12}\lambda_R^{*11})$	1.2×10^{-6}	$V_{1/2}$	R_K
$\Re(\lambda_L^{22}\lambda_L^{*21})$	3.7×10^{-3}	V_O	R_K
$\Re(\lambda_L^{22}\lambda_L^{*21})$	2.8×10^{-3}	V_1	R_K
$\Re(\lambda_L^{22}\lambda_R^{*21})$	2.6×10^{-4}	V_O	R_K
$\Re(\lambda_L^{22}\lambda_R^{*21})$	1.9×10^{-4}	$V_{1/2}$	R_K
$ \lambda_L^{12}\lambda_L^{*21} $	5.8×10^{-3}	V_O/V_1	$K^+ \rightarrow \mu\nu_e$

Table 6: Bounds on products of coupling constants for vector LQs. Bounds with a *) are also valid under the exchange of the lepton indices.

Product	Upper bound/ $(\frac{m_{LQ}}{100\text{GeV}})^2$	Exchanged particle	Source of bound
$ \lambda_L^{12}\lambda_R^{*21} $	4.0×10^{-4}	$V_O/V_{1/2}$	$K^+ \rightarrow \mu\nu_e$
$ \lambda_L^{12}\lambda_L^{*11} $	1.2×10^{-4}	$V_O/V_{1/2}/V_1$	$\frac{BR(K^+ \rightarrow \pi^+ e\bar{e})}{BR(K^+ \rightarrow \pi^0 \bar{e}\nu_e)}$
$ \lambda_L^{12}\lambda_L^{*21} $	1.5×10^{-6}	$V_O/V_{1/2}/V_1$	$\frac{BR(K^+ \rightarrow \pi^+ e\bar{\mu})}{BR(K^+ \rightarrow \pi^0 \bar{\mu}\nu_\mu)}$
$ \lambda_L^{22}\lambda_L^{*11} $	6.5×10^{-6}	$V_O/V_{1/2}/V_1$	$\frac{BR(K^+ \rightarrow \pi^+ \mu\bar{e})}{BR(K^+ \rightarrow \pi^0 \bar{\mu}\nu_\mu)}$
$ \lambda_L^{i2}\lambda_L^{*m1} $	2.9×10^{-6}	$V_{1/2}$	$\frac{BR(K^+ \rightarrow \pi^+ \nu\bar{\nu})}{BR(K^+ \rightarrow \pi^0 \bar{e}\nu_e)}$
$ \lambda_L^{i2}\lambda_L^{*m1} $	1.5×10^{-6}	V_1	$\frac{BR(K^+ \rightarrow \pi^+ \nu\bar{\nu})}{BR(K^+ \rightarrow \pi^0 \bar{e}\nu_e)}$
$ \lambda_L^{22}\lambda_L^{*21} $	7.8×10^{-5}	$V_O/V_{1/2}/V_1$	$\frac{BR(K^+ \rightarrow \pi^+ \mu\bar{\mu})}{BR(K^+ \rightarrow \pi^0 \bar{\mu}\nu_\mu)}$
$ \lambda_L^{i2}\lambda_R^{*m1} $	3.8×10^{-3}	$V_O/V_{1/2}$	$\frac{f_S}{f_+(0)}$
$ \lambda_L^{12}\lambda_L^{*11} $	1.9×10^{-5}	$V_O/V_{1/2}/V_1$	$K_L^0 \rightarrow e\bar{e}$
$ \lambda_L^{12}\lambda_L^{*21} $	9.7×10^{-8}	$V_O/V_{1/2}/V_1$	$K_L^0 \rightarrow \bar{\mu}e$ *)
$ \lambda_L^{22}\lambda_L^{*21} $	2.7×10^{-6}	$V_O/V_{1/2}/V_1$	$K_L^0 \rightarrow \bar{\mu}\mu$
$ \lambda_L^{12}\lambda_R^{*11} $	9.1×10^{-9}	$V_O/V_{1/2}$	$K_L^0 \rightarrow e\bar{e}$
$ \lambda_L^{12}\lambda_R^{*21} $	6.9×10^{-9}	$V_O/V_{1/2}$	$K_L^0 \rightarrow \bar{\mu}e$ *)
$ \lambda_L^{22}\lambda_R^{*21} $	2.8×10^{-7}	$V_O/V_{1/2}$	$K_L^0 \rightarrow \mu\bar{\mu}$
$ \lambda_L^{22}\lambda_L^{*21} $	3.7×10^{-1}	$V_O/V_{1/2}/V_1$	$K^0 - \bar{K}^0$
$ \lambda_L^{32}\lambda_L^{*31} $	2.2×10^{-2}	$V_O/V_{1/2}/V_1$	$K^0 - \bar{K}^0$
$ \lambda_L^{i2}\lambda_L^{*m1} $	7.4×10^{-2}	$V_O/V_{1/2}/V_1$	V_{cd}
$ \lambda_L^{i2}\lambda_L^{*m2} $	3.3×10^{-1}	$V_O/V_{1/2}/V_1$	V_{cs}
$\Re(\lambda_L^{21}\lambda_L^{*22})$	1.0×10^{-1}	V_O/V_1	$D^+ \rightarrow \mu^+\nu_\mu$
$\Re(\lambda_L^{21}\lambda_R^{*22})$	4.3×10^{-3}	$V_O/V_{1/2}$	$D^+ \rightarrow \mu^+\nu_\mu$

Table 6: *Continued.*

Product	Upper bound/ $(\frac{m_{LQ}}{100\text{GeV}})^2$	Exchanged particle	Source of bound
$\Re(\lambda_L^{22}\lambda_L^{*22})$	2.0×10^{-2}	V_O	$\frac{BR(D_s^+ \rightarrow \mu\nu\mu)}{BR(D_s^+ \rightarrow \tau\nu\tau)}$
$\Re(\lambda_L^{22}\lambda_L^{*22})$	9.3×10^{-2}	V_1	$\frac{BR(D_s^+ \rightarrow \mu\nu\mu)}{BR(D_s^+ \rightarrow \tau\nu\tau)}$
$\Re(\lambda_L^{22}\lambda_R^{*22})$	8.3×10^{-4}	V_O	$\frac{BR(D_s^+ \rightarrow \mu\nu\mu)}{BR(D_s^+ \rightarrow \tau\nu\tau)}$
$\Re(\lambda_L^{22}\lambda_R^{*22})$	3.9×10^{-3}	$V_{1/2}$	$\frac{BR(D_s^+ \rightarrow \mu\nu\mu)}{BR(D_s^+ \rightarrow \tau\nu\tau)}$
$\Re(\lambda_L^{32}\lambda_L^{*32})$	9.3×10^{-2}	V_O	$\frac{BR(D_s^+ \rightarrow \mu\nu\mu)}{BR(D_s^+ \rightarrow \tau\nu\tau)}$
$\Re(\lambda_L^{32}\lambda_L^{*32})$	2.0×10^{-2}	V_1	$\frac{BR(D_s^+ \rightarrow \mu\nu\mu)}{BR(D_s^+ \rightarrow \tau\nu\tau)}$
$\Re(\lambda_L^{32}\lambda_R^{*32})$	6.6×10^{-2}	V_O	$\frac{BR(D_s^+ \rightarrow \mu\nu\mu)}{BR(D_s^+ \rightarrow \tau\nu\tau)}$
$\Re(\lambda_L^{32}\lambda_R^{*32})$	1.4×10^{-2}	$V_{1/2}$	$\frac{BR(D_s^+ \rightarrow \mu\nu\mu)}{BR(D_s^+ \rightarrow \tau\nu\tau)}$
$ \lambda_R^{12}\lambda_R^{*11} $	5.6×10^{-3}	$\tilde{V}_O/V_{1/2}$	$\frac{BR(D^+ \rightarrow \pi^+ e\bar{e})}{BR(D^0 \rightarrow \pi^- \nu_e \bar{e})}$
$ \lambda_R^{22}\lambda_R^{*11} $	4.5×10^{-3}	$\tilde{V}_O/V_{1/2}$	$\frac{BR(D^+ \rightarrow \pi^+ \mu\bar{e})}{BR(D^0 \rightarrow \pi^- \nu_e \bar{e})}$ *)
$ \lambda_R^{22}\lambda_R^{*21} $	3.0×10^{-3}	$\tilde{V}_O/V_{1/2}$	$\frac{BR(D^+ \rightarrow \pi^+ \mu\bar{\mu})}{BR(D^0 \rightarrow \pi^- \nu_e \bar{e})}$
$ \lambda_L^{12}\lambda_L^{*11} $	5.6×10^{-3}	$\tilde{V}_{1/2}/V_1^{**})$	$\frac{BR(D^+ \rightarrow \pi^+ e\bar{e})}{BR(D^0 \rightarrow \pi^- \nu_e \bar{e})}$
$ \lambda_L^{22}\lambda_L^{*11} $	4.5×10^{-3}	$\tilde{V}_{1/2}/V_1^{**})$	$\frac{BR(D^+ \rightarrow \pi^+ \mu\bar{e})}{BR(D^0 \rightarrow \pi^- \nu_e \bar{e})}$ *)
$ \lambda_L^{22}\lambda_L^{*21} $	3.0×10^{-3}	$\tilde{V}_{1/2}/V_1^{**})$	$\frac{BR(D^+ \rightarrow \pi^+ \mu\bar{\mu})}{BR(D^0 \rightarrow \pi^- \nu_e \bar{e})}$
$ \lambda_R^{12}\lambda_R^{*11} $	1.6	$\tilde{V}_O/V_{1/2}^{**})$	$D^0 \rightarrow e\bar{e}$
$ \lambda_R^{12}\lambda_R^{*21} $	1.2×10^{-2}	$\tilde{V}_O/V_{1/2}^{**})$	$D^0 \rightarrow \bar{\mu}e$ *)
$ \lambda_R^{22}\lambda_R^{*21} $	6.3×10^{-3}	$\tilde{V}_O/V_{1/2}^{**})$	$D^0 \rightarrow \bar{\mu}\mu$
$ \lambda_R^{22}\lambda_R^{*21} $	1.1	$\tilde{V}_O/V_{1/2}^{**})$	$D^0 - \bar{D}^0$
$ \lambda_R^{32}\lambda_R^{*31} $	6.4×10^{-2}	$\tilde{V}_O/V_{1/2}^{**})$	$D^0 - \bar{D}^0$
$ \lambda_L^{i3}\lambda_L^{*m1} $	1.2×10^{-3}	$V_O/V_{1/2}/V_1$	V_{ub}

Table 6: *Continued; **)* for V_1 a factor 1/2 has to be employed, LL-couplings for D^0 analogous.

Product	Upper bound/ $(\frac{m_{LQ}}{100\text{GeV}})^2$	Exchanged particle	Source of bound
$ \lambda_L^{i3} \lambda_L^{*m2} $	1.4×10^{-2}	$V_O/V_{1/2}/V_1$	V_{cb}
$ \lambda_L^{13} \lambda_L^{*11} $	1.5	V_O/V_1	$B^+ \rightarrow e^+ \nu_e$
$ \lambda_L^{13} \lambda_R^{*11} $	1.2×10^{-4}	$V_O/V_{1/2}$	$B^+ \rightarrow e^+ \nu_e$
$ \lambda_L^{23} \lambda_L^{*21} $	8.4×10^{-3}	V_O/V_1	$B^+ \rightarrow \mu^+ \nu_\mu$
$ \lambda_L^{23} \lambda_R^{*21} $	1.4×10^{-4}	$V_O/V_{1/2}$	$B^+ \rightarrow \mu^+ \nu_\mu$
$ \lambda_L^{33} \lambda_L^{*31} $	2.9×10^{-3}	V_O/V_1	$B^+ \rightarrow \tau^+ \nu_\tau$
$ \lambda_L^{33} \lambda_R^{*31} $	8.4×10^{-4}	$V_O/V_{1/2}$	$B^+ \rightarrow \tau^+ \nu_\tau$
$ \lambda_L^{13} \lambda_L^{*11} $	7.8×10^{-3}	$V_O/V_{1/2}/V_1$	$\frac{BR(B^+ \rightarrow e \bar{e} \pi^+)}{BR(B^+ \rightarrow \nu_e \bar{\nu}_e \pi^0)}$
$ \lambda_L^{13} \lambda_L^{*21} $	1.0×10^{-2}	$V_O/V_{1/2}/V_1$	$\frac{BR(B^+ \rightarrow e \bar{\mu} \pi^+)}{BR(B^+ \rightarrow \nu_e \bar{\nu}_e \pi^0)}$ *)
$ \lambda_L^{23} \lambda_L^{*21} $	1.2×10^{-2}	$V_O/V_{1/2}/V_1$	$\frac{BR(B^+ \rightarrow \mu \bar{\mu} \pi^+)}{BR(B^+ \rightarrow \nu_e \bar{\nu}_e \pi^0)}$
$ \lambda_L^{33} \lambda_L^{*11} $	6.3×10^{-3}	$V_O/V_{1/2}/V_1$	$BR(B^+ \rightarrow \tau \bar{e} X)$ *)
$ \lambda_L^{33} \lambda_L^{*12} $	7.2×10^{-2}	$V_O/V_{1/2}/V_1$	$BR(B^+ \rightarrow \tau \bar{e} X)$ *)
$ \lambda_L^{33} \lambda_L^{*21} $	5.0×10^{-2}	$V_O/V_{1/2}/V_1$	$BR(B^+ \rightarrow \tau \bar{\mu} X)$ *)
$ \lambda_L^{33} \lambda_L^{*22} $	3.9×10^{-4}	$V_O/V_{1/2}/V_1$	$BR(B^+ \rightarrow \tau \bar{\mu} X)$ *)
$ \lambda_L^{33} \lambda_L^{*31} $	2.5×10^{-1}	$V_O/V_{1/2}/V_1$	$BR(B^+ \rightarrow \tau \bar{\tau} X)$
$ \lambda_L^{33} \lambda_L^{*32} $	3.1×10^{-3}	$V_O/V_{1/2}/V_1$	$BR(B^+ \rightarrow \tau \bar{\tau} X)$
$ \lambda_L^{13} \lambda_L^{*12} $	2.2×10^{-5}	$V_O/V_{1/2}/V_1$	$BR(B^+ \rightarrow e \bar{e} K)$
$ \lambda_L^{23} \lambda_L^{*12} $	1.5×10^{-3}	$V_O/V_{1/2}/V_1$	$BR(B^+ \rightarrow \mu \bar{e} K)$ *)
$ \lambda_L^{23} \lambda_L^{*22} $	1.8×10^{-5}	$V_O/V_{1/2}/V_1$	$BR(B^+ \rightarrow \mu \bar{\mu} K)$
$ \lambda_L^{13} \lambda_L^{*11} $	3.1×10^{-4}	$V_O/V_{1/2}/V_1$	$BR(B^+ \rightarrow e \bar{e} \pi)$

Table 6: *Continued.*

Product	Upper bound $/\left(\frac{m_{LQ}}{100\text{GeV}}\right)^2$	Exchanged particle	Source of bound
$ \lambda_L^{23} \lambda_L^{*11} $	1.3×10^{-5}	$V_O/V_{1/2}/V_1$	$BR(B^+ \rightarrow \mu \bar{e} \pi)$ *)
$ \lambda_L^{23} \lambda_L^{*21} $	4.7×10^{-4}	$V_O/V_{1/2}/V_1$	$BR(B^+ \rightarrow \mu \bar{\mu} \pi)$
$ \lambda_L^{13} \lambda_L^{*11} $	2.5×10^{-1}	$V_O/V_{1/2}/V_1$	$B^0 \rightarrow e \bar{e}$
$ \lambda_L^{13} \lambda_L^{*21} $	2.3×10^{-3}	$V_O/V_{1/2}/V_1$	$B^0 \rightarrow \bar{\mu} e$ *)
$ \lambda_L^{23} \lambda_L^{*21} $	1.1×10^{-3}	$V_O/V_{1/2}/V_1$	$B^0 \rightarrow \bar{\mu} \mu$
$ \lambda_L^{13} \lambda_L^{*31} $	2.9×10^{-3}	$V_O/V_{1/2}/V_1$	$B^0 \rightarrow \bar{\tau} e$ *)
$ \lambda_L^{23} \lambda_L^{*31} $	3.7×10^{-3}	$V_O/V_{1/2}/V_1$	$B^0 \rightarrow \bar{\tau} \mu$ *)
$ \lambda_L^{13} \lambda_R^{*11} $	3.0×10^{-5}	$V_O/V_{1/2}$	$B^0 \rightarrow e \bar{e}$
$ \lambda_L^{13} \lambda_R^{*21} $	4.0×10^{-5}	$V_O/V_{1/2}$	$B^0 \rightarrow \bar{\mu} e$ *)
$ \lambda_L^{23} \lambda_R^{*21} $	2.5×10^{-5}	$V_O/V_{1/2}$	$B^0 \rightarrow \mu \bar{\mu}$
$ \lambda_L^{13} \lambda_R^{*31} $	8.5×10^{-4}	$V_O/V_{1/2}$	$B^0 \rightarrow \bar{\tau} e$ *)
$ \lambda_L^{23} \lambda_R^{*31} $	1.1×10^{-3}	$V_O/V_{1/2}$	$B^0 \rightarrow \bar{\tau} \mu$ *)
$ \lambda_L^{13} \lambda_L^{*12} $	1.8	$V_O/V_{1/2}/V_1$	$B_s^0 \rightarrow e \bar{e}$
$ \lambda_L^{13} \lambda_L^{*22} $	4.1×10^{-3}	$V_O/V_{1/2}/V_1$	$B_s^0 \rightarrow \bar{\mu} e$ *)
$ \lambda_L^{23} \lambda_L^{*22} $	1.7×10^{-3}	$V_O/V_{1/2}/V_1$	$B_s^0 \rightarrow \bar{\mu} \mu$
$ \lambda_L^{13} \lambda_R^{*12} $	2.0×10^{-4}	$V_O/V_{1/2}$	$B_s^0 \rightarrow e \bar{e}$
$ \lambda_L^{13} \lambda_R^{*22} $	6.8×10^{-5}	$V_O/V_{1/2}$	$B_s^0 \rightarrow \bar{\mu} e$ *)
$ \lambda_L^{23} \lambda_R^{*22} $	3.9×10^{-5}	$V_O/V_{1/2}$	$B_s^0 \rightarrow \mu \bar{\mu}$
$ \lambda_L^{23} \lambda_L^{*21} $	2.5	$V_O/V_{1/2}/V_1$	$B^0 - \bar{B}^0$
$ \lambda_L^{33} \lambda_L^{*31} $	1.5×10^{-1}	$V_O/V_{1/2}/V_1$	$B^0 - \bar{B}^0$

Table 6: *Continued.*

Product	Upper bound/ $(\frac{m_{SUSY}}{100GeV})^2$	Exchanged particle	Source of bound
$\Re(\lambda'_{11k}\lambda'^*_{11k})$	$6, .8 \times 10^{-4}$	\tilde{d}_R^k	R_π
$\Re(\lambda_{1k1}\lambda'^*_{k11})$	5.0×10^{-7}	$\tilde{\ell}_L^k$	R_π
$\Re(\lambda'_{21k}\lambda'^*_{21k})$	3.5×10^{-3}	\tilde{d}_R^k	R_π
$\Re(\lambda_{2k2}\lambda'^*_{k11})$	2.0×10^{-5}	$\tilde{\ell}_L^k$	R_π
$ \lambda'_{11k}\lambda'^*_{21k} $	5.8×10^{-2}	\tilde{d}_R^k	$\pi^+ \rightarrow \bar{\mu}\nu_e$
$ \lambda_{1k2}\lambda'^*_{k11} $	1.7×10^{-3}	$\tilde{\ell}_L^k$	$\pi^+ \rightarrow \bar{\mu}\nu_e$
$\Re(\lambda'_{11k}\lambda'^*_{12k})$	5.5×10^{-3}	\tilde{d}_R^k	R_K
$\Re(\lambda_{1k1}\lambda'^*_{k12})$	1.2×10^{-6}	$\tilde{\ell}_L^k$	R_K
$\Re(\lambda'_{21k}\lambda'^*_{22k})$	7.4×10^{-3}	\tilde{d}_R^k	R_K
$\Re(\lambda_{2k2}\lambda'^*_{k12})$	1.9×10^{-4}	$\tilde{\ell}_L^k$	R_K
$ \lambda'_{11k}\lambda'^*_{22k} $	1.2×10^{-2}	\tilde{d}_R^k	$K^+ \rightarrow \bar{\mu}\nu_e$
$ \lambda_{1k2}\lambda'^*_{k12} $	4.0×10^{-4}	$\tilde{\ell}_L^k$	$K^+ \rightarrow \bar{\mu}\nu_e$
$ \lambda'_{11k}\lambda'^*_{12k} $	3.0×10^{-4}	\tilde{d}_R^k	$\frac{BR(K^+ \rightarrow \pi^+ e \bar{e})}{BR(K^+ \rightarrow \pi^0 e \bar{\nu}_e)}$
$ \lambda'_{11k}\lambda'^*_{22k} $	3.0×10^{-6}	\tilde{d}_R^k	$\frac{BR(K^+ \rightarrow \pi^+ e \bar{\mu})}{BR(K^+ \rightarrow \pi^0 \bar{\mu}\nu_\mu)}$
$ \lambda'_{21k}\lambda'^*_{12k} $	1.3×10^{-5}	\tilde{d}_R^k	$\frac{BR(K^+ \rightarrow \pi^+ \mu \bar{e})}{BR(K^+ \rightarrow \pi^0 \bar{\mu}\nu_\mu)}$
$ \lambda'_{i1k}\lambda'^*_{m2k} $	5.9×10^{-6}	\tilde{d}_R^k	$\frac{BR(K^+ \rightarrow \pi^+ \nu \bar{\nu})}{BR(K^+ \rightarrow \pi^0 e \bar{\nu}_e)}$
$ \lambda'_{21k}\lambda'^*_{22k} $	1.6×10^{-4}	\tilde{d}_R^k	$\frac{BR(K^+ \rightarrow \pi^+ \mu \bar{\mu})}{BR(K^+ \rightarrow \pi^0 \bar{\mu}\nu_\mu)}$
$ \lambda'_{k12}\lambda'^*_{ikj} $	3.8×10^{-3}	$\tilde{\ell}_L^k$	$\frac{f_S}{f_+(0)}$
$ \lambda'_{2k1}\lambda'^*_{1k1} $	3.7×10^{-5}	\tilde{u}_L^k	$K_L^0 \rightarrow e \bar{e}$

Table 7: Bounds on products of SUSY coupling constants. Bounds with a *) are also valid under the exchange of the lepton indices.

Product	Upper bound/ $(\frac{m_{SUSY}}{100GeV})^2$	Exchanged particle	Source of bound
$ \lambda'_{2k1}\lambda'^*_{1k2} $	1.9×10^{-7}	\tilde{u}_L^k	$K_L^0 \rightarrow \bar{\mu}e$ *)
$ \lambda'_{2k2}\lambda'^*_{1k2} $	5.4×10^{-6}	\tilde{u}_L^k	$K_L^0 \rightarrow \bar{\mu}\mu$
$ \lambda'_{k12}\lambda'^*_{k11} $	9.1×10^{-9}	$\tilde{\nu}_L^k$	$K_L^0 \rightarrow e\bar{e}$
$ \lambda'_{k12}\lambda'^*_{k12} $	6.9×10^{-9}	$\tilde{\nu}_L^k$	$K_L^0 \rightarrow \bar{\mu}e$ *)
$ \lambda'_{k12}\lambda'^*_{k22} $	2.8×10^{-7}	$\tilde{\nu}_L^k$	$K_L^0 \rightarrow \mu\bar{\mu}$
$ \lambda'_{1k2}\lambda'^*_{2k2} $	7.5×10^{-1}	\tilde{u}_L^k	$K^0 - \bar{K}^0$
$ \lambda'_{1k3}\lambda'^*_{2k3} $	4.4×10^{-2}	\tilde{u}_L^k	$K^0 - \bar{K}^0$
$ \lambda'_{i1k}\lambda'^*_{m2k} $	1.5×10^{-1}	\tilde{d}_R^k	V_{cd}
$ \lambda'_{i2k}\lambda'^*_{m2k} $	6.6×10^{-1}	\tilde{d}_R^k	V_{cs}
$\Re(\lambda'_{22k}\lambda'^*_{21k})$	2.0×10^{-1}	\tilde{d}_R^k	$D^+ \rightarrow \mu^+\nu_\mu$
$\Re(\lambda_{2k2}\lambda'^*_{k12})$	4.3×10^{-3}	$\tilde{\ell}_L^k$	$D^+ \rightarrow \mu^+\nu_\mu$
$\Re(\lambda'_{22k}\lambda'^*_{22k})$	1.9×10^{-1}	\tilde{d}_R^k	$\frac{BR(D_s^+ \rightarrow \mu\nu_\mu)}{BR(D_s^+ \rightarrow \tau\nu_\tau)}$
$\Re(\lambda_{2k2}\lambda'^*_{k22})$	3.9×10^{-3}	$\tilde{\ell}_L^k$	$\frac{BR(D_s^+ \rightarrow \mu\nu_\mu)}{BR(D_s^+ \rightarrow \tau\nu_\tau)}$
$\Re(\lambda'_{32k}\lambda'^*_{32k})$	4.0×10^{-2}	\tilde{d}_R^k	$\frac{BR(D_s^+ \rightarrow \mu\nu_\mu)}{BR(D_s^+ \rightarrow \tau\nu_\tau)}$
$\Re(\lambda_{3k3}\lambda'^*_{k22})$	6.6×10^{-2}	$\tilde{\ell}_L^k$	$\frac{BR(D_s^+ \rightarrow \mu\nu_\mu)}{BR(D_s^+ \rightarrow \tau\nu_\tau)}$
$ \lambda'_{12k}\lambda'^*_{11k} $	1.1×10^{-2}	\tilde{d}_R^k	$\frac{BR(D^+ \rightarrow \pi^+ e\bar{e})}{BR(D^0 \rightarrow \pi^- \nu_e \bar{e})}$
$ \lambda'_{22k}\lambda'^*_{11k} $	9.0×10^{-3}	\tilde{d}_R^k	$\frac{BR(D^+ \rightarrow \pi^+ \mu\bar{e})}{BR(D^0 \rightarrow \pi^- \nu_e \bar{e})}$ *)
$ \lambda'_{22k}\lambda'^*_{21k} $	6.0×10^{-3}	\tilde{d}_R^k	$\frac{BR(D^+ \rightarrow \pi^+ \mu\bar{\mu})}{BR(D^0 \rightarrow \pi^- \nu_e \bar{e})}$
$ \lambda'_{11k}\lambda'^*_{12k} $	3.2	\tilde{d}_R^k	$D^0 \rightarrow e\bar{e}$
$ \lambda'_{11k}\lambda'^*_{22k} $	2.4×10^{-2}	\tilde{d}_R^k	$D^0 \rightarrow \bar{\mu}e$ *)

Table 7: *Continued.*

Product	Upper bound/ $(\frac{m_{SUSY}}{100GeV})^2$	Exchanged particle	Source of bound
$ \lambda'_{21k}\lambda'^*_{22k} $	1.3×10^{-2}	\tilde{d}_R^k	$D^0 \rightarrow \bar{\mu}\mu$
$ \lambda_{1k1}\lambda'_{k21}{}^* $	4.6×10^{-4}	$\tilde{\ell}_L^k$	$D^0 \rightarrow e\bar{e}$
$ \lambda_{1k2}\lambda'_{k21}{}^* $	5.3×10^{-4}	$\tilde{\ell}_L^k$	$D^0 \rightarrow \bar{\mu}e$ *)
$ \lambda_{2k2}\lambda'_{k21}{}^* $	3.8×10^{-4}	$\tilde{\ell}_L^k$	$D^0 \rightarrow \mu\bar{\mu}$
$ \lambda'_{22k}\lambda'^*_{21k} $	2.2	\tilde{d}_R^k	$D^0 - \bar{D}^0$
$ \lambda'_{32k}\lambda'^*_{31k} $	1.3×10^{-1}	\tilde{d}_R^k	$D^0 - \bar{D}^0$
$ \lambda'_{i3k}\lambda'^*_{m1k} $	2.4×10^{-3}	\tilde{d}_R^k	V_{ub}
$ \lambda'_{i3k}\lambda'^*_{m2k} $	1.4×10^{-2}	\tilde{d}_R^k	V_{cb}
$ \lambda'_{13k}\lambda'^*_{11k} $	3.0	\tilde{d}_R^k	$B^+ \rightarrow e^+\nu_e$
$ \lambda'_{k13}\lambda'^*_{1k1} $	1.2×10^{-4}	$\tilde{\ell}_L^k$	$B^+ \rightarrow e^+\nu_e$
$ \lambda'_{23k}\lambda'^*_{21k} $	1.7×10^{-2}	\tilde{d}_R^k	$B^+ \rightarrow \mu^+\nu_\mu$
$ \lambda'_{k13}\lambda'^*_{2k2} $	1.4×10^{-4}	$\tilde{\ell}_L^k$	$B^+ \rightarrow \mu^+\nu_\mu$
$ \lambda'_{33k}\lambda'^*_{31k} $	5.8×10^{-3}	\tilde{d}_R^k	$B^+ \rightarrow \tau^+\nu_\tau$
$ \lambda'_{k13}\lambda'^*_{3k3} $	8.4×10^{-4}	$\tilde{\ell}_L^k$	$B^+ \rightarrow \tau^+\nu_\tau$

Table 7: *Continued.* Bounds obtained from semileptonic B -decays and decays of the neutral B -meson are not listed here. They can easily be obtained directly from the bounds on LQ coupling constants. LL -couplings have to be multiplied by a factor two, for LR -couplings $SUSY$ and LQ bounds are the same. Here I refer once more to the Tables 4 and 5: Some of the possible combinations are forbidden, because the corresponding 4-fermion vertices do not exist.

Literaturverzeichnis

- [1] S. Davidson, D. C. Bailey und B. A. Campbell, Z. Phys. C **61**, 613 (1994), hep-ph/9309310.
- [2] S. R. Coleman und J. Mandula, Phys. Rev. **159**, 1251 (1967).
- [3] R. Haag, J. T. Lopuszanski und M. Sohnius, Nucl. Phys. B **88** (1975) 257.
- [4] K. Hagiwara *et al.* [Particle Data Group Collaboration], Phys. Rev. D **66** (2002) 010001. <http://pdg.lbl.gov/>
- [5] W. Buchmüller, R. Rückl und D. Wyler, Phys. Lett. B **191** (1987) 442 [Erratum-ibid. B **448** (1999) 320].
- [6] J. Blümlein und R. Rückl, Phys. Lett. B **304** (1993) 337.
- [7] F. Cuypers, Int. J. Mod. Phys. A **11** (1996) 1627, hep-ph/9510443.
- [8] A. Blumhofer und B. Lampe, Eur. Phys. J. C **7** (1999) 141, hep-ph/9706454.
- [9] P. Richardson, hep-ph/0101105.
- [10] M. Heyssler, R. Rückl und H. Spiesberger, hep-ph/9908319.
- [11] C. S. Kim, J. Lee und W. Namgung, Phys. Rev. D **59** (1999) 114006, hep-ph/9811396.
- [12] C. S. Kim, J. Lee und W. Namgung, Phys. Lett. B **480** (2000) 155, hep-ph/9911281.
- [13] C. K. Chua, X. G. He und W. Y. Hwang, Phys. Lett. B **479** (2000) 224, hep-ph/9905340.
- [14] J. L. Hewett und T. G. Rizzo, Phys. Rev. D **58** (1998) 055005, hep-ph/9708419.
- [15] M. Leurer, Phys. Rev. Lett. **71** (1993) 1324, hep-ph/9304211.
- [16] J. L. Hewett und T. G. Rizzo, Phys. Rev. D **56** (1997) 5709, hep-ph/9703337.
- [17] A. F. Zarnecki, hep-ph/0006196.
- [18] V. D. Barger, G. F. Giudice und T. Han, Phys. Rev. D **40** (1989) 2987.

- [19] H. Steiner et al. , Phys. Lett. B **36** (1971) 521.
- [20] T. P. Cheng und L. F. Li, “Gauge Theory Of Elementary Particle Physics,” *Oxford, Uk: Clarendon (1989) (Oxford Science Publications)*, Kapitel 12.
- [21] SNO Collaboration, Sudbury Kanada,
<http://www.sno.phy.queensu.ca/sno/publications.html>
<http://www.sno.phy.queensu.ca/sno/experiments.html>
- [22] J. R. Ellis, J. S. Hagelin, D. V. Nanopoulos, K. A. Olive und M. Srednicki, Nucl. Phys. B **238** (1984) 453.
- [23] S. P. Martin, hep-ph/9709356.
- [24] M. Hirsch, H. V. Klapdor-Kleingrothaus und S. G. Kovalenko, Phys. Lett. B **378** (1996) 17, hep-ph/9602305.
- [25] H. K. Dreiner, hep-ph/9707435.
- [26] K. M. Cheung, Phys. Rev. D **64** (2001) 033001, hep-ph/0102238.
- [27] P. Mehta, S. Dutta und A. Goyal, Phys. Lett. B **535** (2002) 219, hep-ph/0107214.
- [28] G. Bhattacharyya, J. R. Ellis und K. Sridhar, Phys. Lett. B **336** (1994) 100 [*Erratum-ibid.* B **338** (1994) 522], hep-ph/9406354.
- [29] A. A. Gvozdev, A. V. Kuznetsov, N. V. Mikheev und L. A. Vasilevskaya, Phys. Lett. B **345** (1995) 490, hep-ph/9411278.
- [30] S. Weinberg, Phys. Rev. D **26** (1982) 287 ; N. Sakai und T. Yanagida, Nucl. Phys. B **197** (1982) 533.
- [31] M. Leurer, Phys. Rev. D **49** (1994) 333, hep-ph/9309266 und Phys. Rev. D **50** (1994) 536, hep-ph/9312341; A. Deandrea, Phys. Lett. B **409** (1997) 277, hep-ph/9705435; L. Giusti und A. Strumia, Phys. Lett. B **410** (1997) 229, hep-ph/9706298.
- [32] D. Bailin und A. Love, “Supersymmetric Gauge Field Theory And String Theory,” *Bristol, UK: IOP (1994) 322 p. (Graduate student series in physics)*.
- [33] L. Girardello und M. T. Grisaru, Nucl. Phys. B **194** (1982) 65.
- [34] J. L. Goity und M. Sher, Phys. Lett. B **346** (1995) 69 [Erratum-ibid. B **385** (1996) 500], hep-ph/9412208.
- [35] T. G. Rizzo, Int. J. Mod. Phys. A **13** (1998) 2351, hep-ph/9710350.
- [36] D. Boscherini [H1 Collaboration], hep-ex/0205101; M. Schneider, hep-ex/0201042.

- [37] A. Schoning, Nucl. Phys. Proc. Suppl. **109** (2002) 266, hep-ex/0201011.
- [38] V. M. Abazov *et al.* [D0 Collaboration], Phys. Rev. Lett. **88** (2002) 191801, hep-ex/0111047.
- [39] C. Itzykson and J. B. Zuber, “Quantum Field Theory,” *New York, USA: Mcgraw-hill (1980) 705 P. (International Series In Pure and Applied Physics)*.
- [40] LEPEWWG/2002-01, A Combination of Preliminary Electroweak Measurements and Constraints on the Standard Model; <http://www.cern.ch/LEPEWWG>.
- [41] J. Butterworth und H. K. Dreiner, Nucl. Phys. B **397** (1993) 3, hep-ph/9211204.
- [42] J. C. Pati und A. Salam, Phys. Rev. D **8** (1973) 1240 , Phys. Rev. Lett. **31** (1973) 661 , Phys. Rev. D **10** (1974) 275.
- [43] F. Halzen und A. D. Martin, “Quarks And Leptons: An Introductory Course In Modern Particle Physics,” *New York, USA: Wiley (1984) 396p*.
- [44] H. K. Dreiner, G. Polesello und M. Thormeier, Phys. Rev. D **65** (2002) 115006, hep-ph/0112228; H. Dreiner, G. Polesello und M. Thormeier, hep-ph/0207160.
- [45] B. Allanach *et al.*, hep-ph/9906224.
- [46] H. K. Dreiner, P. Richardson und M. H. Seymour, hep-ph/9903419.
- [47] H. K. Dreiner, P. Richardson und M. H. Seymour, Phys. Rev. D **63** (2001) 055008, hep-ph/0007228.
- [48] H. K. Dreiner, H. U. Martyn, S. Ritz und D. Wyler, hep-ph/9610232.
- [49] E. Perez, Y. Sirois und H. K. Dreiner, hep-ph/9703444.
- [50] C. Schwanenberger [ZEUS Collaboration], hep-ex/0203041.
- [51] M. Fierz, Z. Phys. **88**, 161 (1934).
- [52] M. Finkemeier, Phys. Lett. B **387** (1996) 391, hep-ph/9505434.
- [53] B. Allanach, A. Dedes, H. K. Dreiner, Phys. Rev. D **60** 056002 (1999); hep-ph/9906209.
- [54] D. Bailin, “Weak Interactions,” *Bristol, Uk: Hilger (1982) 457 P. (Graduate Student Series In Physics)*.
- [55] V. V. Kiselev, A. K. Likhoded und V. F. Obraztsov, hep-ph/0204066.
- [56] P. F. Harrison und H. R. Quinn [BABAR Collaboration], SLAC-R-0504 *Papers from Workshop on Physics at an Asymmetric B Factory (BaBar Collaboration Meeting), Rome, Italy, 11-14 Nov 19*.

- [57] T. E. Browder *et al.* [CLEO Collaboration], Phys. Rev. Lett. **86** (2001) 2950, hep-ex/0007057.
- [58] A. J. Buras, hep-ph/9806471.
- [59] M. Neubert, Int. J. Mod. Phys. A **17** (2002) 2936, hep-ph/0110301.
- [60] L. Koyrakh, \rightarrow tau anti-neutrino X,” Phys. Rev. D **49** (1994) 3379, hep-ph/9311215.
- [61] C. W. Bernard, Nucl. Phys. Proc. Suppl. **94** (2001) 159, hep-lat/0011064.
- [62] M. E. Peskin und D. V. Schroeder, “An Introduction To Quantum Field Theory”, Reading, USA: Addison-Wesley (1995) 842 p.
- [63] N. Isgur and M. B. Wise, Phys. Rev. D **42** (1990) 2388.
- [64] J. H. Jang, J. K. Kim und J. S. Lee, Phys. Rev. D **55** (1997) 7296, hep-ph/9701283.
- [65] A. Dedes, H. K. Dreiner und U. Nierste, Phys. Rev. Lett. **87** (2001) 251804, hep-ph/0108037.
- [66] C. Bobeth, A. J. Buras, F. Kruger und J. Urban, \rightarrow mu+ mu- in the MSSM,” Nucl. Phys. B **630** (2002) 87, hep-ph/0112305.
- [67] A. J. Buras, P. H. Chankowski, J. Rosiek und L. Slawianowska, hep-ph/0210145; A. J. Buras, P. H. Chankowski, J. Rosiek und L. Slawianowska, Phys. Lett. B **546** (2002) 96, hep-ph/0207241.
- [68] M. Sher, hep-ph/0207136.
- [69] D. Black, T. Han, H.-J. He, M. Sher, as a Probe of the Scale of New hep-ph/0206056.